

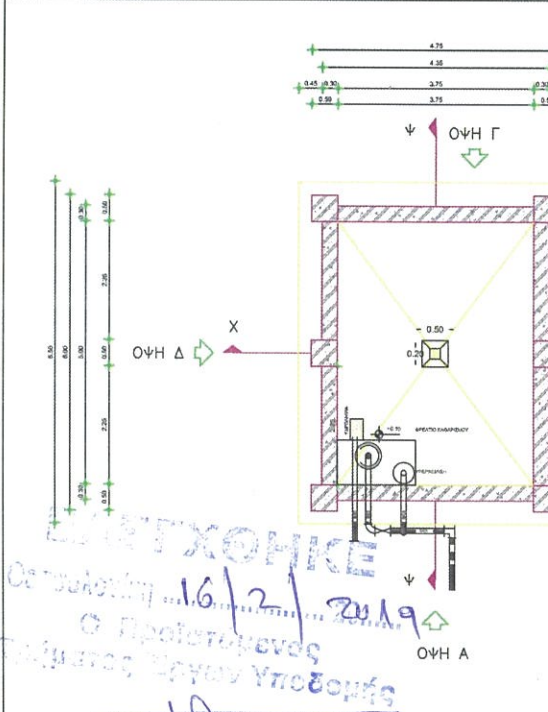
ΕΡΓΟΔΟΤΗΣ:

ΙΕΡΑ ΜΟΝΗ ΕΣΦΙΓΜΕΝΟΥ
ΑΓΙΟΝ ΟΡΟΣ

ΕΡΓΟ: ΑΞΙΟΠΟΙΗΣΗ ΥΔΑΤΙΝΩΝ ΠΟΡΩΝ ΜΕ ΒΕΛΤΙΩΣΗ ΚΑΙ ΕΠΕΚΤΑΣΗ ΥΠΟΔΟΜΩΝ ΥΔΡΕΥΣΗΣ ΚΑΙ ΑΝΤΙΠΥΡΙΚΗΣ ΠΡΟΣΤΑΣΙΑΣ ΠΕΡΙΟΧΗΣ ΑΓ. ΤΡΥΦΩΝΟΣ Ι.Μ.ΕΣΦΙΓΜΕΝΟΥ

ΘΕΣΗ:

ΑΓΙΟΣ ΤΡΥΦΩΝΟΣ
ΔΑΣΟΚΤΗΜΑΤΟΣ ΙΕΡΑ ΜΟΝΗΣ ΕΣΦΙΓΜΕΝΟΥ

 <p>ΣΥΝΤΑΞΗΚΟΝΙΚΗ Οικοδομή 1.6/2 Συλλογής Εργαστηρίου Υπόσχεσης Πολ. Μηχανικών Υπόσχεσης</p>	<p style="text-align: center;">ΤΕΥΧΟΣ ΣΤΑΤΙΚΩΝ ΔΕΞΑΜΕΝΗΣ 50m³</p> <p>ΕΜΒΑΔΟΜΕΤΡΗΣΗ Εμβαδόν στάζαινης = $3,75 \times 5,00 = 18,75m^2$ Όγκος δεξαμενής = $3,75 \times 5,00 \times 2,50 = 46,90m^3$</p> <p>Η ΣΤΑΤΙΚΗ ΜΕΛΕΤΗ από απόψεως γενικής πρότασης και χωρίς έλεγχο των πράξεων. Υπεύθυνοι για τη συγχρόφωση προς τις ισχύουσες διατάξεις και την ασφάλεια του φορέα γενικώς, τυχάνουν οι συντάξαντες την μελέτη.</p> <p>Θεσ/νίκη, 1/2/19 Ο ελέγχας μηχ/κός</p>	<p>ΗΜΕΡΟΜΗΝΙΑ</p> <p>ΥΠΟΓΡΑΦΗ</p> <p>ΣΥΝΤΑΞΗΚΟΝΙΚΗ: ΝΙΚΟΣ ΓΡΗΓ. ΕΞΑΡΧΟΣ ΔΙΠΛ. ΠΟΛΙΤΙΚΟΣ ΜΗΧΑΝΙΚΟΣ Α.Π.Θ. ΑΡΙΘ. ΜΗΤΡΟΥ Τ.Ε.Ε. 77822 ΑΥΞΕΝΤΙΟΥ 15 - ΠΟΛΙΧΝΗ Τ.Κ. 565 33 ΘΕΣ/ΝΙΚΗ ΤΗΛ. 2310 652.614 - KIN. 6977.093.047 Α.Φ.Μ. 075923874 - Δ.Ο.Υ. Ε' ΘΕΣ/ΝΙΚΗΣ</p> <p>ΘΕΩΡΗΘΗΚΕ:</p> <p>ΗΜΕΡΟΜΗΝΙΑ</p> <p>ΥΠΟΓΡΑΦΗ</p> <p>ΣΥΝΤΑΞΗΚΟΝΙΚΗ: Οικοδομή 20..... Ο ΔΙΕΥΘΥΝΤΗΣ ΤΗΣ ΤΕΧΝΙΚΗΣ ΥΠΗΡΕΣΙΑΣ</p> <p>Αυτόριος Σταθέντης Αρχιτέκτων - Αναστάσης Λαζαρίδη</p>
--	--	--

ΕΡΓΟ : ΑΞΙΟΠΟΙΗΣΗ ΥΔΑΤΙΝΩΝ ΠΟΡΩΝ ΜΕ ΒΕΛΤΙΩΣΗ ΚΑΙ ΕΠΕΚΤΑΣΗ ΥΠΟΔΟΜΩΝ ΥΔΡΕΥΣΗ
ΚΑΙ ΑΝΤΙΠΥΡΙΚΗΣ ΠΡΟΣΤΑΣΙΑΣ ΠΕΡΙΟΧΗ ΑΓ. ΤΡΙΦΩΝΟΣ Ι.Μ.ΕΣΦΙΓΜΕΝΟΥ

ΘΕΣΗ : ΑΓΙΟΣ ΤΡΥΦΩΝΑΣ

ΤΕΥΧΟΣ ΣΤΑΤΙΚΗΣ ΜΕΛΕΤΗΣ

ΜΕΛΕΤΗΤΗΣ : ΑΠΟΣΤΟΛΟΣ ΤΟΥΠΛΙΚΙΩΤΗΣ Ε.Ε.

ΕΡΓΟΔΟΤΗΣ : ΙΕΡΑ ΜΟΝΗ ΕΣΦΙΓΜΕΝΟΥ



ΕΡΓΟ
ΘΕΣΗ
ΟΔΟΣ

ΣΤΑΤΙΚΟΣ ΥΠΟΛΟΓΙΣΜΟΣ

ΥΠΕΥΘΥΝΗ ΔΗΛΩΣΗ
ΚΑΙ ΜΕΛΕΤΗ ΤΟΥ ΕΠΙΒΛΕΠΟΝΤΟΣ ΜΗΧΑΝΙΚΟΥ
ΤΩΝ ΣΤΑΤΙΚΩΝ ΕΡΓΩΝ

Ο υπογεγραμμένος
κεκτημένος βάσει του Νόμου του δικαιώματος αυτής του
επαγγέλματος κάτοικος
οδός αριθ. τηλ.
Αριθ. αστυν. ταυτότητας και χρονολογία εκδόσεως.....
Εκδοθείσα υπό του Αστυν. Τμηματος.....
αυξ. αριθμ. Μητρωου του Π.Γ.....

ΘΕΩΡΗΘΗΚΕ
Θεσσαλονίκη 16-7-2019
Ο ΔΙΕΥΘΥΝΤΗΣ ΤΗΣ
ΤΕΧΝΙΚΗΣ ΥΠΗΡΕΣΙΑΣ



ΑΣΤΕΙΟΣ ΣΤΕΦΑΝΟΥ
Αρχιεκπίτην Καναστηλωτής
Με Α' β.

ΔΗΛΩΝΩ ΥΠΕΥΘΥΝΑ

Α) Για την περίπτωση φέροντος οργανισμού από οπλισμένο σκυρόδεμα:

1) Ότι κατά την σύνταξη της μελέτης, συμμορφώθηκα πλήρως προς
τους ταχύνοντες κανονισμούς οπλισμένου σκυροδέματος και τον
Αντισεισιμικό Κανονισμό οικοδομικών έργων.

2) Ότι αναλαμβάνω την πλήρη ευθύνη για την ακρίβεια των
των πράξεων. Υπεικατά την εκτέλεση θα προβώ στην έγκαιρη και επιμελημένη
τις ισχύουσες διατάξεις σύνταξη των σχεδίων λεπτομερειών.

3) Ότι θα συμμορφωθώ πλήρως κατά την κατασκευή προς τις
διατάξεις του κανονισμού οπλισμένου σκυροδέματος.

Θεσ/ίκη,.5). Οι καταναλωτές θα παρακολουθώ και θα ελέγχω την ορθή και
ο ελαγγόνια τοποθέτηση των οπλισμών, την στατική επάρκεια των
ξυλοτύπων, τη σύμφωνη προς τη μελέτη από κάθε άποψη
επιμελημένη εκτέλεση του σκυροδέματος, υπέχων πλήρη και
ακέραια την ευθύνη επί πάντων των ζητημάτων τούτων.

Β) Για την περίπτωση φέροντος οργανισμού από υλικά διαφόρων του
οπλισμένου σκυροδέματος:

1) Ότι συμμορφώθηκα πλήρως προς τον ισχύοντα αντισεισιμικό
κανονισμό οι κοδομικών εργών.

2) Ότι αναλαμβάνω την πλήρη ευθύνη για την ακρίβεια των
υπολογισμών.

3) Ότι κατά την εκτέλεση θα προβώ στην έγκαιρη και επιμελημένη
την σύνταξη των σχεδίων λεπτομερειών.

..... την

Μαζεμένης Γεώργιος ΔΗΛΩΝ
Πολ. Μηχανικός με Α' β.

ΑΠΟΣΤΟΛΟΣ ΤΟΠΙΑΚΙΟΤΗΣ Ε.Ε.

ΚΕΑΤΕΣ ΕΩΑΡΧΕΣ ΤΕΧΝΙΚΩΝ ΕΡΓΩΝ

Β. ΤΑΒΑΚΗ 1 - ΘΕΡΜΗ - ΘΕΣΣΑΛΟΝΙΚΗ

ΤΗΛ: 2310 730.440 - FAX: 2310 460.482

ΑΓΓΕΛΙΑ ΛΑΙΔΑ - ΑΓΓΕΛΙΑ ΘΕΣ/ΝΙΚΗΣ

ΠΙΚΟΣ ΓΡΗΓ. ΕΞΑΡΧΟΣ
ΔΙΠΛ. ΠΟΛΙΤΙΚΟΣ ΜΗΧΑΝΙΚΟΣ Α.Π.Θ.
ΑΡΙΘ. ΜΗΤΡΟΥ Τ.Ε.Ε. 77822
ΑΥΞΕΝΤΙΟΥ 15 - ΠΟΛΙΧΝΗ Τ.Κ. 565 33 ΘΕΣ/ΝΙΚΗ
ΤΗΛ. 2310.652.614 - KIN. 6977.093.04
Α.Φ.Μ. 073923874 - Δ.Ο.Υ. Ε' ΘΕΣ/ΝΙΚΗ

ΒΑΣΙΛΕΙΟΣ ΠΡΑΣΑΤΖΗΣ

ΠΟΛΙΤΙΚΟΣ ΜΗΧΑΝΙΚΟΣ

ΑΡΙΘΜΟΣ ΜΗΤΡΟΥ Τ.Ε.Ε 16927

Β. ΤΑΒΑΚΗ 1 - ΘΕΡΜΗ

ΤΗΛ - ΦΑΞ: 2310 989.440 / 460.482

email: info@daktilios.com

ΕΡΓΟ: ΑΞΙΟΠΟΙΗΣΗ ΥΔΑΤΙΝΩΝ ΠΟΡΩΝ ΜΕ ΒΕΛΤΙΩΣΗ ΚΑΙ ΕΠΕΚΤΑΣΗ ΠΟΔΟΜΩΝ
ΥΔΡΕΥΣΗ ΚΑΙ ΑΝΤΙΠΥΡΙΚΗΣ ΠΡΟΣΤΑΣΙΑΣ ΠΕΡΙΟΧΗ ΑΓ. ΤΡΙΦΩΝΟΣ
Ι.Μ.ΕΣΦΙΓΜΕΝΟΥ

ΕΡΓΟΔΟΤΗΣ: ΙΕΡΑ ΜΟΝΗ ΕΣΦΙΓΜΕΝΟΥ
ΘΕΣΗ: ΑΓΙΟΣ ΤΡΥΦΩΝΑΣ
ΜΕΛΕΤΗΤΗΣ: ΑΠΟΣΤΟΛΟΣ ΤΟΥΠΛΙΩΤΗΣ Ε.Ε.
ΧΡΗΣΗ: ΔΕΞΑΜΕΝΗ
ΠΡΟΒΛΕΨΗ ΜΕΛΛ. ΟΡΟΦΩΝ: 0
ΕΙΔΟΣ ΚΑΤΑΣΚΕΥΗΣ: ΚΟΙΝΗ ΜΕ Φ. Ο. ΑΠΟ ΟΠΛΙΣΜΕΝΟ ΣΚΥΡΟΔΕΜΑ

**ΤΕΧΝΙΚΗ ΕΚΘΕΣΗ ΣΤΑΤΙΚΟΥ ΚΑΙ ΑΝΤΙΣΕΙΣΜΙΚΟΥ ΥΠΟΛΟΓΙΣΜΟΥ
ΜΕ ΤΟ ΠΡΟΓΡΑΜΜΑ S T A T I C S 2017
ΣΥΜΦΩΝΑ ΜΕ ΤΟΝ ΕΛΛΗΝΙΚΟ ΑΝΤΙΣΕΙΣΜΙΚΟ ΚΑΝΟΝΙΣΜΟ (ΕΑΚ 2003)
ΚΑΙ ΤΟΝ ΕΛΛΗΝΙΚΟ ΚΑΝΟΝΙΣΜΟ ΟΠΛΙΣΜΕΝΟΥ ΣΚΥΡΟΔΕΜΑΤΟΣ (ΕΚΩΣ 2000)**

ΠΑΡΑΔΟΧΕΣ

I. ΥΛΙΚΑ

Σκυρόδεμα	C30/37
Χάλυβας	B500C
Χάλυβας συνδετήρων	B500C
Μέτρο Ελαστικότητας Σκυροδέματος	32.0 GPa
Μέτρο Ελαστικότητας Χάλυβα	200.0 GPa

II. ΚΑΤΑΚΟΡΥΦΑ ΦΟΡΤΙΑ

α. Μόνιμα

Ειδικό βάρος Ο. Σ.	25.00 KNt/m ³
Επικάλυψη δαπέδων	3.00 KNt/m ²
Επικάλυψη δώματος	1.20 KNt/m ²
Οπτοπλινθοδομές Μπατικές	3.60 KNt/m ²
Οπτοπλινθοδομές Δρομικές	2.10 KNt/m ²
<u>β. Κινητά</u>	
Κατοικιών	5.00 KNt/m ²
Καταστημάτων	5.00 KNt/m ²
Εξωστών	5.00 KNt/m ²
Δώματος	2.00 KNt/m ²
Κλιμακοστασίων	3.50 KNt/m ²

III. ΣΕΙΣΜΟΣ

Ζώνη Σεισμικής Επικινδυνότητας	III
Σεισμική επιτάχυνση εδάφους: $A=a*g$	0.24*g
Συντελεστής Σπουδαιότητας Κατασκευής γΙ	1.00
Συντελεστής Σεισμικής Συμπεριφοράς q	3.50

Συντελεστες κινητών φορτίων $\psi_1 = 0.60$ $\psi_2 = 0.30$

Κατηγορία εδάφους	B
Τιμές Χαρακτηριστικών Περιόδων ... $T_1=0.15$, $T_2=0.60$	
Συντελεστής Θεμελίωσης θ	1.00

Ιδιοπερίοδοι κατασκευής

$T_x = 0.40 \text{ sec}$

$T_y = 0.40 \text{ sec}$

Τεταγμένες φάσματος σχεδιασμού $Rdx(T_x) = 1.68$

$Rdy(T_y) = 1.68$

IV. ΕΔΑΦΟΣ

Τύπος εδάφους κοκκώδες συνεκτικό	$\varphi=30^\circ$, $c=70 \text{ kN/m}^2$
Επιτρ. τάση εδάφους	200 KNt/m ²
Μέτρο Ελαστικότητας Εδάφους	100000 KNt/m ²

V. ΣΥΝΘΗΚΕΣ ΠΕΡΙΒΑΛΛΟΝΤΟΣ

Κατηγορία συνθηκών περιβάλλοντος....	2
Επικαλύψεις οπλισμών σκυροδέματος:	
Πλάκες 25 mm, δοκοί 55 mm, υποστ. 55 mm, θεμέλια 70 mm	

Ο ΜΗΧΑΝΙΚΟΣ

1. ΠΕΡΙΓΡΑΦΗ ΦΟΡΕΑ

Το δόμημα αποτελεί κοινή κατασκευή, της οποίας ο Βασικός Φέρων Οργανισμός έργου κατασκευάζεται από οπλισμένο σκυρόδεμα ενώ ο Οργανισμός Πλήρωσης από οπτοπλινθοδομές.

Ο Βασικός Φέρων Οργανισμός αποτελείται από οριζόντιες επάλληλες πλάκες,

μονολιθικά συνδεδεμένες με διασταυρούμενες δοκούς και υποστυλώματα ή τοιχώματα, με μονωμένα πέδιλα και συνδετήριες δοκούς.

Ο οργανισμός πλήρωσης θεωρείται ότι μεταφέρει μόνο τα κατακόρυφα φορτία

που του αντιστοιχούν στον Βασικό Φέροντα Οργανισμό.

2. ΜΕΘΟΔΟΛΟΓΙΑ ΑΝΑΛΥΣΗΣ

Η ανάλυση που πραγματοποιείται βασίζεται στις παρακάτω παραδοχές:

1. Ο φορέας αποτελείται από μέλη γραμμικής παραμόρφωσης.
2. Το υλικό κατασκευής είναι συνεχές, ομογενές, ισότροπο και γραμμικό. Ακολουθεί το νόμο του Hooke.
3. Τα αποτελέσματα της ανάλυσης ισχύουν μόνο για μικρές μετακινήσεις ώστε να είναι δόκιμη η αγνόηση φαινομένων 2ας τάξεως.
4. Οι συντελεστές ακαμψίας υπολογίζονται στον απαραμόρφωτο φορέα ενώ οι εξισώσεις ισορροπίας εφαρμόζονται για την παραμορφωμένη θέση του φορέα.

Ο φορέας επιλύνεται ως πλαίσιο στο χώρο με 6 βαθμούς ελευθερίας ανά ελεύθερο κόμβο (Μέθ. Χωρικού Πλαισίου), η ανάλυση του οποίου γίνεται

με τη Μέθοδο Των Μετακινήσεων.

Το πρόγραμμα "κατασκευάζει" το γενικό μητρώο ακαμψίας του φορέα και το συνολικό μητρώο φορτίων της κατασκευής.

Δημιουργείται γραμμικό σύστημα εξισώσεων (εξισώσεις ισορροπίας) από την επίλυση του οποίου προκύπτουν οι μεταθέσεις και στροφές των ελευθέρων κόμβων. Εξαίρεση αποτελούν οι αντίστοιχοι κόμβοι της θεμελίωσης για τους οποίους ανατρέπονται οι αντίστοιχοι βαθμοί ελευθερίας.

Από τις μετακινήσεις των κόμβων υπολογίζονται τα εντατικά μεγέθη (3 δυνάμεις και 3 ροπές) στα άκρα κάθε Μέλους.

Η αντίστροφή του μητρώου ακαμψίας γίνεται με την αριθμητική μέθοδο Cholleski-Skyline.

ΕΞΙΔΑΝΙΚΕΥΣΗ ΓΕΩΜΕΤΡΙΑΣ ΚΑΙ ΑΚΑΜΨΙΑΣ ΤΩΝ ΜΕΛΩΝ ΤΟΥ ΦΟΡΕΑ

Το μαθηματικό πρόσομοίωμα του φορέα δημιουργείται αυτόματα και στα μέλη αυτού αποδίδονται οι γεωμετρικές ιδιότητες που υπολογίζονται με τους γνωστούς τύπους της γεωμετρίας ενώ για τις ιδιότητες ακαμψίας χρησιμοποιούνται οι γνωστοί τύποι της αντοχής των υλικών.

Κατά τις απαιτήσεις του ΕΑΚ 2000 οι δυσκαμψίες των στοιχείων υπολογίζονται

σε στάδιο II:

α) υποστυλώματα: καμπ.δυσκαμψία σταδίου II = καμπ.δυσκαμψία σταδίου I

β) τοιχώματα: καμπ.δυσκαμψία σταδίου II = 2/3 καμπ.δυσκαμψία σταδίου I

γ) οριζ.στοιχεία: καμπ.δυσκαμψία σταδίου II = 1/2 καμπ.δυσκαμψία σταδίου I

στρεπ.δυσκαμψία σταδίου II = 1/10 καμπ.δυσκαμψία σταδίου I

ΕΞΙΔΑΝΙΚΕΥΣΗ ΦΟΡΤΙΣΕΩΝ

Τα κατακόρυφα φορτία εφαρμόζονται στο φορέα κατά τις παραδοχές του DIN 1045.

Στην περίπτωση που χρησιμοποιείται η ισοδύναμη στατική μέθοδος η καθ' ύψος κατανομή της σειμικής δράσης θεωρείται τριγωνική με

βάση τον τύπο 3.15 του ΕΑΚ 2000, και με εκκεντρότητες σχεδιασμού σύμφωνα

με την παράγραφο 3.3.3 και το παράρτημα Στ'.

Στην περίπτωση εφαρμογής της δυναμικής φασματικής μεθόδου, το πλήθος των

ιδιομορφών που εξετάζεται καθορίζεται σύμφωνα με την παράγραφο 3.4.2

του ΕΑΚ 2000, ενώ οι εκκεντρότητες σχεδιασμού σύμφωνα με την 3.3.2.

Το σύστημα των διαφορικών εξισώσεων 2ας τάξεως που προκύπτει επιλύεται κάνοντας χρήση της μεθόδου υπέρθεσης των ιδιομορφών.

Η επαλληλία των Ιδιομορφικών αποκρίσεων στο κάθε υπολογιζόμενο μέγεθος γίνεται πάντα με την ακριβή μέθοδο της πλήρους τετραγωνικής επαλληλίας (CQC).

Η μέγιστη τιμή τυχόντος μεγέθους αποκρίσεως X για ταυτόχρονη δράση των 2 οριζόντιων συνιστώσων του σεισμού βρίσκεται με βάση τη μεθοδολογία

του Newmark για τους επόμενους συνδυασμούς:

$$X = \pm 1.0*X_x \pm 0.3*X_y$$

$$X = \pm 0.3*X_x \pm 1.0*X_y$$

Η προσομοίωση των μαζών της κατασκευής γίνεται κατά τις προδιαγραφές της παραγράφου 3.2.2 του EAK 2000.

ΠΛΑΚΕΣ

Τα εντατικά μεγέθη των πλακών υπολογίζονται με τη μέθοδο Czerny.

Οι αντιδράσεις ομοιόμορφα φορτισμένων πλακών υπολογίζονται κατά DIN 1045, με γεωμετρικό μερισμό των επιφανειών φόρτισης προκειμένου να κατανεμηθούν ως φορτία σχεδιασμού στις περιμετρικές δοκούς.

Οι μέγιστες και ελάχιστες ροπές ανοίγματος υπολογίζονται κατά τις προδιαγραφές της παρ. 18.1.4 του Ελληνικού Κανονισμού Ωπλισμένου Σκυροδέματος (ΕΚΩΣ 2000).

ΘΕΜΕΛΙΩΣΕΙΣ

Οι δράσεις σχεδιασμού υπολογίζονται με βάση το συνδυασμό της σχέσης (5.1) της παραγρ. 5.2.2 EAK 2000

$$S_{fd} = S_v \pm a_{cd} * S_e$$

όπου S_v : εντατικό μέγεθος από τις μη σεισμικές δράσεις του σεισμικού συνδυασμού

S_e : εντατικό μέγεθος από τη σεισμική δράση που αντιστοιχεί στη σεισμική δράση που χρησιμοποιήθηκε για τον προσδιορισμό του ικανοτικού συντελεστή a_{cd} .

Η ικανοτική ένταση για την οποία διαστασιολογούνται τα θεμέλια, πρέπει να παραλαμβάνεται από το έδαφος χωρίς υπέρβαση της φέρουσας ικανότητας του εδάφους.

Η ροπή που μεταφέρεται στο έδαφος (θεωρούμενο ως ακλόνητη στήριξη) λόγω κατασκευαστικής εκκεντρότητας και σεισμικής ροπής, προκαλεί στροφή στο θεμέλιο και κατανέμεται στα στοιχεία ακαμψίας (Υποστυλώματα, Συνδ. Δοκούς και 'Έδαφος) με βάση το Δείκτη Αντιστάσεως του καθενός. Επιρρόσθετα γίνεται έλεγχος στη βάση του υποστυλώματος για τη ροπή που προέρχεται από τη στροφή του πεδίου.

Η επίλυση των Πεδιλοδοκών γίνεται χρησιμοποιώντας για την εξιδανίκευση του εδάφους το μοντέλο Winkler.

3. ΔΙΑΣΤΑΣΙΟΛΟΓΗΣΗ

Η διαστασιολόγηση γίνεται με τη μέθοδο της συνολικής αντοχής.

Προκειμένου να εξασφαλιστεί η φέρουσα ικανότητα και η λειτουργικότητα του φορέα, εκτελούνται στις κρίσιμες διατομές των μελών δόλοι οι απαιτούμενοι έλεγχοι σύμφωνα με τον αναθεωρημένο Κανονισμό Οπλισμένου

Σκυροδέματος έναντι:

α) οριακών καταστάσεων αντοχής ορθών εντατικών μεγεθών : ροπή κάμψης

και

αξονική δύναμη πλακών, πεδίων δοκών και υποστυλωμάτων.

β) διατμητικών καταπονήσεων: τέμνουσα και στρέψη δοκών, υποστυλωμάτων, πεδιλοδοκών

γ) διάτρησης πεδίων

δ) λυγισμού κατακορύφων στοιχείων

ε) οριακών καταστάσεων λειτουργικότητας ρηγματώσεων και παραμορφώσεων

-

βέλη κάμψης. Ο περιορισμός των μεγάλων παραμορφώσεων επιτυγχάνεται στις περισσότερες των περιπτώσεων εφαρμόζοντας τις κατασκευαστικές διατάξεις του Κανονισμού Σκυροδέματος.

ζ) Πραγματοποιούνται δόλοι οι ειδικοί έλεγχοι που επιβάλλονται από

τις νέες διατάξεις του ΕΑΚ 2000 για ΔΟΚΟΥΣ, ΥΠΟΣΤΥΛΩΜΑΤΑ και ΤΟΙΧΕΙΑ.

Οι δράσεις σχεδιασμού υπολογίζονται, με βάση την ισχύ της αρχής της επαλληλίας ως εξής:

$S_d = 1.35 \cdot G + 1.50 \cdot Q$ για στατική φόρτιση, και

$S_d = 1.00 \cdot G + \psi_2 \cdot Q \pm 1.0 \cdot E$ για φόρτιση με σεισμό,

όπου το ψ_2 ορίζεται σύμφωνα με τον πίνακα 6.3 του ΕΚΩΣ 2000.

ΘΕΜΕΛΙΩΣΕΙΣ

Πραγματοποιούνται οι έλεγχοι που εξασφαλίζουν ότι:

- α) η αδρανής επιφάνεια του πεδίου δεν ξεπερνά το 50% της συνολικής επιφανείας του.
- β) Για πέδιλα ορθογωνικής κάτοψης ισχύει:
 $\epsilon x^2 + \epsilon y^2 < 1/9$ γενικά
 $\epsilon x^2 + \epsilon y^2 < 1/16$ για σεισμικά ευπαθή εδάφη
 όπου ϵx , ϵy οι ανηγμένες κεκεντρότητες κατά την παρ. 5.2.3.2 [4]
 του ΕΑΚ 2000

Κοιτοστρώσεις

Η γενική κοιτόστρωση αντιμετωπίζεται ως πλάκες εδραζόμενες επί εσχάρας πεδιλοδοκών. Η εσχάρα πεδιλοδοκών θεωρείται εδραζόμενη επί ελαστικού εδάφους κατά το μοντέλο Winkler (μέθοδος ελατηρίων) με σταθερά

ελατηρίου τον δείκτη εδάφους K. Στους κόμβους της εσχάρας θεωρούνται συγκεντρωμένα τα φορτία και οι ροπές των υποστυλωμάτων από την ανωδομή.

Με βάση τα ανωτέρω επιλύεται η εσχάρα πεδιλοδοκών και διαστασιολογούνται

οι πεδιλοδοκοί.

Οι πλάκες διαστασιολογούνται κατά Czerny με βάση την αρνητική φόρτιση (αντιφόρτιση εδάφους) που προκύπτει από την κατανομή του αθροίσματος

των φορτίων των αντίστοιχων υποστυλωμάτων που συντρέχουν σε κάθε φάτνωμα προς

την επιφάνειά του. Οι πλάκες ελέγχονται σε κάμψη και διάτμηση, και επειδή

στα σημεία έδρασης των υποστυλωμάτων υπάρχει εσχάρα δοκών δεν υφίστανται διάτρηση.

Περιμετρικά τοιχεία υπογείων.

Στο πρόγραμμα Statics τα τοιχώματα υπογείων προσομοιώνονται με χιαστί άκαμπτες ράβδους. Η προσομοίωση αυτή των περιμετρικών τοιχείων είναι

πιο κοντά στην πραγματικότητα. Τοποθετούνται χιαστί σύνδεσμοι με πλάτος

όσο το πλάτος του DT, π.χ. 0.20m και κρέμαση 20/10=2.0m. Η κρέμαση δεν μπορεί

να είναι μεγαλύτερη από το μισό του ανοίγματος του DT.

Η ακαμψία ly των συνδέσμων καθορίζεται από τις ανωτέρω διαστάσεις. Το εμβαδόν F των συνδέσμων υπολογίζεται ως το 1/10 αυτού που προκύπτει από

τις παραπάνω διαστάσεις, κι αυτό γίνεται για να μη μειωθεί σημαντικά

το αξονικό φορτίο των υποστυλωμάτων που βρίσκονται στα άκρα του DT.

Οι άκαμπτες αυτές ράβδοι των τοιχείων εισέρχονται ως μέλη στο χωρικό πλαίσιο, συμβάλλοντας ανάλογα στην ακαμψία του φορέα.

Φορτία-Διαστασιολόγηση Τοιχείων

Τα Τοιχεία υπολογίζονται αφενός μεν σε κατακόρυφη φόρτιση λόγω ιδίου βάρους και υπερκείμενων φορτίων (πλινθοδομής και πλακών), και αφετέρου σε εγκάρσια φόρτιση από την άθηση γαιών σε κατάσταση ηρεμίας κατά Coulomb

και σε κατάσταση σεισμού κατά Mononobe-Okabe. (Παρ. 5.3.β ΕΑΚ),

Οι οπλισμοί και τα πάχη των τοιχείων προκύπτουν από διαστασιολόγηση

εγκάρσια φόρτιση ως τετραέρειστες πλακες σύμφωνα με τους πίνακες

Czerny.

ΓΕΝΙΚΟΙ ΕΛΕΓΧΟΙ

Επί πλέον γίνονται οι εξής έλεγχοι:

- i) Ελεγχος αποφυγής μηχανισμού ορόφου (4.1.4.1 ΕΑΚ 2000)
- ii) Ελεγχος επαρκείας και καλής τοποθέτησης τοιχωμάτων κατά τους τύπους 4.8 και 4.9 του ΕΑΚ 2000.
- iii) Ελεγχος επιρροών 2ας Τάξεως (4.1.2.2 ΕΑΚ 2000)
- iv) Ελεγχος αποφυγής ψαθυρών μορφών διατμητικής αστοχίας σύμφωνα με το παράρτημα Β του ΕΑΚ 2000
- v) Ελεγχος ευστρεψίας ορόφων (3.3.3 [7] ΕΑΚ 2000)
- vi) Ελεγχος περίσφιξης υποστυλωμάτων (18.4.4 ΕΚΩΣ 2000)
- vii) Ελεγχος κοντού υποστυλώματος (18.4.9 ΕΚΩΣ 2000)

ΕΦΑΡΜΟΖΟΜΕΝΟΙ ΚΑΝΟΝΙΣΜΟΙ:

ΚΑΝΟΝΙΣΜΟΣ ΦΟΡΤΙΣΕΩΝ ΔΟΜΙΚΩΝ ΕΡΓΩΝ (Β.Δ. 10/12/1945)

ΕΛΛΗΝΙΚΟΣ ΚΑΝΟΝΙΣΜΟΣ ΩΠΛΙΣΜΕΝΟΥ ΣΚΥΡΟΔΕΜΑΤΟΣ:

ΦΕΚ 1329Β/6-11-2000, ΦΕΚ 447/5-3-2004

ΤΕΧΝΟΛΟΓΙΑΣ ΣΚΥΡΟΔΕΜΑΤΟΣ: ΦΕΚ 1561Β/2-6-2016

ΤΕΧΝΟΛΟΓΙΑΣ ΧΑΛΥΒΩΝ: ΦΕΚ 649 24/5/2006 ΑΡΘΡΟ 1

ΕΛΛΗΝΙΚΟΣ ΑΝΤΙΣΕΙΣΜΙΚΟΣ ΚΑΝΟΝΙΣΜΟΣ:

ΦΕΚ 2184Β/1999, ΦΕΚ 781Β/18-6-2003, ΦΕΚ 1153,1154/12-8-2003

Μ Η Χ Α Ν Ι Κ Ο Σ



ΤΕΧΝΙΚΗ ΕΚΘΕΣΗ ΣΥΜΦΩΝΑ ΜΕ ΤΗΝ ΠΑΡ.Ζ6 ΕΑΚ2000

Για τον υπό μελέτη φορέα:

που βρίσκεται στη διεύθυνση:

σπουδαιότητας Σ2 η εκτίμηση της φέρουσας ικανότητας του εδάφους γίνεται με βάση υπάρχουσα εμπειρία από παρακείμενες κατασκευές.

Με βάση πρόσφατη αυτοψία μας, διαπιστώθηκε ότι οι γειτονικές κατασκευές δεν έχουν εμφανίσει αξιόλογες βλάβες και έχουν επιδείξει καλή συμπεριφορά σε προγενέστερες σημαντικές σεισμικές δράσεις.

Για το εν λόγω έδαφος που είναι δυνατό να περιγραφεί ως κοκκώδες συνεκτικό $\phi=30^\circ$, $c=70 \text{ kN/m}^2$

η δέ επιτρεπόμενη τάση λαμβάνεται:

$$\sigma_E = 200 \text{ kN/m}^2$$

Από άποψη σεισμικής επικινδυνότητας το έδαφος κατατάσσεται στην κατηγορία B

Μετά την εξάντληση του συντελεστή δόμησης ο συνολικός δύκος του κτιρίου δεν ξεπερνά τα 4000 m3.

Ο ΜΗΧΑΝΙΚΟΣ



ΜΗΤΡΩΟ ΚΟΜΒΩΝ

A/A	ΣΤ	ΤΑ	X	Y	Z	DX	DY	DZ	DMx	DMy	DMz	BEΘ
1	1	1	9.50	0.17	0.00	0	0	0	0	0	0	14
2	1	2	9.50	9.48	0.00	0	0	0	0	0	0	14
3	1	3	0.17	4.82	0.00	0	0	0	0	0	0	14
4	1	4	18.83	4.82	0.00	0	0	0	0	0	0	14
5	1	5	9.48	4.82	0.00	0	0	0	0	0	0	14
6	1	6	4.78	4.53	0.00	0	0	0	0	0	0	14
7	1	7	14.32	4.53	0.00	0	0	0	0	0	0	14
8	1	8	2.47	4.53	0.00	0	0	0	0	0	0	14
9	1	9	7.13	4.53	0.00	0	0	0	0	0	0	14
10	1	10	11.90	4.53	0.00	0	0	0	0	0	0	14
11	1	11	16.58	4.53	0.00	0	0	0	0	0	0	14
12	2	1	9.50	0.17	4.00	1	1	1	1	1	1	0
13	2	2	9.50	9.48	4.00	1	1	1	1	1	1	0
14	2	3	0.17	4.82	4.00	1	1	1	1	1	1	0
15	2	4	18.83	4.82	4.00	1	1	1	1	1	1	0
16	2	5	9.48	4.82	4.00	1	1	1	1	1	1	0
17	2	6	4.78	4.53	4.00	1	1	1	1	1	1	0
18	2	7	14.32	4.53	4.00	1	1	1	1	1	1	0
19	1	3	0.17	0.06	0.00	0	0	0	0	0	0	14
20	100	19	0.17	4.53	0.00	0	0	0	0	0	0	14
21	100	20	0.17	9.59	0.00	0	0	0	0	0	0	14
22	1	4	18.83	0.06	0.00	0	0	0	0	0	0	14
23	100	22	18.83	4.53	0.00	0	0	0	0	0	0	14
24	100	23	18.83	9.59	0.00	0	0	0	0	0	0	14
25	2	-1	0.17	0.17	4.00	1	1	1	1	1	1	0
26	2	-1	18.83	0.17	4.00	1	1	1	1	1	1	0
27	2	-2	0.17	9.48	4.00	1	1	1	1	1	1	0
28	2	-2	18.83	9.48	4.00	1	1	1	1	1	1	0

ΜΗΤΡΩΟ ΜΕΛΩΝ

o	1	16	4	24	32000	13300	1.7600	0.00696	1.39964	5.00000	0	0.35	
o	1	-3	19	3	32000	13300	5.0000	5.00000	0.40000	5.00000	0	0.25	
2.00	o	1	-4	22	4	32000	13300	5.0000	5.00000	0.40000	5.00000	0	0.25
2.00	A	2	-1	25	12	32000	13300	5.0000	5.00000	0.40000	5.00000	0	10.00
10.00	A	2	-3	25	14	32000	13300	5.0000	5.00000	0.40000	5.00000	0	10.00
10.00	A	2	-1	26	12	32000	13300	5.0000	5.00000	0.40000	5.00000	0	10.00
10.00	A	2	-4	26	15	32000	13300	5.0000	5.00000	0.40000	5.00000	0	10.00
10.00	A	2	-5	12	16	32000	13300	5.0000	5.00000	0.40000	5.00000	0	10.00
10.00	A	2	-2	27	13	32000	13300	5.0000	5.00000	0.40000	5.00000	0	10.00
10.00	A	2	-3	27	14	32000	13300	5.0000	5.00000	0.40000	5.00000	0	10.00
10.00	A	2	-2	28	13	32000	13300	5.0000	5.00000	0.40000	5.00000	0	10.00
10.00	A	2	-4	28	15	32000	13300	5.0000	5.00000	0.40000	5.00000	0	10.00
10.00	A	2	-5	13	16	32000	13300	5.0000	5.00000	0.40000	5.00000	0	10.00
X	2	1	12	17	32000	13300	0.6000	0.00000	0.00450	0.20000	0	2.00	
0.30	X	2	1	12	14	32000	13300	0.6000	0.00000	0.00450	0.20000	0	2.00
0.30	X	2	3	14	16	32000	13300	0.6000	0.00000	0.00450	0.20000	0	2.00
0.30	X	2	6	17	13	32000	13300	0.6000	0.00000	0.00450	0.20000	0	2.00
0.30	X	2	3	14	13	32000	13300	0.6000	0.00000	0.00450	0.20000	0	2.00
0.30	X	2	1	12	18	32000	13300	0.6000	0.00000	0.00450	0.20000	0	2.00
0.30	X	2	4	15	16	32000	13300	0.6000	0.00000	0.00450	0.20000	0	2.00
0.30	X	2	1	12	15	32000	13300	0.6000	0.00000	0.00450	0.20000	0	2.00
0.30	X	2	7	18	13	32000	13300	0.6000	0.00000	0.00450	0.20000	0	2.00
0.30	X	2	4	15	13	32000	13300	0.6000	0.00000	0.00450	0.20000	0	2.00

ΜΗΤΡΩΟ ΦΟΡΤΙΩΝ

A/AΣΤΤΑΤΦ	Fx	Fy	Fz	Mx	My	Mz		
1 1 1 G	0.000	0.000	-876.185	-93.036	3.461	0.000		
	Q	0.000	0.000	-88.906	-21.682	0.492	0.000	
Σx_1	-0.000	0.000	0.000	0.000	0.000	0.000		
Σy_1	0.000	-0.000	0.000	0.000	0.000	0.000		
Σx_2	-0.000	0.000	0.000	0.000	0.000	0.000		
Σy_2	0.000	-0.000	0.000	0.000	0.000	0.000		
2 1 2 G	0.000	0.000	-893.885	120.471	3.461	0.000		
	Q	0.000	0.000	-93.031	28.076	0.492	0.000	
Σx_1	-0.000	0.000	0.000	0.000	0.000	0.000		
Σy_1	0.000	-0.000	0.000	0.000	0.000	0.000		
Σx_2	-0.000	0.000	0.000	0.000	0.000	0.000		
Σy_2	0.000	-0.000	0.000	0.000	0.000	0.000		
3 1 3 G	0.000	0.000	-280.305	-82.923	0.000	0.000		
	Q	0.000	0.000	-15.828	-11.779	0.000	0.000	
Σx_1	0.000	0.000	0.000	0.000	0.000	0.000		
Σy_1	0.000	0.000	0.000	0.000	0.000	0.000		
Σx_2	0.000	0.000	0.000	0.000	0.000	0.000		
Σy_2	0.000	-0.000	0.000	0.000	0.000	0.000		
4 1 4 G	0.000	0.000	-280.305	-82.923	-0.000	0.000		
	Q	0.000	0.000	-15.828	-11.779	-0.000	0.000	
Σx_1	-0.000	0.000	0.000	0.000	0.000	0.000		
Σy_1	0.000	0.000	0.000	0.000	0.000	0.000		
Σx_2	-0.000	0.000	0.000	0.000	0.000	0.000		
Σy_2	0.000	0.000	0.000	0.000	0.000	0.000		
5 1 5 G	0.000	0.000	-530.369	-27.435	1.089	0.000		
	Q	0.000	0.000	-107.509	-6.394	0.545	0.000	
Σx_1	-0.000	0.000	0.000	0.000	0.000	0.000		
Σy_1	0.000	-0.000	0.000	0.000	0.000	0.000		
Σx_2	-0.000	0.000	0.000	0.000	0.000	0.000		
Σy_2	0.000	-0.000	0.000	0.000	0.000	0.000		
6 1 6 G	0.000	0.000	-94.988	0.000	0.707	0.000		
	Q	0.000	0.000	-42.431	0.000	0.354	0.000	
Σx_1	-0.000	0.000	0.000	0.000	0.000	0.000		
Σy_1	0.000	-0.000	0.000	0.000	0.000	0.000		
Σx_2	-0.000	0.000	0.000	0.000	0.000	0.000		
Σy_2	0.000	-0.000	0.000	0.000	0.000	0.000		
7 1 7 G	0.000	0.000	-95.444	0.000	-2.488	0.000		
	Q	0.000	0.000	-42.659	0.000	-1.244	0.000	
Σx_1	-0.000	0.000	0.000	0.000	0.000	0.000		
Σy_1	0.000	-0.000	0.000	0.000	0.000	0.000		
Σx_2	-0.000	0.000	0.000	0.000	0.000	0.000		
Σy_2	0.000	-0.000	0.000	0.000	0.000	0.000		
8 1 8 G	0.000	0.000	-83.950	0.000	0.000	0.000		
	Q	0.000	0.000	-41.975	0.000	0.000	0.000	
Σx_1	-0.000	0.000	0.000	0.000	0.000	0.000		
Σy_1	0.000	-0.000	0.000	0.000	0.000	0.000		
Σx_2	-0.000	0.000	0.000	0.000	0.000	0.000		
Σy_2	0.000	-0.000	0.000	0.000	0.000	0.000		
9 1 9 G	0.000	0.000	-85.775	0.000	0.000	0.000		
	Q	0.000	0.000	-42.888	0.000	0.000	0.000	
Σx_1	-0.000	0.000	0.000	0.000	0.000	0.000		
Σy_1	0.000	-0.000	0.000	0.000	0.000	0.000		
Σx_2	-0.000	0.000	0.000	0.000	0.000	0.000		
Σy_2	0.000	-0.000	0.000	0.000	0.000	0.000		
10 1 10 G	0.000	0.000	-88.512	0.000	-0.000	0.000		
	Q	0.000	0.000	-44.256	0.000	-0.000	0.000	
Σx_1	-0.000	0.000	0.000	0.000	0.000	0.000		
Σy_1	0.000	-0.000	0.000	0.000	0.000	0.000		
Σx_2	-0.000	0.000	0.000	0.000	0.000	0.000		
Σy_2	0.000	-0.000	0.000	0.000	0.000	0.000		
11 1 11 G	0.000	0.000	-82.125	0.000	0.000	0.000		

		Q	0.000	0.000	-41.063	0.000	0.000	0.000
Σx_1	-0.000	0.000	0.000	0.000	0.000	0.000	0.000	0.000
Σy_1	0.000	-0.000	0.000	0.000	0.000	0.000	0.000	0.000
Σx_2	-0.000	0.000	0.000	0.000	0.000	0.000	0.000	0.000
Σy_2	0.000	-0.000	0.000	0.000	0.000	0.000	0.000	0.000
12	2	1	G	0.000	0.000	-552.620	0.000	0.000
		Q	0.000	0.000	-116.619	0.000	0.000	0.000
Σx_1	104.731	0.000	0.000	0.000	0.000	0.000	0.000	0.000
Σy_1	0.000	104.731	0.000	0.000	0.000	0.000	0.000	0.000
Σx_2	104.731	0.000	0.000	0.000	0.000	0.000	0.000	0.000
Σy_2	0.000	104.731	0.000	0.000	0.000	0.000	0.000	0.000

Statics 2017

14

13	2	2	G	0.000	0.000	-568.990	0.000	0.000	0.000
			Q	0.000	0.000	-124.414	0.000	0.000	0.000
Σx_1	108.205	0.000		0.000	0.000	0.000	0.000	0.000	
Σy_1	0.000	108.205		0.000	0.000	0.000	0.000	0.000	
Σx_2	108.205	0.000		0.000	0.000	0.000	0.000	0.000	
Σy_2	0.000	108.205		0.000	0.000	0.000	0.000	0.000	
14	2	3	G	0.000	0.000	-348.425	0.000	81.809	0.000
			Q	0.000	0.000	-91.456	0.000	38.957	0.000
Σx_1	-1722.186	0.000		0.000	0.000	0.000	0.000	0.000	
Σy_1	0.000	126.234		0.000	0.000	0.000	0.000	0.000	
Σx_2	1983.853	0.000		0.000	0.000	0.000	0.000	0.000	
Σy_2	0.000	8.858		0.000	0.000	0.000	0.000	0.000	
15	2	4	G	0.000	0.000	-346.292	0.000	-78.431	0.000
			Q	0.000	0.000	-90.440	0.000	-37.348	0.000
Σx_1	67.116	0.000		0.000	0.000	0.000	0.000	0.000	
Σy_1	0.000	8.452		0.000	0.000	0.000	0.000	0.000	
Σx_2	67.116	0.000		0.000	0.000	0.000	0.000	0.000	
Σy_2	0.000	125.828		0.000	0.000	0.000	0.000	0.000	
16	2	5	G	0.000	0.000	-654.742	0.000	5.701	0.000
			Q	0.000	0.000	-242.990	0.000	2.715	0.000
Σx_1	133.069	0.000		0.000	0.000	0.000	0.000	0.000	
Σy_1	0.000	133.069		0.000	0.000	0.000	0.000	0.000	
Σx_2	133.069	0.000		0.000	0.000	0.000	0.000	0.000	
Σy_2	0.000	133.069		0.000	0.000	0.000	0.000	0.000	
17	2	6	G	0.000	0.000	-225.859	0.000	3.596	0.000
			Q	0.000	0.000	-102.731	0.000	1.712	0.000
Σx_1	1837.279	0.000		0.000	0.000	0.000	0.000	0.000	
Σy_1	0.000	47.524		0.000	0.000	0.000	0.000	0.000	
Σx_2	-1868.760	0.000		0.000	0.000	0.000	0.000	0.000	
Σy_2	0.000	47.524		0.000	0.000	0.000	0.000	0.000	
18	2	7	G	0.000	0.000	-227.407	0.000	-12.675	0.000
			Q	0.000	0.000	-103.468	0.000	-6.036	0.000
Σx_1	47.853	0.000		0.000	0.000	0.000	0.000	0.000	
Σy_1	0.000	47.853		0.000	0.000	0.000	0.000	0.000	
Σx_2	47.853	0.000		0.000	0.000	0.000	0.000	0.000	
Σy_2	0.000	47.853		0.000	0.000	0.000	0.000	0.000	
19	1	3	G	0.000	0.000	-305.360	-73.099	325.021	0.000
			Q	0.000	0.000	-43.375	-10.383	46.168	0.000
Σx_1	0.000	0.000		0.000	0.000	0.000	0.000	0.000	
Σy_1	0.000	-0.000		0.000	0.000	0.000	0.000	0.000	
Σx_2	-0.000	0.000		0.000	0.000	0.000	0.000	0.000	
Σy_2	0.000	-0.000		0.000	0.000	0.000	0.000	0.000	
20100	19	G		0.000	0.000	-146.805	72.769	16.090	0.000
			Q	0.000	0.000	-35.878	10.337	8.045	0.000
Σx_1	-0.000	0.000		0.000	0.000	0.000	0.000	0.000	
Σy_1	0.000	-0.000		0.000	0.000	0.000	0.000	0.000	
Σx_2	-0.000	0.000		0.000	0.000	0.000	0.000	0.000	
Σy_2	0.000	-0.000		0.000	0.000	0.000	0.000	0.000	
21100	20	G		0.000	0.000	-311.960	83.252	325.021	0.000
			Q	0.000	0.000	-44.313	11.826	46.168	0.000
Σx_1	-0.000	0.000		0.000	0.000	0.000	0.000	0.000	
Σy_1	0.000	-0.000		0.000	0.000	0.000	0.000	0.000	
Σx_2	-0.000	0.000		0.000	0.000	0.000	0.000	0.000	
Σy_2	0.000	-0.000		0.000	0.000	0.000	0.000	0.000	
22	1	4	G	0.000	0.000	-306.460	-73.099	-328.483	0.000
			Q	0.000	0.000	-43.531	-10.383	-46.659	0.000
Σx_1	-0.000	0.000		0.000	0.000	0.000	0.000	0.000	
Σy_1	0.000	-0.000		0.000	0.000	0.000	0.000	0.000	
Σx_2	-0.000	0.000		0.000	0.000	0.000	0.000	0.000	
Σy_2	0.000	-0.000		0.000	0.000	0.000	0.000	0.000	
23100	22	G		0.000	0.000	-145.892	72.769	-15.398	0.000
			Q	0.000	0.000	-35.422	10.337	-7.699	0.000
Σx_1	-0.000	0.000		0.000	0.000	0.000	0.000	0.000	
Σy_1	0.000	-0.000		0.000	0.000	0.000	0.000	0.000	
Σx_2	-0.000	0.000		0.000	0.000	0.000	0.000	0.000	

$\Sigma y2$	0.000	-0.000	0.000	0.000	0.000	0.000	0.000	
24100	23	G	0.000	0.000	-313.060	83.252	-328.483	0.000
Q	0.000	0.000	-44.469	11.826	-46.659	0.000		
$\Sigma x1$	-0.000	0.000	0.000	0.000	0.000	0.000	0.000	
$\Sigma y1$	0.000	-0.000	0.000	0.000	0.000	0.000	0.000	
$\Sigma x2$	-0.000	0.000	0.000	0.000	0.000	0.000	0.000	
$\Sigma y2$	0.000	-0.000	0.000	0.000	0.000	0.000	0.000	
25	2	-1	G	0.000	0.000	0.000	0.000	0.000
Q	0.000	0.000	0.000	0.000	0.000	0.000	0.000	
$\Sigma x1$	-0.000	0.000	0.000	0.000	0.000	0.000	0.000	
$\Sigma y1$	0.000	-0.000	0.000	0.000	0.000	0.000	0.000	

Statics 2017

16

Σx_2	-0.000	0.000	0.000	0.000	0.000	0.000		
Σy_2	0.000	-0.000	0.000	0.000	0.000	0.000		
26	2	-1	G	0.000	0.000	0.000	0.000	0.000
			Q	0.000	0.000	0.000	0.000	0.000
Σx_1	-0.000	0.000	0.000	0.000	0.000	0.000		
Σy_1	0.000	-0.000	0.000	0.000	0.000	0.000		
Σx_2	-0.000	0.000	0.000	0.000	0.000	0.000		
Σy_2	0.000	-0.000	0.000	0.000	0.000	0.000		
27	2	-2	G	0.000	0.000	0.000	0.000	0.000
			Q	0.000	0.000	0.000	0.000	0.000
Σx_1	-0.000	0.000	0.000	0.000	0.000	0.000		
Σy_1	0.000	-0.000	0.000	0.000	0.000	0.000		
Σx_2	-0.000	0.000	0.000	0.000	0.000	0.000		
Σy_2	0.000	-0.000	0.000	0.000	0.000	0.000		
28	2	-2	G	0.000	0.000	0.000	0.000	0.000
			Q	0.000	0.000	0.000	0.000	0.000
Σx_1	-0.000	0.000	0.000	0.000	0.000	0.000		
Σy_1	0.000	-0.000	0.000	0.000	0.000	0.000		
Σx_2	-0.000	0.000	0.000	0.000	0.000	0.000		
Σy_2	0.000	-0.000	0.000	0.000	0.000	0.000		

ΜΗΤΡΩΟ ΜΕΤΑΤΟΠΙΣΕΩΝ

			Q	0.000000	0.000000	0.000000	0.000000	0.000000	0.000000	0.000000
Σx_1	0.000000	0.000000	0.000000	0.000000	0.000000	0.000000	0.000000	0.000000	0.000000	0.000000
Σy_1	0.000000	0.000000	0.000000	0.000000	0.000000	0.000000	0.000000	0.000000	0.000000	0.000000
Σx_2	0.000000	0.000000	0.000000	0.000000	0.000000	0.000000	0.000000	0.000000	0.000000	0.000000
Σy_2	0.000000	0.000000	0.000000	0.000000	0.000000	0.000000	0.000000	0.000000	0.000000	0.000000
12	2	1	G	-0.000000	0.000000	-0.000011	-0.000004	0.000000	0.000000	0.000000
			Q	-0.000000	0.000000	-0.000002	-0.000002	0.000000	0.000000	0.000000
Σx_1	0.000014	-0.000000	0.000000	0.000000	0.000001	-0.000003				
Σy_1	0.000001	0.000032	0.000000	-0.000001	0.000000	0.000001	0.000001	0.000001	0.000001	0.000001
Σx_2	0.000014	0.000000	-0.000000	-0.000000	0.000001	0.000001	0.000002	0.000002	0.000002	0.000002
Σy_2	0.000002	0.000032	0.000000	-0.000001	0.000000	0.000000	0.000001	0.000001	0.000001	0.000001

Statics 2017

19

13	2	2	G	-0.000000	-0.000000	-0.000011	0.000004	0.000000	-0.000000
			Q	-0.000000	-0.000000	-0.000002	0.000002	0.000000	-0.000000
Σx_1	0.000014	0.000000	0.000000	-0.000000	0.000001	0.000003			
Σy_1	-0.000001	0.000032	-0.000000	-0.000001	-0.000000	0.000001			
Σx_2	0.000014	-0.000000	-0.000000	0.000000	0.000001	-0.000002			
Σy_2	-0.000002	0.000032	-0.000000	-0.000001	-0.000000	0.000001			
14	2	3	G	0.000000	0.000000	-0.000013	-0.000000	0.000011	0.000000
			Q	0.000000	0.000000	-0.000003	-0.000000	0.000005	0.000000
Σx_1	-0.000008	-0.000000	0.000000	0.000000	-0.000001	0.000000			
Σy_1	0.000000	0.000012	0.000000	-0.000001	0.000000	0.000001			
Σx_2	0.000055	0.000000	0.000000	-0.000000	0.000003	-0.000000			
Σy_2	0.000000	0.000011	0.000000	-0.000001	0.000000	0.000001			
15	2	4	G	-0.000000	0.000000	-0.000012	-0.000000	-0.000010	-0.000000
			Q	-0.000000	0.000000	-0.000003	-0.000000	-0.000005	-0.000000
Σx_1	0.000021	0.000000	-0.000000	-0.000000	0.000001	0.000000			
Σy_1	-0.000000	0.000025	0.000000	-0.000003	0.000000	-0.000000			
Σx_2	0.000017	-0.000000	-0.000000	0.000000	0.000001	-0.000000			
Σy_2	-0.000000	0.000027	0.000000	-0.000003	0.000000	0.000000			
16	2	5	G	-0.000000	0.000000	-0.000024	-0.000000	0.000000	-0.000000
			Q	-0.000000	0.000000	-0.000009	-0.000000	0.000000	-0.000000
Σx_1	0.000030	-0.000000	0.000000	0.000000	0.000001	0.000000			
Σy_1	0.000000	0.000031	0.000000	-0.000003	0.000000	0.000000			
Σx_2	0.000007	0.000000	-0.000000	-0.000000	0.000001	-0.000000			
Σy_2	0.000000	0.000031	0.000000	-0.000003	0.000000	0.000000			
17	2	6	G	0.000000	0.000000	-0.000137	-0.000000	0.000010	0.000000
			Q	0.000000	0.000000	-0.000062	-0.000000	0.000005	0.000000
Σx_1	0.000071	0.000000	0.000000	-0.000000	0.000008	0.000000			
Σy_1	0.000000	0.000031	-0.000000	-0.000010	0.000000	0.000001			
Σx_2	-0.000046	-0.000000	-0.000000	0.000000	-0.000006	-0.000000			
Σy_2	0.000000	0.000030	-0.000000	-0.000010	0.000000	0.000002			
18	2	7	G	-0.000000	0.000000	-0.000138	-0.000000	-0.000038	-0.000000
			Q	-0.000000	0.000000	-0.000063	-0.000000	-0.000018	-0.000000
Σx_1	0.000026	-0.000000	0.000000	0.000000	0.000003	0.000000			
Σy_1	-0.000000	0.000036	0.000000	-0.000012	-0.000000	-0.000000			
Σx_2	0.000015	-0.000000	0.000000	0.000000	0.000002	-0.000000			
Σy_2	-0.000000	0.000036	0.000000	-0.000012	-0.000000	-0.000000			
19	1	3	G	0.000000	0.000000	0.000000	0.000000	0.000000	0.000000
			Q	0.000000	0.000000	0.000000	0.000000	0.000000	0.000000
Σx_1	0.000000	0.000000	0.000000	0.000000	0.000000	0.000000			
Σy_1	0.000000	0.000000	0.000000	0.000000	0.000000	0.000000			
Σx_2	0.000000	0.000000	0.000000	0.000000	0.000000	0.000000			
Σy_2	0.000000	0.000000	0.000000	0.000000	0.000000	0.000000			
20	100	19	G	0.000000	0.000000	0.000000	0.000000	0.000000	0.000000
			Q	0.000000	0.000000	0.000000	0.000000	0.000000	0.000000
Σx_1	0.000000	0.000000	0.000000	0.000000	0.000000	0.000000			
Σy_1	0.000000	0.000000	0.000000	0.000000	0.000000	0.000000			
Σx_2	0.000000	0.000000	0.000000	0.000000	0.000000	0.000000			
Σy_2	0.000000	0.000000	0.000000	0.000000	0.000000	0.000000			
21	100	20	G	0.000000	0.000000	0.000000	0.000000	0.000000	0.000000
			Q	0.000000	0.000000	0.000000	0.000000	0.000000	0.000000
Σx_1	0.000000	0.000000	0.000000	0.000000	0.000000	0.000000			
Σy_1	0.000000	0.000000	0.000000	0.000000	0.000000	0.000000			
Σx_2	0.000000	0.000000	0.000000	0.000000	0.000000	0.000000			
Σy_2	0.000000	0.000000	0.000000	0.000000	0.000000	0.000000			
22	1	4	G	0.000000	0.000000	0.000000	0.000000	0.000000	0.000000
			Q	0.000000	0.000000	0.000000	0.000000	0.000000	0.000000
Σx_1	0.000000	0.000000	0.000000	0.000000	0.000000	0.000000			
Σy_1	0.000000	0.000000	0.000000	0.000000	0.000000	0.000000			
Σx_2	0.000000	0.000000	0.000000	0.000000	0.000000	0.000000			
Σy_2	0.000000	0.000000	0.000000	0.000000	0.000000	0.000000			
23	100	22	G	0.000000	0.000000	0.000000	0.000000	0.000000	0.000000
			Q	0.000000	0.000000	0.000000	0.000000	0.000000	0.000000
Σx_1	0.000000	0.000000	0.000000	0.000000	0.000000	0.000000			
Σy_1	0.000000	0.000000	0.000000	0.000000	0.000000	0.000000			
Σx_2	0.000000	0.000000	0.000000	0.000000	0.000000	0.000000			

Σy_2	0.000000	0.000000	0.000000	0.000000	0.000000	0.000000	
24100	23	G	0.000000	0.000000	0.000000	0.000000	0.000000 0.000000
		Q	0.000000	0.000000	0.000000	0.000000	0.000000 0.000000
Σx_1	0.000000	0.000000	0.000000	0.000000	0.000000	0.000000	
Σy_1	0.000000	0.000000	0.000000	0.000000	0.000000	0.000000	
Σx_2	0.000000	0.000000	0.000000	0.000000	0.000000	0.000000	
Σy_2	0.000000	0.000000	0.000000	0.000000	0.000000	0.000000	
25	2	-1	G	0.000000	0.000000	0.000000 -0.000004	0.000008 -0.000000
			Q	0.000000	0.000000	0.000003 -0.000002	0.000004 -0.000000
Σx_1	0.000007	-0.000000	-0.000000	0.000000	-0.000001	0.000004	
Σy_1	0.000003	0.000013	0.000005	-0.000001	0.000000	0.000001	

Statics 2017

21

Σx_2	0.000028	0.000001	0.000002	-0.000000	0.000002	-0.000006			
Σy_2	0.000004	0.000012	0.000004	-0.000001	0.000000	0.000001			
26	2	-1	G	-0.000000	0.000000	-0.000000	-0.000004	-0.000008	0.000000
			Q	-0.000000	0.000000	0.000003	-0.000002	-0.000004	0.000000
Σx_1	0.000017	-0.000001	-0.000001	0.000000	0.000001	-0.000000			
Σy_1	0.000000	0.000026	0.000008	-0.000001	-0.000000	-0.000000			
Σx_2	0.000014	0.000000	-0.000001	0.000000	0.000000	-0.000001			
Σy_2	0.000001	0.000027	0.000009	-0.000001	-0.000000	-0.000000			
27	2	-2	G	0.000000	-0.000000	0.000000	0.000004	0.000008	0.000000
			Q	0.000000	-0.000000	0.000003	0.000002	0.000004	0.000000
Σx_1	0.000007	0.000000	-0.000000	-0.000000	-0.000001	-0.000004			
Σy_1	-0.000003	0.000013	-0.000005	-0.000001	-0.000000	0.000001			
Σx_2	0.000028	-0.000001	0.000002	0.000000	0.000002	0.000006			
Σy_2	-0.000004	0.000012	-0.000004	-0.000001	-0.000000	0.000001			
28	2	-2	G	-0.000000	-0.000000	-0.000000	0.000004	-0.000008	-0.000000
			Q	-0.000000	-0.000000	0.000003	0.000002	-0.000004	-0.000000
Σx_1	0.000017	0.000001	-0.000001	-0.000000	0.000001	0.000000			
Σy_1	-0.000000	0.000026	-0.000008	-0.000001	0.000000	-0.000000			
Σx_2	0.000015	-0.000001	-0.000001	-0.000000	0.000000	0.000001			
Σy_2	-0.000001	0.000027	-0.000009	-0.000001	0.000000	-0.000000			

ΜΗΤΡΩΟ ΑΝΤΙΔΡΑΣΕΩΝ

A/A	ΣΤ	ΤΑ	ΤΦ	Fx	Fy	Fz	Mx	My	Mz
1	1	1	G	0.39	2.99	1446.02	89.10	-4.36	-0.00
			Q	0.18	1.45	213.87	19.77	-0.92	-0.00
			Σx1	-290.24	-0.01	-0.76	-0.05	-1163.04	0.38
			Σy1	25.84	-12.15	-15.39	24.77	99.91	0.04
			Σx2	-273.50	0.01	0.81	0.05	-1084.61	-0.26
			Σy2	-25.88	-12.15	-15.39	24.78	-100.05	-0.04
2	1	2	G	0.38	-2.94	1479.85	-116.59	-4.40	0.00
			Q	0.18	-1.43	225.67	-26.19	-0.94	0.00
			Σx1	-277.22	0.09	-0.82	-0.12	-1111.60	-0.39
			Σy1	-25.84	-12.18	15.41	24.84	-99.92	0.04
			Σx2	-287.82	-0.10	0.88	0.13	-1141.16	0.27
			Σy2	25.88	-12.18	15.41	24.85	100.06	-0.04
3	1	3	G	4.42	-0.02	619.34	83.20	5.81	-0.00
			Q	2.11	-0.01	102.82	11.91	2.77	-0.00
			Σx1	4.42	0.49	0.48	-1.88	9.26	-0.00
			Σy1	-0.00	-195.91	-0.00	769.35	-0.00	-0.00
			Σx2	-12.16	-0.84	-3.78	3.25	-25.19	0.00
			Σy2	-0.00	-104.35	-0.00	411.26	-0.01	-0.03
4	1	4	G	-4.17	-0.02	616.86	83.20	-5.48	0.00
			Q	-1.99	-0.01	101.64	11.91	-2.62	0.00
			Σx1	-4.06	-1.13	1.73	4.37	-8.36	-0.00
			Σy1	0.00	-104.68	-0.00	412.53	0.01	0.03
			Σx2	-3.08	1.52	1.42	-5.90	-6.32	0.00
			Σy2	0.00	-196.22	-0.00	770.56	0.00	0.00
5	1	5	G	0.10	-0.00	1176.93	28.06	-0.95	0.00
			Q	0.05	-0.00	346.28	6.69	-0.48	0.00
			Σx1	-6.94	0.56	-0.55	-2.07	-14.14	-0.00
			Σy1	0.00	-250.70	-0.01	928.07	0.00	0.01
			Σx2	-0.31	-0.60	0.60	2.20	-0.76	0.00
			Σy2	-0.00	-250.71	-0.01	928.12	-0.00	-0.01
6	1	6	G	0.41	-0.00	317.31	0.00	-0.18	-0.00
			Q	0.19	-0.00	143.49	0.00	-0.10	-0.00
			Σx1	-1.58	-0.01	-0.08	0.02	-3.48	-0.00
			Σy1	-0.00	-0.24	-0.00	0.80	-0.00	-0.00
			Σx2	1.00	0.00	0.09	-0.01	2.22	0.00
			Σy2	-0.00	-0.21	0.00	0.70	-0.00	-0.00
7	1	7	G	-1.51	-0.00	319.51	0.00	0.51	0.00
Q	-0.72	-0.00		144.55	0.00	0.30	0.00		
			Σx1	-0.45	0.00	-0.02	-0.00	-0.99	-0.00
			Σy1	0.00	-0.21	0.00	0.70	0.00	0.00
			Σx2	-0.21	0.00	-0.01	-0.00	-0.45	0.00
			Σy2	0.00	-0.24	-0.00	0.80	0.00	0.00
8	1	8	G	0.00	0.00	83.95	0.00	-0.00	0.00
			Q	0.00	0.00	41.97	0.00	-0.00	0.00
			Σx1	0.00	0.00	0.00	0.00	0.00	0.00
			Σy1	0.00	0.00	0.00	0.00	0.00	0.00
			Σx2	0.00	0.00	0.00	0.00	0.00	0.00
			Σy2	0.00	0.00	0.00	0.00	0.00	0.00
9	1	9	G	0.00	0.00	85.78	0.00	-0.00	0.00
			Q	0.00	0.00	42.89	0.00	-0.00	0.00
			Σx1	0.00	0.00	0.00	0.00	0.00	0.00
			Σy1	0.00	0.00	0.00	0.00	0.00	0.00
			Σx2	0.00	0.00	0.00	0.00	0.00	0.00
			Σy2	0.00	0.00	0.00	0.00	0.00	0.00
10	1	10	G	0.00	0.00	88.51	0.00	0.00	0.00
			Q	0.00	0.00	44.26	0.00	0.00	0.00
			Σx1	0.00	0.00	0.00	0.00	0.00	0.00
			Σy1	0.00	0.00	0.00	0.00	0.00	0.00
			Σx2	0.00	0.00	0.00	0.00	0.00	0.00
			Σy2	0.00	0.00	0.00	0.00	0.00	0.00
11	1	11	G	0.00	0.00	82.13	0.00	0.00	0.00

		Q	0.00	0.00	41.06	0.00	0.00	0.00
		Σx_1	0.00	0.00	0.00	0.00	0.00	0.00
		Σy_1	0.00	0.00	0.00	0.00	0.00	0.00
		Σx_2	0.00	0.00	0.00	0.00	0.00	0.00
		Σy_2	0.00	0.00	0.00	0.00	0.00	0.00
12	2	1 G	0.00	0.00	0.00	0.00	-0.00	-0.00
		Q	0.00	0.00	0.00	0.00	0.00	-0.00
		Σx_1	0.00	0.00	-0.00	-0.00	-0.00	0.00
		Σy_1	0.00	0.00	-0.00	-0.00	-0.00	0.00
		Σx_2	0.00	-0.00	0.00	0.00	0.00	-0.00
		Σy_2	-0.00	0.00	0.00	0.00	0.00	0.00

Statics 2017

24

13	2	2	G	-0.00	0.00	0.00	0.00	0.00	0.00
			Q	0.00	0.00	0.00	0.00	-0.00	-0.00
Σx_1		0.00		0.00	0.00	-0.00	-0.00	0.00	
Σy_1		-0.00		0.00	-0.00	0.00	0.00	-0.00	
Σx_2		0.00		-0.00	0.00	-0.00	-0.00	0.00	
Σy_2		-0.00		0.00	0.00	-0.00	0.00	-0.00	
14	2	3	G	-0.00	-0.00	0.00	0.00	0.00	-0.00
			Q	-0.00	0.00	0.00	0.00	0.00	0.00
Σx_1		0.00		0.00	0.00	-0.00	-0.00	0.00	
Σy_1		-0.00		0.00	0.00	0.00	-0.00	-0.00	
Σx_2		0.00		-0.00	-0.00	-0.00	0.00	-0.00	
Σy_2		-0.00		0.00	-0.00	-0.00	0.00	0.00	
15	2	4	G	-0.00	-0.00	0.00	0.00	0.00	0.00
			Q	-0.00	0.00	0.00	0.00	0.00	-0.00
Σx_1		0.00		-0.00	0.00	-0.00	0.00	-0.00	
Σy_1		0.00		0.00	-0.00	-0.00	-0.00	0.00	
Σx_2		0.00		-0.00	-0.00	0.00	0.00	-0.00	
Σy_2		0.00		0.00	-0.00	-0.00	0.00	-0.00	
16	2	5	G	0.00	0.00	0.00	0.00	0.00	-0.00
			Q	0.00	0.00	0.00	0.00	0.00	-0.00
Σx_1		0.00		-0.00	-0.00	-0.00	0.00	0.00	
Σy_1		0.00		0.00	-0.00	-0.00	-0.00	0.00	
Σx_2		0.00		0.00	0.00	0.00	0.00	-0.00	
Σy_2		0.00		0.00	-0.00	-0.00	0.00	-0.00	
17	2	6	G	0.00	0.00	0.00	0.00	0.00	0.00
			Q	0.00	0.00	0.00	0.00	0.00	0.00
Σx_1		0.00		-0.00	-0.00	0.00	-0.00	-0.00	
Σy_1		0.00		0.00	-0.00	0.00	-0.00	0.00	
Σx_2		0.00		0.00	0.00	0.00	0.00	0.00	
Σy_2		-0.00		0.00	0.00	-0.00	0.00	0.00	
18	2	7	G	-0.00	-0.00	0.00	0.00	0.00	-0.00
			Q	-0.00	-0.00	0.00	0.00	0.00	-0.00
Σx_1		0.00		0.00	0.00	0.00	0.00	0.00	
Σy_1		-0.00		0.00	0.00	-0.00	-0.00	-0.00	
Σx_2		0.00		-0.00	0.00	0.00	-0.00	0.00	
Σy_2		-0.00		0.00	0.00	0.00	0.00	-0.00	
19	1	3	G	0.00	0.00	305.36	73.10	-325.02	0.00
			Q	0.00	0.00	43.38	10.38	-46.17	0.00
Σx_1		0.00		0.00	0.00	0.00	0.00	0.00	
Σy_1		0.00		0.00	0.00	-0.00	-0.00	-0.00	
Σx_2		0.00		-0.00	0.00	0.00	-0.00	0.00	
Σy_2		-0.00		0.00	0.00	0.00	0.00	-0.00	
20100	19	G	0.00	0.00	146.80	-72.77	-16.09	0.00	
			Q	0.00	0.00	35.88	-10.34	-8.05	0.00
Σx_1		0.00		0.00	0.00	0.00	0.00	0.00	
Σy_1		0.00		0.00	0.00	0.00	0.00	0.00	
Σx_2		0.00		0.00	0.00	0.00	0.00	0.00	
Σy_2		0.00		0.00	0.00	0.00	0.00	0.00	
21100	20	G	0.00	0.00	311.96	-83.25	-325.02	0.00	
			Q	0.00	0.00	44.31	-11.83	-46.17	0.00
Σx_1		0.00		0.00	0.00	0.00	0.00	0.00	
Σy_1		0.00		0.00	0.00	0.00	0.00	0.00	
Σx_2		0.00		0.00	0.00	0.00	0.00	0.00	
Σy_2		0.00		0.00	0.00	0.00	0.00	0.00	
22	1	4	G	0.00	0.00	306.46	73.10	328.48	0.00
			Q	0.00	0.00	43.53	10.38	46.66	0.00
Σx_1		0.00		0.00	0.00	0.00	0.00	0.00	
Σy_1		0.00		0.00	0.00	0.00	0.00	0.00	
Σx_2		0.00		0.00	0.00	0.00	0.00	0.00	
Σy_2		0.00		0.00	0.00	0.00	0.00	0.00	
23100	22	G	0.00	0.00	145.89	-72.77	15.40	0.00	
			Q	0.00	0.00	35.42	-10.34	7.70	0.00
Σx_1		0.00		0.00	0.00	0.00	0.00	0.00	
Σy_1		0.00		0.00	0.00	0.00	0.00	0.00	
Σx_2		0.00		0.00	0.00	0.00	0.00	0.00	
Σy_2		0.00		0.00	0.00	0.00	0.00	0.00	

Σy_2	0.00	0.00	0.00	0.00	0.00	0.00	
24100	23 G	0.00	0.00	313.06	-83.25	328.48	0.00
	Q	0.00	0.00	44.47	-11.83	46.66	0.00
Σx_1	0.00	0.00	0.00	0.00	0.00	0.00	
Σy_1	0.00	0.00	0.00	0.00	0.00	0.00	
Σx_2	0.00	0.00	0.00	0.00	0.00	0.00	
Σy_2	0.00	0.00	0.00	0.00	0.00	0.00	
25 2 -1 G	0.00	0.00	0.00	-0.00	-0.00	-0.00	-0.00
	Q	0.00	-0.00	-0.00	-0.00	0.00	-0.00
Σx_1	-0.00	-0.00	0.00	0.00	0.00	0.00	
Σy_1	0.00	0.00	0.00	0.00	-0.00	-0.00	

Statics 2017

26

Σx_2	0.00	0.00	-0.00	-0.00	-0.00	-0.00	
Σy_2	-0.00	0.00	-0.00	-0.00	-0.00	-0.00	
26 2 -1 G	0.00	-0.00	0.00	0.00	0.00	-0.00	0.00
	Q	0.00	0.00	0.00	-0.00	-0.00	0.00
Σx_1	-0.00	-0.00	-0.00	0.00	-0.00	-0.00	
Σy_1	-0.00	0.00	-0.00	-0.00	-0.00	0.00	
Σx_2	-0.00	0.00	0.00	0.00	0.00	-0.00	
Σy_2	0.00	0.00	0.00	0.00	-0.00	0.00	
27 2 -2 G	-0.00	0.00	-0.00	-0.00	-0.00	-0.00	-0.00
	Q	0.00	-0.00	-0.00	-0.00	-0.00	0.00
Σx_1	0.00	-0.00	-0.00	0.00	0.00	0.00	
Σy_1	0.00	0.00	-0.00	0.00	0.00	-0.00	
Σx_2	-0.00	0.00	0.00	0.00	-0.00	-0.00	
Σy_2	0.00	-0.00	0.00	-0.00	-0.00	0.00	
28 2 -2 G	-0.00	-0.00	-0.00	-0.00	-0.00	0.00	-0.00
	Q	-0.00	-0.00	-0.00	-0.00	-0.00	-0.00
Σx_1	0.00	0.00	0.00	0.00	0.00	0.00	
Σy_1	0.00	-0.00	0.00	0.00	0.00	0.00	
Σx_2	0.00	-0.00	-0.00	0.00	0.00	0.00	
Σy_2	-0.00	-0.00	0.00	-0.00	0.00	0.00	

ΜΗΤΡΩΟ ΕΝΤΑΤΙΚΩΝ ΜΕΤΕΦΩΝ ΜΕΛΩΝ

A/A	T	ΣΤ	ΤΑ	ΤΦ	N	Mx	My	Vx	Vy	T	s		
1	d	1	1	G	0.00	0.00	6.80			0.00	125.10	-1.39	
10.72						0.00	36.38			0.00	-65.64	-0.00	
4.19				Q	0.00	0.00	6.81			0.00	21.64	-0.24	
1.82						0.00	2.47			0.00	-25.73	-0.00	
1.86				Σx1	0.00	0.00	0.18			0.00	0.79	0.01	
0.08						0.00	0.15			0.00	-0.60	0.00	
0.03				Σy1	0.00	0.00	0.30			0.00	-2.97	1.10	
-0.26						0.00	-1.07			0.00	0.52	0.00	
-0.01				Σx2	0.00	0.00	0.51			0.00	0.19	0.05	
0.05						0.00	0.15			0.00	-0.21	0.00	
-0.01				Σy2	0.00	0.00	0.14			0.00	-1.58	0.59	
-0.14						0.00	-0.57			0.00	0.28	0.00	
-0.01						0.00	45.78			0.00	-46.04	-0.00	
2 d	1	2	G		0.00	0.00	-97.19			0.00	170.63	-0.32	
7.41						0.00							
7.42				Q	0.00	0.00	-46.88			0.00	73.39	-0.05	
3.61						0.00	6.64			0.00	-20.99	0.00	
2.50				Σx1	0.00	0.00	4.54			0.00	-2.46	0.00	
-0.02						0.00	-0.36			0.00	-2.48	0.00	
0.11				Σy1	0.00	0.00	-0.09			0.00	0.08	0.59	
0.01						0.00	-0.11			0.00	0.01	-0.00	
-0.01				Σx2	0.00	0.00	1.52			-0.77	0.00	-0.02	
0.09						0.00	0.00	-0.29		0.00	-1.39	0.00	
0.01				Σy2	0.00	0.00	-0.07			0.00	0.02	0.46	
3 d	1	3	G		0.00	-0.12	0.00			0.00	-0.01		
15.06					0.00	0.00	-226.55			0.00	316.34	-0.30	
7.03						0.00	45.47			0.00	-42.87	0.00	
3.24				Q	0.00	0.00	-38.98			0.00	65.35	-0.06	
2.41						0.00	6.33			0.00	-22.51	-0.00	
-0.00				Σx1	0.00	0.00	12.06			0.00	-7.34	-0.00	
-0.12						0.00	0.24			0.00	-2.08	-0.00	
-0.04				Σy1	0.00	0.00	0.70			0.00	-0.86	0.71	

-0.01			0.00	-0.13	0.00	-0.01	0.00	
0.00		Σx_2	0.00	0.00	8.07	0.00	-4.80	0.00
-0.07				0.00	0.21	0.00	-1.47	0.00
-0.04		Σy_2	0.00	0.00	0.69	0.00	-0.85	0.71
-0.01				0.00	-0.11	0.00	-0.00	0.00
4 d 1 4 G 7.40	0.00	0.00	-100.41	0.00	156.50	-0.32		
4.40				0.00	37.57	0.00	-16.40	0.00
3.62		Q	0.00	0.00	-47.71	0.00	69.57	-0.05
1.92				0.00	2.78	0.00	-15.32	0.00
0.02		Σx_1	0.00	0.00	1.23	0.00	-0.60	0.00
-0.02				0.00	-0.13	0.00	-0.44	0.00
0.01		Σy_1	0.00	0.00	-0.03	0.00	-0.15	0.46
-0.01				0.00	-0.59	0.00	-0.28	-0.00
0.02		Σx_2	0.00	0.00	1.13	0.00	-0.52	-0.01
0.01				0.00	-0.10	0.00	-0.41	0.00
0.01		Σy_2	0.00	0.00	-0.03	0.00	-0.32	0.60
-0.02				0.00	-1.10	0.00	-0.51	-0.00
5 d 1 5 G 4.19	0.00	0.00	36.38	0.00	18.31	-0.00		
7.41				0.00	-98.22	0.00	-154.32	0.32
1.86		Q	0.00	0.00	2.47	0.00	16.24	-0.00
0.00	-46.98		0.00	-69.07	0.05	3.61		
0.03		Σx_1	0.00	0.00	0.15	0.00	-0.60	0.00
-0.02				0.00	-2.29	0.00	-1.28	-0.00
-0.01		Σy_1	0.00	0.00	-1.07	0.00	0.52	0.00
0.01				0.00	-0.01	0.00	0.29	-0.59
-0.01		Σx_2	0.00	0.00	0.15	0.00	-0.21	0.00
-0.02				0.00	0.14	0.00	0.27	-0.00
-0.01		Σy_2	0.00	0.00	-0.57	0.00	0.28	0.00
0.01				0.00	-0.03	0.00	0.14	-0.46
6 d 1 6 G 7.42	0.00	0.00	45.78	0.00	39.74	-0.00		
15.06				0.00	-225.85	0.00	-316.17	0.30
2.50		Q	0.00	0.00	6.64	0.00	21.90	0.00
3.24				0.00	-38.66	0.00	-65.22	0.06
0.11		Σx_1	0.00	0.00	-0.36	0.00	-2.48	0.00
-0.00				0.00	-12.12	0.00	-7.21	0.00

	Σy_1	0.00	0.00	-0.11	0.00	0.01	-0.00
-0.01			0.00	0.69	0.00	0.85	-0.71
-0.04	Σx_2	0.00	0.00	-0.29	0.00	-1.39	0.00
0.09			0.00	-8.07	0.00	-4.93	-0.00
0.00	Σy_2	0.00	0.00	-0.12	0.00	0.02	-0.00
-0.01							
0.00	0.70	0.00	0.86	-0.71	-0.04		

Statistics 2017

30

7 d	1	7	G	0.00	0.00	45.47	0.00	45.64	0.00	
7.03					0.00	-99.44	0.00	-170.49	0.32	
7.40			Q	0.00	0.00	6.33	0.00	21.75	-0.00	
2.41				0.00	-47.55	0.00	-73.91	0.05	3.62	
Σx_1	0.00	0.00		0.24	0.00	-2.08	-0.00	-0.12		
				0.00	-3.24	0.00		-1.62	-0.00	
0.02	Σy_1	0.00	0.00	-0.13	0.00	-0.01	0.00	-0.01		
				0.00	-0.07	0.00		-0.03	-0.46	
0.01	Σx_2	0.00	0.00	0.21	0.00	-1.47	0.00	-0.07		
		0.00	-2.74	0.00	-1.54	0.01	0.02			
Σy_2	0.00	0.00		-0.11	0.00	-0.00	0.00	-0.01		
				0.00	-0.11	0.00		-0.10	-0.60	
0.01	8 d	1	8	G	0.00	0.00	37.57	0.00	65.73	0.00
4.40					0.00	6.33	0.00	-125.32	1.39	
10.69			Q	0.00	0.00	2.78	0.00	25.74	0.00	
1.92					0.00	6.57	0.00	-21.70	0.24	
1.80	Σx_1	0.00	0.00	-0.13	0.00	-0.44	0.00	-0.02		
				0.00	-0.35	0.00	0.47	0.02		
-0.06	Σy_1	0.00	0.00	-0.59	0.00	-0.28	-0.00	-0.01		
				0.00	0.14	0.00	1.58	-0.59		
-0.14	Σx_2	0.00	0.00	-0.10	0.00	-0.41	0.00	-0.01		
				0.00	-0.34	0.00	0.40	0.05		
-0.06	Σy_2	0.00	0.00	-1.10	0.00	-0.51	-0.00	-0.02		
				0.00	0.30	0.00	2.98	-1.10		
-0.26	9 o	1	9	G	0.00	0.00	342.02	0.00	56.27	-0.17
23.84					0.00	-1315.47	0.00	-482.10	-0.40	
49.82			Q	0.00	0.00	51.32	0.00	9.03	-0.04	
3.75					0.00	-245.38	0.00	-87.08	-0.00	
9.15	Σx_1	0.00	0.00	25.53	0.00	-28.30	0.05	1.12		
				0.00	-421.46	0.00	-66.75	-0.00		
-0.01	Σy_1	0.00	0.00	-10.67	0.00	22.54	0.12	3.54		
				0.00	51.52	0.00	-2.87	-0.01	1.04	
Σx_2	0.00	0.00	36.18	0.00	-28.54	0.05	1.24			
			0.00	-409.49	0.00	-65.97	0.00			
0.00	Σy_2	0.00	0.00	-3.04	0.00	8.90	0.07	1.98		
			0.00	-30.89	0.00	-12.71	0.00	-0.01		
1.04	10 o	1	10	G	0.00	0.00	-1311.65	0.00	481.83	0.40
49.82					0.00	23.77				
0.00	344.05			0.00	-57.60	0.17				
		Q		0.00	0.00	-244.55	0.00	86.99	0.00	
9.15					0.00	51.60	0.00	-9.24	0.04	
3.72	Σx_1	0.00	0.00	423.52	0.00	-67.53	0.00	-0.01		

-1.13				0.00	-31.59	0.00	-28.85	0.05
Σy_1	0.00	0.00	-30.94	0.00	12.75	0.01	1.04	
			0.00	-3.06	0.00	-8.98	-0.07	
1.99			406.30	0.00	-64.91	-0.00	0.00	
Σx_2	0.00	0.00	0.00	-29.77	0.00	-27.15	0.05	
-1.19			51.09	0.00	2.97	0.01	1.04	
Σy_2	0.00	0.00	0.00	-10.69	0.00	-22.55	-0.12	
3.55			324.68	0.00	0.00	164.60	-0.51	
11 o	1	11	G	0.00	0.00	-1074.33	-489.24	0.42
43.67			Q	0.00	46.14	0.00	26.72	-0.06
51.29				0.00	-204.14	0.00	-87.37	0.01
6.90				0.00	-82.02	0.00	-62.62	-0.00
9.32			Σx_1	0.00	0.10	0.00	-21.47	-0.06
				0.00	-401.14	0.00	-63.03	1.50
-0.02			Σy_1	0.00	0.15	0.00	-31.35	-5.54
				0.00	-82.02	0.00	1.89	0.02
-0.81			Σx_2	0.00	0.11	0.00	-22.64	-0.06
				0.00	-405.56	0.00	-63.03	1.29
0.01			Σy_2	0.00	0.06	0.00	-14.19	-3.08
				0.00	10.48	0.00	10.97	0.02
12 o	1	12	G	0.00	0.00	-1074.46	489.73	-0.81
51.29				0.00	328.14	0.00	-165.48	-0.42
43.61				0.00	0.00	-204.28	87.43	0.51
9.32				0.00	46.63	0.00	-26.77	0.06
6.86			Σx_1	0.00	402.32	0.00	-62.85	0.00
	0.00	-0.10		0.00	-21.33	-0.06	-1.44	-0.02
Σy_1	0.00	0.00	10.52	0.00	-11.02	-0.02	-0.81	
			0.00	0.06	0.00	14.28	-0.06	
-3.08			Σx_2	0.00	403.75	0.00	-62.61	-0.00
				0.00	-0.11	0.00	-22.17	0.01
-1.29			Σy_2	0.00	-81.49	0.00	-2.01	-0.02
				0.00	0.15	0.00	31.38	-0.81
-5.55				0.00	196.39	0.00	10.10	0.18
13 o	1	13	G	0.00	0.00	-163.43	-180.21	2.47
23.84				0.00	30.87	0.00	-3.08	0.06
31.31				0.00	-48.96	0.00	-34.54	0.31
3.75				0.00	0.00	-0.00	-0.00	
5.30				0.00	0.00	-0.00	-0.00	

Statics 2017

32

Σx_1	0.00	0.00	4.16 0.00	0.00 64.94	16.13 0.00	0.10	1.12 12.18	0.02
0.22								
Σy_1	0.00	0.00	14.79 0.00	0.00 -182.63	-36.12 0.00	-0.08	3.54 -47.46	-0.07
-0.75								
Σx_2	0.00	0.00	4.53 0.00	0.00 63.13	15.83 0.00	0.08	1.24 11.73	0.02
0.15								
Σy_2	0.00	0.00	8.18 0.00	0.00 -89.02	-17.28 0.00	-0.02	1.98 -23.56	-0.04
-0.40								
14 o 1 14 G		0.00	0.00	-234.81	0.00	-158.51	-6.82	
31.31				0.00	-284.57	0.00	-173.31	-6.36
31.83		Q	0.00	0.00	-59.06	0.00	-20.30	-0.92
5.30				0.00	-65.52	0.00	-22.80	-0.87
5.39								
Σx_1	0.00	0.00	64.92 0.00	0.00 68.32	11.39 0.00	0.20	0.22 0.23	0.22
Σy_1	0.00	0.00	-183.74 0.00	0.00 -197.02	-44.49 0.00	0.24	-0.75 -44.04	0.23
-1.19								
Σx_2	0.00	0.00	63.08 0.00	0.00 66.53	11.54 0.00	0.53	0.15 11.48	0.58
0.13								
Σy_2	0.00	0.00	-89.61 -96.17	0.00 0.00	-21.98 -0.64	0.11	-0.40 10.49	-0.17
0.00								
15 o 1 15 G		0.00	0.00	195.95	0.00	10.49	-0.17	
23.77				0.00	-160.87	0.00	-179.22	-2.41
31.22		Q	0.00	0.00	30.68	0.00	-2.88	-0.06
3.72				0.00	-47.71	0.00	-34.07	-0.28
5.25								
Σx_1	0.00	0.00	-4.11 0.00	0.00 -67.22	-16.61 0.00	0.09	-1.13 -12.80	0.02
-0.18								
Σy_1	0.00	0.00	8.20 0.00	0.00 -89.45	-17.37 0.00	0.02	1.99 -23.67	0.04
-0.40								
Σx_2	0.00	0.00	-4.40 0.00	0.00 -59.43	-14.96 0.00	0.09	-1.19 -10.93	0.02
-0.16								
Σy_2	0.00	0.00	14.83 0.00	0.00 -182.96	-36.18 0.00	0.08	3.55 -47.55	0.07
-0.75								
16 o 1 16 G		0.00	0.00	-232.25	0.00	-158.64	6.66	
31.22				0.00	-282.05	0.00	-173.40	6.21
31.73		Q	0.00	0.00	-57.81	0.00	-20.35	0.85
5.25				0.00	-64.28	0.00	-22.83	0.80
5.34								
Σx_1	0.00	0.00	-67.20 0.00	0.00 -70.89	-12.33 0.00	0.37	-0.18 -12.25	0.41
-0.18								
Σy_1	0.00	0.00	-90.04 0.00	0.00 -96.63	-22.08 0.00	-0.11	-0.40 -21.84	-0.10
-0.64								
Σx_2	0.00	0.00	-59.38	0.00	-10.53	0.36	-0.16	

				0.00	-62.53	0.00	-10.46	0.39	-0.15		
Σy_2		0.00		0.00	-184.06	0.00	-44.57	-0.24	-0.75		
					0.00	-197.37	0.00	-44.12	-0.23		
-1.19											
17 o	1	17	G	0.00	0.00	6.71	0.00	466.76	-0.01		
22.65					0.00	517.45	0.00	-216.82	0.08		
19.99			Q	0.00	0.00	13.25	0.00	47.56	-0.00		
4.16					0.00	-78.58	0.00	-90.64	0.03		
4.30											
Σx_1		0.00		0.00	-0.16	0.00	0.23	-1.28	-0.00		
					0.00	1.20	0.00	0.41	0.74		
-0.01											
Σy_1		0.00		0.00	62.33	0.00	-92.46	0.09	0.47		
					0.00	-370.43	0.00	-104.08	0.00		
-0.05											
Σx_2		0.00		0.00	0.16	0.00	-0.37	-1.23	0.00		
					0.00	-1.60	0.00	-0.47	0.50		
0.00											
Σy_2		0.00		0.00	62.35	0.00	-92.51	-0.09	0.47		
					0.00	-370.62	0.00	-104.12	-0.00		
-0.05											
18 o	1	18	G	0.00	0.00	-39.08	0.00	412.93	-0.08		
19.99					0.00	98.29	0.00	-377.95	0.01		
23.31			Q	0.00	0.00	-159.77	0.00	118.20	-0.03		
4.30					0.00	29.88	0.00	-40.91	0.00		
4.24											
Σx_1		0.00		0.00	-1.22	0.00	0.17	-0.74	-0.01		
					0.00	0.21	0.00	0.43	1.27		
-0.01											
Σy_1		0.00		0.00	392.01	0.00	-99.34	-0.00	-0.05		
					0.00	-65.33	0.00	-84.18	0.09		
-0.37											
Σx_2		0.00		0.00	0.82	0.00	-0.11	-0.50	0.00		
					0.00	-0.18	0.00	-0.30	1.27		
0.01											
Σy_2		0.00		0.00	392.21	0.00	-99.38	0.00	-0.05		
					0.00	-65.35	0.00	-84.23	-0.09		
-0.37											
19 K	2	1	G	-569.83	-8.02	2.44	2.99	-0.39	-0.00		
	3.93			0.90	2.99	-0.39	-0.00				
			Q	-124.96	-3.90	1.16	1.45		-0.18	-0.00	
					1.91	0.43	1.45		-0.18	-0.00	
Σx_1		0.76		0.09	2.08	-0.01	290.24	0.38			
					0.05	1163.04	-0.01	290.24	0.38		
Σy_1		15.39		23.82	3.44	-12.15	-25.84	0.04			
					-24.77	-99.91	-12.15	-25.84	0.04		

Statics 2017

34

Σx_2	-0.81	-0.10	-9.38	0.01	273.50	-0.26		
			-0.05	1084.61	0.01	273.50	-0.26	
Σy_2	15.39	23.82	-3.46	-12.15	25.88	-0.04		
			-24.78	100.05	-12.15	25.88	-0.04	
20 K 2 2 G	-585.96		7.89	2.44	-2.94	-0.38	0.00	
			-3.88	0.94	-2.94	-0.38	0.00	
		Q	-132.64	3.84	1.16	-1.43	-0.18	0.00
				-1.89	0.45	-1.43	-0.18	0.00
Σx_1	0.82	-0.25	2.71	0.09	277.22	-0.39		
		0.12	1111.60	0.09	277.22	-0.39		
Σy_1	-15.41	23.89	-3.45	-12.18	25.84	0.04		
			-24.84	99.92	-12.18	25.84	0.04	
Σx_2	-0.88	0.28	-10.11	-0.10	287.82	0.27		
			-0.13	1141.16	-0.10	287.82	0.27	
Σy_2	-15.41	23.89	3.46	-12.18	-25.88	-0.04		
			-24.85	-100.06	-12.18	-25.88	-0.04	
21 K 2 3 G	-339.04		-0.19	11.85	-0.02	-4.42	-0.00	
			-0.28	-5.81	-0.02	-4.42	-0.00	
		Q	-86.99	-0.09	5.65	-0.01	-2.11	-0.00
	-0.13	-2.77	-0.01	-2.11	-0.00			
Σx_1	-0.48	-0.08	8.42	0.49	-4.42	-0.00		
			1.88	-9.26	0.49	-4.42	-0.00	
Σy_1	0.00	14.28	-0.00	-195.91	0.00	-0.00		
			-769.35	0.00	-195.91	0.00	-0.00	
Σx_2	3.78	0.11	-23.45	-0.84	12.16	0.00		
			-3.25	25.19	-0.84	12.16	0.00	
Σy_2	0.00	6.15	-0.01	-104.35	0.00	-0.03		
			-411.26	0.01	-104.35	0.00	-0.03	
22 K 2 4 G	-336.55		-0.19	-11.21	-0.02	4.17	0.00	
			-0.28	5.48	-0.02	4.17	0.00	
		Q	-85.81	-0.09	-5.35	-0.01	1.99	0.00
			-0.13	2.62	-0.01	1.99	0.00	
Σx_1	-1.73	0.15	-7.87	-1.13	4.06	-0.00		
			-4.37	8.36	-1.13	4.06	-0.00	
Σy_1	0.00	6.18	0.01	-104.68	-0.00	0.03		
			-412.53	-0.01	-104.68	-0.00	0.03	
Σx_2	-1.42	-0.18	-6.00	1.52	3.08	0.00		
			5.90	6.32	1.52	3.08	0.00	
Σy_2	0.00	14.31	0.00	-196.22	-0.00	0.00		
			-770.56	-0.00	-196.22	-0.00	0.00	
23 K 2 5 G	-646.56		-0.61	0.27	-0.00	-0.10	0.00	
			-0.63	-0.14	-0.00	-0.10	0.00	
		Q	-238.77	-0.29	0.13	-0.00	-0.05	0.00
			-0.30	-0.07	-0.00	-0.05	0.00	
Σx_1	0.55	-0.17	-13.60	0.56	6.94	-0.00		
			2.07	14.14	0.56	6.94	-0.00	
Σy_1	0.01	74.71	0.00	-250.70	-0.00	0.01		
			-928.07	-0.00	-250.70	-0.00	0.01	
Σx_2	-0.60	0.18	-0.46	-0.60	0.31	0.00		
			-2.20	0.76	-0.60	0.31	0.00	
Σy_2	0.01	74.71	-0.00	-250.71	0.00	-0.01		
			-928.12	0.00	-250.71	0.00	-0.01	
24 K 2 6 G	-222.32		-0.00	1.09	-0.00	-0.41	-0.00	
			-0.00	-0.53	-0.00	-0.41	-0.00	
		Q	-101.06	-0.00	0.52	-0.00	-0.19	-0.00
			-0.00	-0.25	-0.00	-0.19	-0.00	
Σx_1	0.08	0.00	-2.83	-0.01	1.58	-0.00		
			-0.02	3.48	-0.01	1.58	-0.00	
Σy_1	0.00	0.17	-0.00	-0.24	0.00	-0.00		
			-0.80	0.00	-0.24	0.00	-0.00	
Σx_2	-0.09	-0.00	1.77	0.00	-1.00	0.00		
			0.01	-2.22	0.00	-1.00	0.00	
Σy_2	-0.00	0.15	-0.00	-0.21	0.00	-0.00		
			-0.70	0.00	-0.21	0.00	-0.00	
25 K 2 7 G	-224.07		-0.00	-4.06	-0.00	1.51	0.00	

		-0.00	1.98	-0.00	1.51	0.00
	Q	-101.89	-0.00	-1.93	-0.00	0.72
		-0.00	0.94	-0.00	0.72	0.00
Σx_1	0.02	-0.00	-0.83	0.00	0.45	-0.00
			0.00	0.99	0.00	0.45
Σy_1	-0.00	0.15	0.00	-0.21	-0.00	0.00
			-0.70	-0.00	-0.21	-0.00
Σx_2	0.01	-0.00	-0.38	0.00	0.21	0.00
			0.00	0.45	0.00	0.21
Σy_2	0.00	0.17	0.00	-0.24	-0.00	0.00
		-0.80	-0.00	-0.24	-0.00	0.00

Statics 2017

36

26	D	2	1	G	-0.84	-0.02	-84.79	0.01	108.01	0.00
					0.01	-78.78	0.01	-105.40	0.00	
				Q	-0.40	-0.01	-40.37	0.00	51.43	0.00
					0.00	-37.53	0.00	-50.20	0.00	
Σx_1		1040.47			-1.58	0.54	1.61	-0.41	0.00	
						5.81	-1.36	1.61	-0.41	0.00
Σy_1		-0.03		-75.70		0.00	28.10	-0.00	0.09	
						53.57	-0.00	28.10	-0.00	0.09
Σx_2		-1079.79		0.99		-0.12	-1.32	0.20	-0.00	
						-5.10	0.82	-1.32	0.20	-0.00
Σy_2		0.09		-106.76		0.00	36.86	-0.00	0.08	
						62.81	-0.00	36.86	-0.00	0.08
27	D	2	2	G	-0.84	0.01	-79.87	0.00	106.80	0.00
					0.01	-90.34	0.00	-111.25	0.00	
				Q	-0.40	0.00	-38.05	0.00	50.86	0.00
					0.00	-43.00	0.00	-52.97	0.00	
Σx_1		-533.35			5.81	1.47	-2.83	-0.49	-0.00	
					-7.51	-0.82	-2.83	-0.49	-0.00	
Σy_1		-0.08		53.57	0.00	-13.70	-0.00	-13.70	-0.00	-0.08
						-10.82	-0.00	-13.70	-0.00	-0.08
Σx_2		550.37		-5.10		-0.95	2.62	0.29	0.00	
						7.22	0.42	2.62	0.29	0.00
Σy_2		-0.19		62.80		0.00	-10.66	-0.00	-0.07	
						12.69	-0.00	-10.66	-0.00	-0.07
28	D	2	3	G	-1.23	0.00	-97.34	0.00	115.74	-0.00
					0.01	-82.65	0.00	-109.68	-0.00	
				Q	-0.59	0.00	-46.34	0.00	55.11	-0.00
		0.01		-39.37	0.00	-52.23	-0.00			
Σx_1		-55.69			1.77	0.28	-0.53	-0.14	-0.00	
						-0.78	-0.40	-0.53	-0.14	-0.00
Σy_1		-0.19		11.99		-0.00	10.34	0.00	0.06	
						62.14	0.00	10.34	0.00	0.06
Σx_2		79.69		-1.15		0.14	0.19	-0.07	-0.00	
						-0.22	-0.18	0.19	-0.07	-0.00
Σy_2		-0.07		-11.19		-0.00	13.35	0.00	0.08	
						53.54	0.00	13.35	0.00	0.08
29	D	2	4	G	-0.35	0.01	-78.59	-0.01	104.26	-0.00
					0.02	-79.99	-0.01	-104.89	-0.00	
				Q	-0.17	0.01	-37.44	-0.00	49.65	-0.00
					0.01	-38.08	-0.00	-49.94	-0.00	
Σx_1		-59.20			-0.78	0.43	-0.12	-0.16	0.00	
						-1.31	-0.29	-0.12	-0.16	0.00
Σy_1		0.09		62.15		-0.00	-37.71	0.00	-0.08	
						-107.53	0.00	-37.71	0.00	-0.08
Σx_2		28.29		-0.22		0.19	0.51	-0.08	0.00	
						2.06	-0.15	0.51	-0.08	0.00
Σy_2		-0.04		53.54		-0.00	-28.91	0.00	-0.09	
						-76.54	0.00	-28.91	0.00	-0.09
30	o	1	14	G	0.00	0.00	93.35	0.00	128.21	0.11
31.83						0.00	82.74	0.00	-147.36	0.34
43.67				Q	0.00	0.00	-16.69	0.00	27.68	0.04
5.39						0.00	11.76	0.00	-17.59	0.03
6.90						0.00				
Σx_1		0.00		0.00	85.71	0.00	-16.19	-0.10	0.22	
					0.00	-0.06	0.00	-21.47	-0.10	
1.50				Σy_1	0.00	227.56	0.00	-58.92	-0.03	-1.19
					0.00	0.10	0.00	-31.35	-0.15	
-5.54				Σx_2	0.00	94.54	0.00	-18.58	-0.24	0.13
					0.00	-0.06	-22.64	-0.11	1.29	
				Σy_2	0.00	110.48	0.00	-29.22	-0.01	-0.64

-3.08				0.00	0.06	0.00	-14.19	-0.06
31 o	1	16	G	0.00	0.00	95.80	0.00	127.36
31.73					0.00	82.74	0.00	-147.58
43.61					Q	0.00	0.00	-0.35
5.34						0.00	-15.37	0.00
6.86						0.00	27.23	-0.04
Σx_1				0.00	0.00	-86.01	0.00	-17.70
						0.00	16.43	-0.17
						0.06	0.00	-0.18
-1.44							21.33	-0.10
Σy_1				0.00	0.00	111.03	0.00	-0.64
						0.00	-29.35	0.01
-3.08						0.06	0.00	-14.28
Σx_2				0.00	0.00	-92.19	0.00	0.06
						0.00	18.04	-0.15
						0.06	0.00	22.17
-1.29								-0.11
Σy_2				0.00	0.00	227.91	0.00	-1.19
						0.00	-59.03	0.03
-5.55						0.10	0.00	-31.38
32 o	1	-3	G	0.00	0.00	-123.13	0.00	0.15
8.17								
10.90						0.00	-281.55	0.00
						0.00	-20.44	-336.46
1.28					Q	0.00	0.00	37.42
						0.00	-53.85	0.00
1.85							-57.83	-1.65

Statics 2017

38

Σx_1	0.00	0.00	-4.21 0.00	0.00 17.99	12.17 0.00	25.43 0.72	0.39 25.88
0.08							
Σy_1	0.00	0.00	-14.91 0.00	0.00 -60.12	13.58 0.00	-10.59 -16.77	1.21 -3.40
-0.41							
Σx_2	0.00	0.00	-4.59 0.00	0.00 17.69	12.71 0.00	36.10 0.95	0.42 47.17
0.05							
Σy_2	0.00	0.00	-8.25 0.00	0.00 -29.48	8.38 0.00	-3.02 -8.47	0.68 -1.15
-0.22							
33 o 8.14	1	-4	G	0.00	0.00	-122.68 -280.04	0.00 0.00
10.87						-335.28 3.35	
1.27			Q	0.00	0.00	-20.25	0.00 37.17 -4.88
Σx_1	0.00	0.00	-53.12 4.16 0.00	0.00 -18.97	-57.27 -12.24 0.00	1.76 31.49 -1.24	1.83 -0.39 37.13
-0.06							
Σy_1	0.00	0.00	-8.27 0.00	0.00 -29.62	8.38 0.00	3.04 -8.51	0.68 1.15
-0.22							
Σx_2	0.00	0.00	4.45 0.00	0.00 -16.47	-12.20 0.00	29.68 -0.64	-0.41 35.11
-0.05							
Σy_2	0.00	0.00	-14.95 0.00	0.00 -60.23	13.63 0.00	10.61 -16.80	1.21 3.40
-0.41							
34 A 95.12	2	-1	G	-1.26	-2.06 1.14	36.52 -13.45	0.34 0.34
					-0.98 0.55	17.38 -6.37	-5.36 -5.36
			Q	-0.60	0.34 -1.61	0.16 -2.55	-1.52 -1.52
					-0.16 0.55	-2.55 -0.64	
Σx_1	218.65	289.61	-4.45 78.97	-22.59 -0.38	0.44 -22.59	0.49 0.44	0.49
Σy_1	-21.88 6.14	-63.74 17.04	-5.05 1.20	17.04 -1.61	1.20	-1.61	
Σx_2	-304.02	-434.68	11.74 61.15	53.17 -6.71	-1.98 53.17	-3.07 -1.98	-3.07
Σy_2	-31.77	-94.10	-2.90 122.80	23.26 3.33	0.67 23.26	-0.01 0.67	
35 A 36 A	2	-3	G	-0.34	2.06 -3.80	-1.26 -1.26	5.36 5.36
					0.98 -1.81	-0.60 11.20	-36.52 -36.52
			Q	-0.16	-0.64 -1.81	2.55 -0.60	-17.38 2.55
					11.20	2.55	-17.38
Σx_1	22.59	-289.61	0.49 727.10	218.65 -1.54	-0.44 218.65	4.45 -0.44	4.45
Σy_1	-17.04	63.74	-1.61 -37.99	-21.88 -7.19	-1.20 -21.88	5.05 -1.20	5.05
Σx_2	-53.17	434.68	-3.07 -979.01	-304.02 6.14	1.98 -304.02	-11.74 1.98	-11.74
Σy_2	-23.26	94.10	-0.01 -53.65	-31.77 -3.12	-0.67 -31.77	2.90 -0.67	
36 A	2	-1	G	-1.37	2.25 -1.40	34.44 -12.52	0.98 -5.04
					1.08 -0.67	-0.19 -5.93	0.98 0.98
			Q	-0.65	-0.67 1.08	-2.39 -0.19	-5.04 -2.39
					-5.93	-2.39	0.38
Σx_1	64.15	-143.51	-3.83 287.58	46.23 3.63	0.80 46.23	-1.05 0.80	-1.05
Σy_1	-31.82 -122.57	93.93 3.34	-2.91 -23.22	-23.22 0.67	0.67 0.02	0.02	
Σx_2	1.19	29.06	-2.88 -162.13	-20.50 3.23	0.65 -20.50	-1.42 0.65	-1.42

$\Sigma y2$	-21.94	63.61	-5.06	-17.00	1.20	1.61		
			-94.94	6.15	-17.00	1.20	1.61	
37 A 2 -4 G		-0.39	-2.25	-0.98	1.37	5.04	34.44	
			4.10	22.44	1.37	5.04	34.44	
	Q	-0.19	-1.08	-0.38	0.65	2.39	16.39	
			1.95	10.75	0.65	2.39	16.39	
$\Sigma x1$	46.23	143.51	1.05	-64.15	-0.80	-3.83		
			-154.79	-2.67	-64.15	-0.80	-3.83	
$\Sigma y1$	-23.22	-93.93	-0.02	31.82	-0.67	-2.91		
			54.03	-3.14	31.82	-0.67	-2.91	
$\Sigma x2$	-20.50	-29.06	1.42	-1.19	-0.65	-2.88		
			-34.61	-1.63	-1.19	-0.65	-2.88	
$\Sigma y2$	-17.00	-63.61	-1.61	21.94	-1.20	-5.06		
			38.40	-7.20	21.94	-1.20	-5.06	
38 A 2 -5 G		-1.41	-0.26	-5.51	0.14	6.82	-3.37	
			0.37	26.19	0.14	6.82	-3.37	
	Q	-0.70	-0.12	-2.88	0.06	3.40	-1.60	
			0.18	12.94	0.06	3.40	-1.60	
$\Sigma x1$	5.88	366.94	-1.45	-222.17	0.48	-6.08		
			-666.13	0.77	-222.17	0.48	-6.08	
$\Sigma y1$	-45.18	-27.40	25.45	8.38	-13.52	-0.65		
		11.55	-37.42	8.38	-13.52	-0.65		

Statics 2017

40

Σx_2	-6.06	-101.24	1.55	87.16	-0.51	-0.56		
	304.06	-0.82	87.16	-0.51	-0.56			
Σy_2	-45.20	27.82	25.45	-8.58	-13.52	0.65		
			-12.10	-37.42	-8.58	-13.52	0.65	
39 A 2 -2	G	-1.24	2.01	36.42	-0.33	-5.34	1.61	
			-1.07	-13.33	-0.33	-5.34	1.61	
	Q	-0.59	0.96	17.33	-0.16	-2.54	0.68	
			-0.52	-6.31	-0.16	-2.54	0.68	
Σx_1	217.51	-282.73	-4.51	21.01	0.46	-0.51		
			-86.81	-0.24	21.01	0.46	-0.51	
Σy_1	21.90	-64.13	5.05	17.16	-1.20	-1.60		
			95.87	-6.15	17.16	-1.20	-1.60	
Σx_2	-302.69	427.52	11.82	-51.54	-2.01	3.07		
			-53.12	-6.88	-51.54	-2.01	3.07	
Σy_2	31.69	-94.29	2.91	23.34	-0.67	-0.00		
			123.33	-3.34	23.34	-0.67	-0.00	
40 A 2 -3	G	-0.33	-2.01	-1.61	1.24	5.34	36.42	
			3.77	23.20	1.24	5.34	36.42	
	Q	-0.16	-0.96	-0.68	0.59	2.54	17.33	
			1.80	11.11	0.59	2.54	17.33	
Σx_1	21.01	282.73	0.51	-217.51	-0.46	-4.51		
			-728.67	-1.62	-217.51	-0.46	-4.51	
Σy_1	17.16	64.13	1.60	-21.90	1.20	5.05		
			-37.72	7.18	-21.90	1.20	5.05	
Σx_2	-51.54	-427.52	-3.07	302.69	2.01	11.82		
		980.00	6.25	302.69	2.01	11.82		
Σy_2	23.34	94.29	0.00	-31.69	0.67	2.91		
			-53.07	3.12	-31.69	0.67	2.91	
41 A 2 -2	G	-1.35	-2.21	34.34	0.38	-5.01	-1.07	
			1.34	-12.41	0.38	-5.01	-1.07	
	Q	-0.65	-1.06	16.34	0.18	-2.38	-0.42	
			0.64	-5.87	0.18	-2.38	-0.42	
Σx_1	65.22	147.17	-3.75	-46.95	0.77	1.08		
			-290.62	3.47	-46.95	0.77	1.08	
Σy_1	31.74	94.12	2.91	-23.30	-0.67	0.01		
-123.11	-3.35	-23.30	-0.67	0.01				
Σx_2	-0.06	-32.80	-2.98	21.22	0.69	1.38		
			165.05	3.42	21.22	0.69	1.38	
Σy_2	21.97	64.00	5.06	-17.13	-1.20	1.60		
			-95.70	-6.15	-17.13	-1.20	1.60	
42 A 2 -4	G	-0.38	2.21	-1.07	-1.35	5.01	-34.34	
			-4.08	22.24	-1.35	5.01	-34.34	
	Q	-0.18	1.06	-0.42	-0.65	2.38	-16.34	
			-1.94	10.66	-0.65	2.38	-16.34	
Σx_1	46.95	-147.17	1.08	65.22	-0.77	3.75		
			156.10	-2.52	65.22	-0.77	3.75	
Σy_1	23.30	-94.12	0.01	31.74	0.67	-2.91		
			53.46	3.13	31.74	0.67	-2.91	
Σx_2	-21.22	32.80	1.38	-0.06	-0.69	2.98		
			32.54	-1.81	-0.06	-0.69	2.98	
Σy_2	17.13	-64.00	1.60	21.97	1.20	-5.06		
			38.14	7.19	21.97	1.20	-5.06	
43 A 2 -5	G	-1.41	0.27	-5.21	-0.14	6.62	3.37	
			-0.38	25.58	-0.14	6.62	3.37	
	Q	-0.70	0.13	-2.74	-0.07	3.31	1.60	
			-0.18	12.65	-0.07	3.31	1.60	
Σx_1	3.01	-377.83	-1.33	226.51	0.41	6.42		
			675.42	0.60	226.51	0.41	6.42	
Σy_1	48.40	-27.19	-25.49	8.27	13.53	-0.65		
	11.25	37.44	8.27	13.53	-0.65			
Σx_2	-3.03	112.19	1.42	-91.32	-0.44	0.19		
			-312.43	-0.64	-91.32	-0.44	0.19	
Σy_2	48.43	27.58	-25.49	-8.46	13.53	0.65		
			-11.77	37.44	-8.46	13.53	0.65	
44 X 2 1	G	-0.29	0.00	-0.00	-0.00	0.00	-0.00	

			-0.00	0.00	-0.00	0.00	-0.00	
		Q	-0.14	0.00	-0.00	-0.00	0.00	0.00
				-0.00	0.00	-0.00	0.00	-0.00
Σx_1	-192.53	0.00	-0.00	-0.00	0.00	-0.00	0.00	-0.00
				-0.00	0.00	-0.00	0.00	-0.00
Σy_1	3.82	0.00	0.00	-0.00	-0.00	-0.00	-0.00	-0.00
				-0.00	-0.00	-0.00	-0.00	-0.00
Σx_2	174.63	-0.00	0.00	0.00	-0.00	-0.00	0.00	0.00
				0.00	-0.00	0.00	-0.00	0.00
Σy_2	0.06	0.00	0.00	-0.00	-0.00	-0.00	-0.00	-0.00
				-0.00	-0.00	-0.00	-0.00	-0.00

Statics 2017

42

	45	X	2	1	G	-0.36	0.00	-0.00	-0.00	0.00	-0.00
							-0.00	0.00	-0.00	0.00	-0.00
					Q	-0.17	0.00	-0.00	-0.00	0.00	-0.00
							-0.00	0.00	-0.00	0.00	-0.00
Σx_1				65.08		-0.00	0.00	0.00	-0.00	0.00	
							0.00	-0.00	0.00	-0.00	0.00
Σy_1				-8.24		-0.00	0.00	0.00	-0.00	-0.00	
							0.00	-0.00	0.00	-0.00	-0.00
Σx_2				-86.61		0.00	-0.00	-0.00	0.00	-0.00	
						-0.00	0.00	-0.00	0.00	-0.00	
Σy_2				-13.48		-0.00	0.00	0.00	-0.00	-0.00	
							0.00	-0.00	0.00	-0.00	-0.00
	46	X	2	3	G	-0.43	-0.00	0.00	0.00	-0.00	0.00
							0.00	-0.00	0.00	-0.00	0.00
					Q	-0.21	-0.00	0.00	0.00	-0.00	0.00
							0.00	-0.00	0.00	-0.00	0.00
Σx_1				125.69		0.00	-0.00	-0.00	0.00	-0.00	
							-0.00	-0.00	-0.00	0.00	-0.00
Σy_1				-0.03		-0.00	0.00	0.00	-0.00	0.00	
							0.00	-0.00	0.00	-0.00	0.00
Σx_2				-131.25		-0.00	0.00	0.00	-0.00	-0.00	
							0.00	-0.00	0.00	-0.00	-0.00
Σy_2				-0.03		-0.00	0.00	0.00	-0.00	0.00	
							0.00	-0.00	0.00	-0.00	0.00
	47	X	2	6	G	-0.27	-0.00	0.00	0.00	-0.00	0.00
							0.00	-0.00	0.00	-0.00	0.00
					Q	-0.13	-0.00	0.00	0.00	-0.00	0.00
							0.00	-0.00	0.00	-0.00	0.00
Σx_1				-174.13		-0.00	0.00	0.00	-0.00	0.00	
							0.00	-0.00	0.00	-0.00	0.00
Σy_1				-4.00		0.00	0.00	-0.00	-0.00	-0.00	
							0.00	-0.00	-0.00	-0.00	-0.00
Σx_2				158.05		0.00	-0.00	-0.00	0.00	-0.00	
						-0.00	0.00	-0.00	0.00	-0.00	
Σy_2				0.35		0.00	0.00	-0.00	-0.00	-0.00	
							-0.00	-0.00	-0.00	-0.00	-0.00
	48	X	2	3	G	-0.36	-0.00	0.00	0.00	-0.00	0.00
							0.00	-0.00	0.00	-0.00	0.00
					Q	-0.17	-0.00	0.00	0.00	-0.00	0.00
							0.00	-0.00	0.00	-0.00	0.00
Σx_1				63.92		0.00	-0.00	-0.00	0.00	-0.00	
							-0.00	0.00	-0.00	0.00	-0.00
Σy_1				8.29		-0.00	0.00	0.00	-0.00	-0.00	
							0.00	-0.00	0.00	-0.00	-0.00
Σx_2				-85.41		-0.00	0.00	0.00	-0.00	0.00	
							0.00	-0.00	0.00	-0.00	0.00
Σy_2				13.50		-0.00	0.00	0.00	-0.00	-0.00	
							0.00	-0.00	0.00	-0.00	-0.00
	49	X	2	1	G	-0.46	-0.00	-0.00	0.00	0.00	0.00
							0.00	0.00	0.00	0.00	0.00
					Q	-0.22	-0.00	-0.00	0.00	0.00	0.00
							0.00	0.00	0.00	0.00	0.00
Σx_1				31.74		-0.00	0.00	0.00	-0.00	-0.00	
							-0.00	-0.00	0.00	-0.00	-0.00
Σy_1				-0.08		-0.00	0.00	0.00	-0.00	0.00	
							0.00	-0.00	0.00	-0.00	0.00
Σx_2				-2.47		0.00	0.00	-0.00	-0.00	-0.00	
							-0.00	-0.00	-0.00	-0.00	-0.00
Σy_2				3.76		-0.00	0.00	0.00	-0.00	0.00	
							0.00	-0.00	0.00	-0.00	0.00
	50	X	2	4	G	-0.41	0.00	0.00	-0.00	-0.00	0.00
							-0.00	-0.00	-0.00	-0.00	0.00
					Q	-0.20	0.00	0.00	-0.00	-0.00	0.00
							-0.00	-0.00	-0.00	-0.00	-0.00
Σx_1				-29.43		0.00	-0.00	-0.00	0.00	0.00	

			-0.00	0.00	-0.00	0.00	0.00
Σy_1	-0.03	0.00	0.00	-0.00	-0.00	-0.00	
	-0.00	-0.00	-0.00	-0.00	-0.00		
Σx_2	28.18	-0.00	-0.00	0.00	0.00	-0.00	
			0.00	0.00	0.00	0.00	-0.00
Σy_2	-0.03	0.00	0.00	-0.00	-0.00	-0.00	
			-0.00	-0.00	-0.00	-0.00	-0.00
51 X 2 1 G	-0.39		-0.00	-0.00	0.00	0.00	0.00
			0.00	0.00	0.00	0.00	0.00
Q	-0.19	-0.00	-0.00	0.00	0.00	0.00	0.00
			0.00	0.00	0.00	0.00	0.00

Statics 2017

44

Σx_1	12.14	-0.00	0.00	0.00	-0.00	-0.00	
			0.00	-0.00	0.00	-0.00	-0.00
Σy_1	-13.45	0.00	0.00	-0.00	-0.00	0.00	
			-0.00	-0.00	-0.00	-0.00	0.00
Σx_2	3.93	0.00	0.00	-0.00	-0.00	-0.00	
			-0.00	-0.00	-0.00	-0.00	-0.00
Σy_2	-8.22	0.00	0.00	-0.00	-0.00	0.00	
			-0.00	-0.00	-0.00	-0.00	0.00
52 X 2 7 G		-0.41	0.00	0.00	-0.00	-0.00	-0.00
			-0.00	-0.00	-0.00	-0.00	-0.00
		Q	-0.20	0.00	0.00	-0.00	-0.00
			-0.00	-0.00	-0.00	-0.00	-0.00
Σx_1	29.10	-0.00	-0.00	-0.00	0.00	0.00	
			-0.00	0.00	-0.00	0.00	0.00
Σy_1	0.49	-0.00	0.00	0.00	-0.00	0.00	
			0.00	-0.00	0.00	-0.00	0.00
Σx_2	-2.75	-0.00	-0.00	0.00	0.00	0.00	
	0.00	0.00	0.00	0.00	0.00		
Σy_2	-3.96	-0.00	0.00	0.00	-0.00	0.00	
			0.00	-0.00	0.00	-0.00	0.00
53 X 2 4 G		-0.38	0.00	0.00	-0.00	-0.00	-0.00
			-0.00	-0.00	-0.00	-0.00	-0.00
		Q	-0.18	0.00	0.00	-0.00	-0.00
			-0.00	-0.00	-0.00	-0.00	-0.00
Σx_1	12.80	0.00	-0.00	-0.00	0.00	0.00	
			-0.00	0.00	-0.00	0.00	0.00
Σy_1	13.46	0.00	0.00	-0.00	-0.00	0.00	
			-0.00	-0.00	-0.00	-0.00	0.00
Σx_2	3.25	-0.00	-0.00	0.00	0.00	0.00	
			0.00	0.00	0.00	0.00	0.00
Σy_2	8.26	0.00	0.00	-0.00	-0.00	0.00	
			-0.00	-0.00	-0.00	-0.00	0.00

ΣΤΟΙΧΕΙΑ ΣΤΑΘΜΩΝ ΑΠΟ ΑΝΑΛΥΣΗ ΜΕ ΤΗΝ ΑΠΛΟΠΟΙΗΜΕΝΗ ΦΑΣΜΑΤΙΚΗ ΜΕΘΟΔΟ

$\alpha=0.24 \ g=9.81 \ \gamma I=1.00 \ \beta o=2.50 \ q=3.50 \ \theta=1.00 \ T1=0.15 \ T2=0.60$
 $Tx=0.04sec \ Ty=0.10sec \ Rdx=1.682 \ Rdy=1.682$
 Θέση γενικού πόλου περιστροφής Po: $x=6.39 \ y=4.97$

Στάθμη 2

$h=4.00m \ Lx=19.00m \ Ly=9.65m \ \psi=0.50$
 $W_{μov}=2924.34 \ KN, \ W_{κλv}=872.12 \ KN$
 $M=343 \ Jm=13528 \ Hx=576 \ Vx=576 \ Hy=576 \ Vy=576$
 $dx=-0.05 \ 0.07 \ dy=0.01 \ 0.04 \ \Delta x/h*q/2.5=0.02 < 5 \ \Delta y/h*q/2.5=0.01 < 5$
 $KB=(9.50, 4.84) \ KEΣ=(9.50, 4.61) \ x1=7.60 \ x2=11.40 \ y1=3.87 \ y2=5.80$
 $uxx=0.02mm \ uyx=0.00mm \ uxy=0.00mm \ uyy=0.02mm$
 $\epsilon\varphi 2\alpha = 2*uxy/(uxx-uyy) = 0.00 =>\alpha=0.005^\circ$
 $\theta z_x = 0.0012^\circ \ \theta z_y = 0.0002^\circ \ r = \sqrt{Jm/M} = 6.284m \ eox = 3.10m \ eoy = 0.14m$
 $\rho x = \sqrt{10*uyy/\theta z_y} = 3.020m, \ \rho mx = \sqrt{\rho x^2+eox^2} = 4.331m < r$
 $=>ΕΥΣΤΡΕΠΤΟ$
 $\rho y = \sqrt{10*uxx/\theta z_x} = 8.069m, \ \rho my = \sqrt{\rho y^2+eoy^2} = 8.071m > r =>$
 OK

Αναλυτικός υπολογισμός τισοδύναμων στατικών εκκεντροτήτων

Διεύθυνση x-x

$\epsilon o = eo/r = 0.49m, \ \mu = \rho/r = 0.48 => \theta = 58.99^\circ$
 $A1 = 1-\epsilon o*\epsilon\varphi\theta = -4.17 \ A2 = 1+\epsilon o*\sigma\varphi\theta = 2.87$
 $lr = Lr/r = 6.22 \ \delta r1 = \sigma\varphi\theta-lr = -0.39 \ \delta r2 = \epsilon\varphi\theta+lr = 2.65$
 $r12 = \sqrt{A2/A1} = 0.829 \ e12 = 0.221$
 $Rf = 0.167 \ Dr = 0.402$
 $ef = \max(\rho^2/r*Rf, eo) = \max(0.24, 3.10) = 3.10$
 $er = \min(\rho^2/r*(1-Dr)/(lr-eo), 1/2*eo) = \min(1.75, 1.55) = 1.55$
 Διεύθυνση y-y
 $\epsilon o = eo/r = 0.02m, \ \mu = \rho/r = 1.28 => \theta = 1.90^\circ$
 $A1 = 1-\epsilon o*\epsilon\varphi\theta = 1.00 \ A2 = 1+\epsilon o*\sigma\varphi\theta = 5.08$
 $lr = Lr/r = 0.45 \ \delta r1 = \sigma\varphi\theta-lr = 30.05 \ \delta r2 = \epsilon\varphi\theta+lr = 0.10$
 $r12 = \sqrt{A2/A1} = 2.260 \ e12 = 0.013$
 $Rf = 0.034 \ Dr = 1.001$
 $ef = \max(\rho^2/r*Rf, eo) = \max(0.35, 0.14) = 0.35$
 $er = \min(\rho^2/r*(1-Dr)/(lr-eo), 1/2*eo) = \min(-0.22, 0.07) = -0.22$

Συνολική Μάζα Κατασκευής υπερκείμενη του εδάφους $Mo = 342.55 \ Mg$
 Σεισμικές τέμνουσες στη βάση (Στάθμη 2): $Vx = 576.07 \ KN, \ Vy = 576.07 \ KN$

Αντισεισμικός Αριθμός: $x=0.0cm \ y=0.0cm$

ΕΝΤΑΤΙΚΑ ΜΕΓΕΘΗ ΔΟΚΩΝ

ΣΤΑΘΜΗ 1

ΣΤ s2	ΔOK	Len	TΦ	My1	My2	Mmax	Vy1	Vy2	Στρέψη	s1
1 4.2	1-1	2.30	G	6.8	36.4	48.0	125.1	-65.6	-1.4	10.7
			Q	6.8	2.5	16.8	21.6	-25.7	-0.2	1.8
1.9			Σx1	0.2	0.1		0.8	-0.6	0.0	0.1
0.0			Σy1	0.3	-1.1		-3.0	0.5	1.1	-0.3
-0.0			Σx2	0.5	0.2		0.2	-0.2	0.1	0.1
-0.0			Σy2	0.1	-0.6		-1.6	0.3	0.6	-0.1
1 7.4	1-5	2.30	G	36.4	-98.2	36.4	18.3	-154.3	-0.0	4.2
3.6			Q	2.5	-47.0	2.5	16.2	-69.1	-0.0	1.9
-0.0			Σx1	0.1	-2.3		-0.6	-1.3	0.0	0.0
0.0			Σy1	-1.1	-0.0		0.5	0.3	0.0	-0.0
-0.0			Σx2	0.2	0.1		-0.2	0.3	0.0	-0.0
0.0			Σy2	-0.6	-0.0		0.3	0.1	0.0	-0.0
1 7.4	2-2	2.35	G	-97.2	45.8	45.8	170.6	-46.0	-0.3	7.4
2.5			Q	-46.9	6.6	6.6	73.4	-21.0	-0.1	3.6
0.1			Σx1	4.5	-0.4		-2.5	-2.5	0.0	-0.0
-0.0			Σy1	-0.1	-0.1		0.1	0.0	0.6	0.0
0.1			Σx2	1.5	-0.3		-0.8	-1.4	0.0	-0.0
-0.0			Σy2	-0.1	-0.1		0.0	0.0	0.5	0.0
1 15.1	2-6	2.35	G	45.8	-225.9	45.8	39.7	-316.2	-0.0	7.4
3.2			Q	6.6	-38.7	6.8	21.9	-65.2	0.0	2.5
-0.0			Σx1	-0.4	-12.1		-2.5	-7.2	0.0	0.1
-0.0			Σy1	-0.1	0.7		0.0	0.8	-0.0	-0.0
0.0			Σx2	-0.3	-8.1		-1.4	-4.9	0.0	0.1
-0.0			Σy2	-0.1	0.7		0.0	0.9	-0.0	-0.0
1 7.0	3-3	2.43	G	-226.5	45.5	45.5	316.3	-42.9	-0.3	15.1
2.4			Q	-39.0	6.3	6.7	65.3	-22.5	-0.1	3.2
-0.1			Σx1	12.1	0.2		-7.3	-2.1	-0.0	-0.0
-0.0			Σy1	0.7	-0.1		-0.9	-0.0	0.7	-0.0
-0.1			Σx2	8.1	0.2		-4.8	-1.5	0.0	0.0

-0.0				$\Sigma y2$	0.7	-0.1		-0.8	-0.0	0.7	-0.0
1	3-7	2.42	G	45.5	-99.4	45.5	45.6	-170.5	0.0	7.0	
7.4			Q	6.3	-47.6	6.3	21.7	-73.9	-0.0	2.4	
3.6			$\Sigma x1$	0.2	-3.2		-2.1	-1.6	-0.0	-0.1	
0.0			$\Sigma y1$	-0.1	-0.1		-0.0	-0.0	0.0	-0.0	
0.0			$\Sigma x2$	0.2	-2.7		-1.5	-1.5	0.0	-0.1	
0.0			$\Sigma y2$	-0.1	-0.1		-0.0	-0.1	0.0	-0.0	
0.0	1	4-4	2.25	G	-100.4	37.6	37.6	156.5	-16.4	-0.3	7.4
4.4			Q	-47.7	2.8	2.8	69.6	-15.3	-0.1	3.6	
1.9			$\Sigma x1$	1.2	-0.1		-0.6	-0.4	0.0	0.0	
-0.0			$\Sigma y1$	-0.0	-0.6		-0.2	-0.3	0.5	0.0	
-0.0			$\Sigma x2$	1.1	-0.1		-0.5	-0.4	-0.0	0.0	
-0.0			$\Sigma y2$	-0.0	-1.1		-0.3	-0.5	0.6	0.0	
1	1	4-8	2.25	G	37.6	6.3	47.7	65.7	-125.3	0.0	4.4
10.7			Q	2.8	6.6	16.3	25.7	-21.7	0.0	1.9	
1.8			$\Sigma x1$	-0.1	-0.4		-0.4	0.5	0.0	-0.0	
-0.1			$\Sigma y1$	-0.6	0.1		-0.3	1.6	-0.0	-0.0	
-0.1			$\Sigma x2$	-0.1	-0.3		-0.4	0.4	0.0	-0.0	
-0.1			$\Sigma y2$	-1.1	0.3		-0.5	3.0	-0.0	-0.0	
-0.3											

ΣΤΑΘΜΗ 2

ΣT	ΔOK	Len	TΦ	My1	My2	Mmax	Vy1	Vy2	$\Sigma \tau \rho \epsilon \psi \eta$
2	1-1	4.60	G	-84.8	-78.8	40.9	108.0	-105.4	0.0
			Q	-40.4	-37.5	19.5	51.4	-50.2	0.0
$\Sigma x1$	0.5	-1.4		-0.4	-0.4	0.0			
$\Sigma y1$	0.0	-0.0		-0.0	-0.0	0.1			
$\Sigma x2$	-0.1	0.8		0.2	0.2	-0.0			

Σy_2	0.0	-0.0		-0.0	-0.0	0.1				
2	2-2	4.70	G	-79.9	-90.3	43.1	106.8	-111.3	0.0	
Q	-38.0	-43.0		20.5	50.9	-53.0	0.0			
Σx_1	1.5	-0.8		-0.5	-0.5	-0.0				
Σy_1	0.0	-0.0		-0.0	-0.0	-0.1				
Σx_2	-0.9	0.4		0.3	0.3	0.0				
Σy_2	0.0	-0.0		-0.0	-0.0	-0.1				
2	3-3	4.85	G	-97.3	-82.7	46.8	115.7	-109.7	-0.0	
Q				-46.3	-39.4	22.3	55.1	-52.2	-0.0	
Σx_1	0.3	-0.4		-0.1	-0.1	-0.0				
Σy_1	-0.0	0.0		0.0	0.0	0.1				
Σx_2	0.1	-0.2		-0.1	-0.1	-0.0				
Σy_2	-0.0	0.0		0.0	0.0	0.1				
2	4-4	4.50	G	-78.6	-80.0	38.4	104.3	-104.9	-0.0	
Q				-37.4	-38.1	18.3	49.7	-49.9	-0.0	
Σx_1	0.4	-0.3		-0.2	-0.2	0.0				
Σy_1	-0.0	0.0		0.0	0.0	-0.1				
Σx_2	0.2	-0.1		-0.1	-0.1	0.0				
Σy_2	-0.0	0.0		0.0	0.0	-0.1				

Statics 2017
49

ΕΝΤΑΤΙΚΑ ΜΕΓΕΘΗ ΥΠΟΣΤΥΛΩΜΑΤΩΝ

ΣΤΚΟΛΤΦ			N	Mx1	Mx2	My1	My2	VxVyΣτρέψη		
2	1	G	-569.8	-8.0	3.9	2.4	0.9	3.0	-0.4	-0.0
		Q	-125.0	-3.9	1.9	1.2	0.4	1.5	-0.2	-0.0
Σx_1	0.8	0.1	0.1	2.1	1163.0	-0.0	290.2	0.4		
Σy_1	15.4	23.8	-24.8	3.4	-99.9	-12.1	-25.8	0.0		
Σx_2	-0.8	-0.1	-0.1	-9.4	1084.6	0.0	273.5	-0.3		
Σy_2	15.4	23.8	-24.8	-3.5	100.1	-12.1	25.9	-0.0		

ΣΤΚΟΛΤΦ			N	Mx1	Mx2	My1	My2	VxVyΣτρέψη		
2	2	G	-586.0	7.9	-3.9	2.4	0.9	-2.9	-0.4	0.0
		Q	-132.6	3.8	-1.9	1.2	0.4	-1.4	-0.2	0.0
Σx_1	0.8	-0.3	0.1	2.7	1111.6	0.1	277.2	-0.4		
Σy_1	-15.4	23.9	-24.8	-3.4	99.9	-12.2	25.8	0.0		
Σx_2	-0.9	0.3	-0.1	-10.1	1141.2	-0.1	287.8	0.3		
Σy_2	-15.4	23.9	-24.8	3.5	-100.1	-12.2	-25.9	-0.0		

ΣΤΚΟΛΤΦ			N	Mx1	Mx2	My1	My2	VxVyΣτρέψη		
2	3	G	-339.0	-0.2	-0.3	11.9	-5.8	-0.0	-4.4	-0.0
		Q	-87.0	-0.1	-0.1	5.7	-2.8	-0.0	-2.1	-0.0
Σx_1	-0.5	-0.1	1.9	8.4	-9.3	0.5	-4.4	-0.0		
Σy_1	0.0	14.3	-769.4	-0.0	0.0	-195.9	0.0	-0.0		
Σx_2	3.8	0.1	-3.2	-23.4	25.2	-0.8	12.2	0.0		
Σy_2	0.0	6.2	-411.3	-0.0	0.0	-104.4	0.0	-0.0		

ΣΤΚΟΛΤΦ			N	Mx1	Mx2	My1	My2	VxVyΣτρέψη		
2	4	G	-336.6	-0.2	-0.3	-11.2	5.5	-0.0	4.2	0.0
		Q	-85.8	-0.1	-0.1	-5.3	2.6	-0.0	2.0	0.0
Σx_1	-1.7	0.1	-4.4	-7.9	8.4	-1.1	4.1	-0.0		
Σy_1	0.0	6.2	-412.5	0.0	-0.0	-104.7	-0.0	0.0		
Σx_2	-1.4	-0.2	5.9	-6.0	6.3	1.5	3.1	0.0		
Σy_2	0.0	14.3	-770.6	0.0	-0.0	-196.2	-0.0	0.0		

ΣΤΚΟΛΤΦ			N	Mx1	Mx2	My1	My2	VxVyΣτρέψη		
2	5	G	-646.6	-0.6	-0.6	0.3	-0.1	-0.0	-0.1	0.0
		Q	-238.8	-0.3	-0.3	0.1	-0.1	-0.0	-0.0	0.0
Σx_1	0.5	-0.2	2.1	-13.6	14.1	0.6	6.9	-0.0		
Σy_1	0.0	74.7	-928.1	0.0	-0.0	-250.7	-0.0	0.0		
Σx_2	-0.6	0.2	-2.2	-0.5	0.8	-0.6	0.3	0.0		
Σy_2	0.0	74.7	-928.1	-0.0	0.0	-250.7	0.0	-0.0		

ΣΤΚΟΛΤΦ			N	Mx1	Mx2	My1	My2	VxVyΣτρέψη		
2	6	G	-222.3	-0.0	-0.0	1.1	-0.5	-0.0	-0.4	-0.0

Statics 2017

50

	Q	-101.1	-0.0	-0.0	0.5	-0.3	-0.0	-0.2	-0.0
Σx_1	0.1	0.0	-0.0	-2.8	3.5	-0.0	1.6	-0.0	
Σy_1		0.0	0.2	-0.8	-0.0	0.0	-0.2	0.0	-0.0
Σx_2	-0.1	-0.0	0.0	1.8	-2.2	0.0	-1.0	0.0	
Σy_2	-0.0	0.1	-0.7	-0.0	0.0	-0.2	0.0	-0.0	

$\Sigma \text{ΤΚΟΛΤΦ}$			N	M _{x1}	M _{x2}	M _{y1}	M _{y2}	V _x V _y $\Sigma \tau \rho \epsilon \psi \eta$		
2	7	G	-224.1	-0.0	-0.0	-4.1	2.0	-0.0	1.5	0.0
		Q	-101.9	-0.0	-0.0	-1.9	0.9	-0.0	0.7	0.0
Σx_1		0.0	-0.0	0.0	-0.8	1.0	0.0	0.5	-0.0	
Σy_1		-0.0	0.1	-0.7	0.0	-0.0	-0.2	-0.0	0.0	
Σx_2		0.0	-0.0	0.0	-0.4	0.4	0.0	0.2	0.0	
Σy_2		0.0	0.2	-0.8	0.0	-0.0	-0.2	-0.0	0.0	

ΔΙΑΣΤΑΣΙΟΛΟΓΗΣΗ ΠΛΑΚΩΝ ΣΤΑΘΜΗΣ 1 (ΘΕΜΕΛΙΩΣΗ z=0.00m)

ΥΛΙΚΑ: C30/37 B500C

ΕΠΙΚΑΛΥΨΗ ΟΠΛΙΣΜΩΝ: πάνω $d_1 = 0.025\text{m}$, κάτω $d_2 = 0.070\text{m}$ **Πλάκα Θεμελίωσης 1 Αρφιέρειστη**

Διαστάσεις:

lx=9.30m, ly=4.35m
πάχος h=40cm

Φορτία:

ίδιον βάρος=0.00 μόνιμο=11.13 τοίχων=0.00 κινητό=5.34

Μόνιμα=11.13, Κινητά=5.34

qsd = $1.35 \times 11.13 + 1.50 \times 5.34 = 23.04 \text{ KN/m}^2$

Ροπές πλευρών:

1. Mg=0.00 Mq=0.00 Msd=0.00 KNm/m
2. Mg=0.00 Mq=0.00 Msd=0.00 KNm/m
3. Mg=26.33 Mq=12.64 Msd=54.50 KNm/m
4. Mg=0.00 Mq=0.00 Msd=0.00 KNm/m

Ροπές στο μέσο:

κατά X: Msd=0.00 Asl=1.26 φ12/25=4.52 κάτω:φ10/25=3.14

κατά Y: Msd=38.95 Asl=6.00 φ12/18=6.28 κάτω:φ10/20=3.93

Ελεγχος σε Διάτμηση:

Vsd = $1.35 \times 23.58 + 1.50 \times 11.32 = 48.82 \text{ KN}$

Vrd3 = Vrd1=293.41 + Vwl=0.00 = 293.41 > 48.82

Ελαστικό Βέλος Κάμψης (συνδυασμός G+Q):

wel = $0.03 \text{ cm} < 435/200 = 2.18 \text{ cm.}$

Πλάκα Θεμελίωσης 2 Τετραέρειστη

Διαστάσεις:

lx=9.30m, ly=4.95m
πάχος h=40cm

Φορτία:

ίδιον βάρος=0.00 μόνιμο=9.96 τοίχων=0.00 κινητό=4.78

Μόνιμα=9.96, Κινητά=4.78

qsd = $1.35 \times 9.96 + 1.50 \times 4.78 = 20.61 \text{ KN/m}^2$

Ροπές πλευρών:

1. Mg=28.10 Mq=13.49 Msd=58.17 KNm/m
2. Mg=0.00 Mq=0.00 Msd=0.00 KNm/m
3. Mg=0.00 Mq=0.00 Msd=0.00 KNm/m
4. Mg=20.09 Mq=9.64 Msd=41.58 KNm/m

Ροπές στο μέσο:

κατά X: Msd=11.30 Asl=6.00 φ12/18=6.28 κάτω:φ10/20=3.93

κατά Y: Msd=39.20 Asl=6.00 φ12/18=6.28 κάτω:φ10/20=3.93

Ελεγχος σε Διάτμηση:

Vsd = $1.35 \times 24.35 + 1.50 \times 11.69 = 50.40 \text{ KN}$

Vrd3 = Vrd1=312.38 + Vwl=0.00 = 312.38 > 50.40

Ελαστικό Βέλος Κάμψης (συνδυασμός G+Q):

wel = $0.05 \text{ cm} < 495/200 = 2.48 \text{ cm.}$

Πλάκα Θεμελίωσης 3 Αρφιέρειστη

Διαστάσεις:

lx=9.35m, ly=4.35m
πάχος h=40cm

Φορτία:

ίδιον βάρος=0.00 μόνιμο=11.06 τοίχων=0.00 κινητό=5.31

Μόνιμα=11.06, Κινητά=5.31

qsd = $1.35 \times 11.06 + 1.50 \times 5.31 = 22.90 \text{ KN/m}^2$

Ροπές πλευρών:

1. Mg=0.00 Mq=0.00 Msd=0.00 KNm/m
2. Mg=0.00 Mq=0.00 Msd=0.00 KNm/m
3. Mg=26.16 Mq=12.56 Msd=54.17 KNm/m

4. $Mg=0.00$ $Mq=0.00$ $Msd=0.00$ KNm/m

Ροπές στο μέσο:

κατά X: $Msd=0.00$ $Asl=1.26$ $\phi 12/25=4.52$ κάτω: $\phi 10/25=3.14$

κατά Y: $Msd=38.72$ $Asl=6.00$ $\phi 12/18=6.28$ κάτω: $\phi 10/20=3.93$

Ελεγχός σε Διάτμηση:

$$Vsd = 1.35 * 23.44 + 1.50 * 11.25 = 48.52 \text{ KN}$$

$$Vrd3 = Vrd1=293.41 + Vwl=0.00 = 293.41 > 48.52$$

Ελαστικό Βέλος Κάμψης (συνδυασμός G+Q):

$$wel = 0.03 \text{ cm} < 435/200 = 2.18 \text{ cm.}$$

Πλάκα Θεμελίωσης 4 Τετραέρειστη

Διαστάσεις:

lx=9.35m, ly=4.95m
πάχος h=40cm

Φορτία:

έδιον βάρος=0.00 μόνιμο=9.90 τοίχων=0.00 κινητό=4.75
Μόνιμα=9.90, Κινητά=4.75

$$q_{sd} = 1.35 * 9.90 + 1.50 * 4.75 = 20.49 \text{ KN/m}^2$$

Ροπές πλευρών:

1. Mg=28.01 Mq=13.45 Msd=57.98 KNm/m
2. Mg=19.96 Mq=9.58 Msd=41.31 KNm/m
3. Mg=0.00 Mq=0.00 Msd=0.00 KNm/m
4. Mg=0.00 Mq=0.00 Msd=0.00 KNm/m

Ροπές στο μέσο:

κατά X: Msd=11.20 As1=6.00 φ12/18=6.28 κάτω:φ10/20=3.93
κατά Y: Msd=39.14 As1=6.00 φ12/18=6.28 κάτω:φ10/20=3.93

Ελεγχος σε Διάτμηση:

$$V_{sd} = 1.35 * 24.22 + 1.50 * 11.63 = 50.13 \text{ KN}$$

$$V_{rd3} = V_{rd1}=312.38 + V_{wl}=0.00 = 312.38 > 50.13$$

Ελαστικό Βέλος Κάμψης (συνδυασμός G+Q):

$$wel = 0.05 \text{ cm} < 495/200 = 2.48 \text{ cm.}$$

Οπλισμοί Πλακών στις στηρίξεις

Π 1 Me=54.50 As1=3.93 As2=6.28 l=4.40m h=40cm

Π 2 Me=58.17 As1=3.93 As2=6.28 l=4.90m h=40cm

$$Msd=56.77 As1=6.00-3.93-3.93=-1.85$$

$$As2=12.57-6.28-6.28=0.00$$

απαιτούμενος οπλισμός= φ0/0 =0.00

Π 1 Me=54.50 As1=3.93 As2=6.28 l=4.40m h=40cm

Π 2 Me=58.17 As1=3.93 As2=6.28 l=4.90m h=40cm

$$Msd=56.77 As1=6.00-3.93-3.93=-1.85$$

$$As2=12.57-6.28-6.28=0.00$$

απαιτούμενος οπλισμός= φ0/0 =0.00

Π 3 Me=54.17 As1=3.93 As2=6.28 l=4.40m h=40cm

Π 4 Me=57.98 As1=3.93 As2=6.28 l=4.90m h=40cm

$$Msd=56.53 As1=6.00-3.93-3.93=-1.85$$

$$As2=12.57-6.28-6.28=0.00$$

απαιτούμενος οπλισμός= φ0/0 =0.00

Π 3 Me=54.17 As1=3.93 As2=6.28 l=4.40m h=40cm

Π 4 Me=57.98 As1=3.93 As2=6.28 l=4.90m h=40cm

$$Msd=56.53 As1=6.00-3.93-3.93=-1.85$$

$$As2=12.57-6.28-6.28=0.00$$

απαιτούμενος οπλισμός= φ0/0 =0.00

Π 1 Me=54.50 As1=3.93 As2=6.28 l=4.40m h=40cm

Π 2 Me=58.17 As1=3.93 As2=6.28 l=4.90m h=40cm

$$Msd=56.77 As1=6.00-3.93-3.93=-1.85$$

$$As2=12.57-6.28-6.28=0.00$$

απαιτούμενος οπλισμός= φ0/0 =0.00

Π 1 Me=54.50 As1=3.93 As2=6.28 l=4.40m h=40cm

Π 2 Me=58.17 As1=3.93 As2=6.28 l=4.90m h=40cm

$$Msd=56.77 As1=6.00-3.93-3.93=-1.85$$

$$As2=12.57-6.28-6.28=0.00$$

απαιτούμενος οπλισμός= φ0/0 =0.00

Π 3 Me=54.17 As1=3.93 As2=6.28 l=4.40m h=40cm

Π 4 Me=57.98 As1=3.93 As2=6.28 l=4.90m h=40cm

$$Msd=56.53 As1=6.00-3.93-3.93=-1.85$$

As2=12.57-6.28-6.28=0.00
απαιτούμενος οπλισμός= φ0/0 =0.00

Π 3 Me=54.17 As1=3.93 As2=6.28 l=4.40m h=40cm
Π 4 Me=57.98 As1=3.93 As2=6.28 l=4.90m h=40cm
Msd=56.53 As1=6.00-3.93-3.93=-1.85
As2=12.57-6.28-6.28=0.00
απαιτούμενος οπλισμός= φ0/0 =0.00

Π 1 Me=0.00 As1=3.14 As2=0.00 l=9.65m h=40cm
Π 3 Me=0.00 As1=3.14 As2=0.00 l=9.35m h=40cm

$M_{sd}=0.00$ $A_{s1}=6.00-3.14-3.14=-0.28$
 απαιτούμενος οπλισμός= $\Phi 0/0 =0.00$

Π 2 $M_e=41.58$ $A_{s1}=3.93$ $A_{s2}=6.28$ $l=9.65m$ $h=40cm$
 Π 4 $M_e=41.31$ $A_{s1}=3.93$ $A_{s2}=6.28$ $l=9.35m$ $h=40cm$
 $M_{sd}=41.47$ $A_{s1}=6.00-3.93-3.93=-1.85$
 $A_{s2}=12.57-6.28-6.28=0.00$
 απαιτούμενος οπλισμός= $\Phi 0/0 =0.00$

ΔΙΑΣΤΑΣΙΟΛΟΓΗΣΗ ΠΛΑΚΩΝ ΣΤΑΘΜΗΣ 2 (ΟΡΟΦΗ Α' ΥΠΟΓΕΙΟΥ z=4.00m)

ΥΛΙΚΑ: C30/37 B500C

ΕΠΙΚΑΛΥΨΗ ΟΠΑΙΣΜΩΝ: πάνω $d_1 = 0.025m$, κάτω $d_2 = 0.025m$

Πλάκα 1 Αμφιέρειστη

Διαστάσεις:

$lx=9.30m$, $ly=4.43m$

πάχος $h=30cm$

Έλεγχοι πάχους

$ay=0.8$

$a^*l/d=0.80*4.43/0.275 = 12.9$

$(a^*l)^2/h = (0.80*4.43)^2/0.30 = 41.8$

Φορτία:

ίδιον βάρος=7.50 πλακόστρωσης=3.00 τοίχων=0.00 κινητό=5.00

Μόνιμα=10.50, Κινητά=5.00

$q_{sd} = 1.35*10.50+1.50*5.00 = 21.68 \text{ KN/m}^2$

Ροπές πλευρών:

1. $M_g=0.00$ $M_q=0.00$ $M_{sd}=0.00 \text{ KNm/m}$

2. $M_g=0.00$ $M_q=0.00$ $M_{sd}=0.00 \text{ KNm/m}$

3. $M_g=25.70$ $M_q=12.24$ $M_{sd}=53.05 \text{ KNm/m}$

4. $M_g=0.00$ $M_q=0.00$ $M_{sd}=0.00 \text{ KNm/m}$

Ροπές στο μέσο:

κατά X: $M_{sd}=0.00$ $A_{s1}=0.91 \Phi 12/25=4.52$

κατά Y: $M_{sd}=37.88$ $A_{s1}=4.50 \Phi 12/15=7.54$

Έλεγχος σε Διάτμηση:

$V_{sd} = 1.35*18.28 + 1.50*8.70 = 37.73 \text{ KN}$

$V_{rd3} = V_{rd1}=247.78 + V_{wl}=16.06 = 263.84 > 37.73$

Ελαστικό Βέλος Κάμψης (συνδυασμός G+Q):

$w_{el} = 0.07 \text{ cm} < 443/200 = 2.21 \text{ cm.}$

Πλάκα 2 Τετραέρειστη

Διαστάσεις:

$lx=9.30m$, $ly=4.88m$

πάχος $h=30cm$

Έλεγχοι πάχους

$ay=0.8$

$a^*l/d=0.80*4.88/0.275 = 14.2$

$(a^*l)^2/h = (0.80*4.88)^2/0.30 = 50.7$

Φορτία:

ίδιον βάρος=7.50 πλακόστρωσης=3.00 τοίχων=0.00 κινητό=5.00

Μόνιμα=10.50, Κινητά=5.00

$q_{sd} = 1.35*10.50+1.50*5.00 = 21.68 \text{ KN/m}^2$

Ροπές πλευρών:

1. $M_g=28.97$ $M_q=13.80$ $M_{sd}=59.81 \text{ KNm/m}$

2. $M_g=0.00$ $M_q=0.00$ $M_{sd}=0.00 \text{ KNm/m}$

3. $M_g=0.00$ $M_q=0.00$ $M_{sd}=0.00 \text{ KNm/m}$

4. $M_g=20.52$ $M_q=9.77$ $M_{sd}=42.36 \text{ KNm/m}$

Ροπές στο μέσο:

κατά X: $M_{sd}=11.49$ $A_{s1}=4.50 \Phi 12/15=7.54$

κατά Y: $M_{sd}=40.78$ $A_{s1}=4.50 \Phi 12/15=7.54$

Έλεγχος σε Διάτμηση:

$V_{sd} = 1.35*20.77 + 1.50*9.89 = 42.88 \text{ KN}$

$V_{rd3} = V_{rd1}=247.78 + V_{wl}=26.77 = 274.55 > 42.88$

Ελαστικό Βέλος Κάμψης (συνδυασμός G+Q):

$$wel = 0.12 \text{ cm} < 488/200 = 2.44 \text{ cm.}$$

Πλάκα 3 Αμφιέρειστη

Διαστάσεις:

$$lx=9.35\text{m}, ly=4.43\text{m}$$

$$\text{πάχος } h=30\text{cm}$$

Ελεγχοι πάχους

$$ay=0.8$$

$$a*1/d=0.80*4.43/0.275 = 12.9$$

$$(a*l)^2/h = (0.80*4.43)^2/0.30 = 41.8$$

Φορτία:

Ιδιον βάρος=7.50 πλακόστρωσης=3.00 τοίχων=0.00 κινητό=5.00

Μόνιμα=10.50, Κινητά=5.00

$q_{sd} = 1.35 \times 10.50 + 1.50 \times 5.00 = 21.68 \text{ KN/m}^2$

Ροπές πλευρών:

1. $M_g=0.00 \text{ M}_q=0.00 \text{ M}_{sd}=0.00 \text{ KNm/m}$

2. $M_g=0.00 \text{ M}_q=0.00 \text{ M}_{sd}=0.00 \text{ KNm/m}$

3. $M_g=25.70 \text{ M}_q=12.24 \text{ M}_{sd}=53.05 \text{ KNm/m}$

4. $M_g=0.00 \text{ M}_q=0.00 \text{ M}_{sd}=0.00 \text{ KNm/m}$

Ροπές στο μέσο:

κατά X: $M_{sd}=0.00 \text{ A}_{s1}=0.91 \text{ } \phi_{12/25}=4.52$

κατά Y: $M_{sd}=37.88 \text{ A}_{s1}=4.50 \text{ } \phi_{12/15}=7.54$

Έλεγχος σε Διάτμηση:

$V_{sd} = 1.35 \times 18.28 + 1.50 \times 8.70 = 37.73 \text{ KN}$

$V_{rd3} = V_{rd1}=247.78 + V_{wl}=16.06 = 263.84 > 37.73$

Ελαστικό Βέλος Κάμψης (συνδυασμός G+Q):

$w_{el} = 0.07 \text{ cm} < 443/200 = 2.21 \text{ cm.}$

Πλάκα 4 Τετραέρειστη

Διαστάσεις:

$lx=9.35\text{m}, ly=4.88\text{m}$

πάχος $h=30\text{cm}$

Έλεγχοι πάχους

$ay=0.8$

$a*1/d=0.80*4.88/0.275 = 14.2$

$(a*1)^2/h = (0.80*4.88)^2/0.30 = 50.7$

Φορτία:

Ιδιον βάρος=7.50 πλακόστρωσης=3.00 τοίχων=0.00 κινητό=5.00

Μόνιμα=10.50, Κινητά=5.00

$q_{sd} = 1.35 \times 10.50 + 1.50 \times 5.00 = 21.68 \text{ KN/m}^2$

Ροπές πλευρών:

1. $M_g=29.06 \text{ M}_q=13.84 \text{ M}_{sd}=59.98 \text{ KNm/m}$

2. $M_g=20.51 \text{ M}_q=9.77 \text{ M}_{sd}=42.34 \text{ KNm/m}$

3. $M_g=0.00 \text{ M}_q=0.00 \text{ M}_{sd}=0.00 \text{ KNm/m}$

4. $M_g=0.00 \text{ M}_q=0.00 \text{ M}_{sd}=0.00 \text{ KNm/m}$

Ροπές στο μέσο:

κατά X: $M_{sd}=11.50 \text{ A}_{s1}=4.50 \text{ } \phi_{12/15}=7.54$

κατά Y: $M_{sd}=40.96 \text{ A}_{s1}=4.50 \text{ } \phi_{12/15}=7.54$

Έλεγχος σε Διάτμηση:

$V_{sd} = 1.35 \times 20.79 + 1.50 \times 9.90 = 42.92 \text{ KN}$

$V_{rd3} = V_{rd1}=247.78 + V_{wl}=26.77 = 274.55 > 42.92$

Ελαστικό Βέλος Κάμψης (συνδυασμός G+Q):

$w_{el} = 0.12 \text{ cm} < 488/200 = 2.44 \text{ cm.}$

Οπλισμοί Πλακών στις στηρίξεις

Π 1 $Me=53.05 \text{ As}_1=2.28 \text{ As}_2=0.00 \text{ l}=5.00\text{m} \text{ h}=30\text{cm}$

Π 2 $Me=59.81 \text{ As}_1=2.28 \text{ As}_2=0.00 \text{ l}=4.30\text{m} \text{ h}=30\text{cm}$

$M_{sd}=57.21 \text{ As}_1=4.90-2.28-2.28=0.33$

απαιτούμενος οπλισμός= $\phi 8/30 = 1.68$

Π 1 $Me=53.05 \text{ As}_1=2.28 \text{ As}_2=0.00 \text{ l}=5.00\text{m} \text{ h}=30\text{cm}$

Π 2 $Me=59.81 \text{ As}_1=2.28 \text{ As}_2=0.00 \text{ l}=4.30\text{m} \text{ h}=30\text{cm}$

$M_{sd}=57.21 \text{ As}_1=4.90-2.28-2.28=0.33$

απαιτούμενος οπλισμός= $\phi 8/30 = 1.68$

Π 3 $Me=53.05 \text{ As}_1=2.28 \text{ As}_2=0.00 \text{ l}=5.00\text{m} \text{ h}=30\text{cm}$

Π 4 $Me=59.98 \text{ As}_1=2.28 \text{ As}_2=0.00 \text{ l}=4.30\text{m} \text{ h}=30\text{cm}$

$M_{sd}=57.31 \text{ As}_1=4.91-2.28-2.28=0.34$

απαιτούμενος οπλισμός= $\phi 8/30 = 1.68$

Π 3 $Me=53.05 \text{ As}_1=2.28 \text{ As}_2=0.00 \text{ l}=5.00\text{m} \text{ h}=30\text{cm}$

Π 4 $Me=59.98 \text{ As}_1=2.28 \text{ As}_2=0.00 \text{ l}=4.30\text{m} \text{ h}=30\text{cm}$

$M_{sd}=57.31 \text{ As}_1=4.91-2.28-2.28=0.34$

απαιτούμενος οπλισμός= $\phi 8/30 = 1.68$

ΔΙΑΣΤΑΣΙΟΛΟΓΗΣΗ ΔΟΚΩΝ ΣΤΑΘΜΗΣ 1 (ΘΕΜΕΛΙΩΣΗ z=0.00m)

ΥΛΙΚΑ: C30/37 B500C συνδ.B500C

ΕΠΙΚΑΛΥΨΗ ΟΠΛΙΣΜΩΝ: πάνω d1 = 0.055m, κάτω d2 = 0.070m

ΕΔΑΦΟΣ: Κοκκώδες συνεκτικό $\gamma=18.0 \text{ kN/m}^3$ $\sigma_E = 200.00 \text{kN/m}^2$ **ΠΑΡΑΔΟΧΕΣ ΔΟΚΩΝ:**

- Συνδετήρες δοκών πλάτους $b_0>=0.40$ 4τμητοι, $b_0>=0.70$ 6τμητοι
- Θλιβόμενος οπλισμός ανοίγματος (montaz) δεν αγκυρώνεται.
 - Εφελκυόμενος οπλισμός ανοίγματος: αγκυρώνονται τα μισά.
 - ΟΧΙ λοξός οπλισμός στις δοκούς
 - ΟΧΙ λοξός οπλισμός στις πεδιλοδοκούς.

Συνεχόμενη Πεδιλοδοκός 1

Κ 3 45/40

Msd=-0 +0 As,req=7.20,7.20 As,tot=8.04,12.06

Mrd=-112,+178 $\sigma_{\varepsilon\delta}=53.18$ $\rho=4.47 \rho'=6.70 \rho'/\rho=1.50 \rho_{min}=4.00 \rho_{max}=16.10$

κ4Φ16 π4Φ16 λ0Φ0

ΠΔ1,5 45/40 l=4.60 qm=36.5 qk=18.2 b=4.03 dπλ=0.40

Msd=-46 69 As,req=7.20,7.20 As,tot=8.04,8.04

Mrd=-112,+119 lbnet=0.41 lbmin=0.17

 $\rho'=4.47 \rho=4.47 \rho'/\rho=1.00 \rho_{min}=4.00 \rho_{max}=16.10$

Vsa=168 Vsb=-260 Ve=1 Vrd1=86 Vrd2=768 Vwl=0 Tsd=2.2

AKPOA: Vo=136 ΔVcd=0 $\zeta=0.94$ Vsd=121 V ζ =0 Vw=353 Vrd3=379,440AKPOB: Vo=189 ΔVcd=4 $\zeta=0.96$ Vsd=172 V ζ =0 Vw=353 Vrd3=379,440Trd1=86 Trd2=25 Trd3=15 $(Tsd/Trd1)^2+(Vsd/Vrd2)^2=0.165$

κ4Φ16 π2+2Φ16 λ0Φ0 2Φ12 φ10/12 φ10/12 φ10/12 4/τμητοι

qs=43.69 Lπρ=-0.23 Msd=1.11 As=6.00 φ12/15 = 7.54cm²/m ($\rho=1.88\%$)

K 6 45/40

Msd=-168 +0 As,req= 11.92,11.92 As,tot=12.57,16.08

Mrd=-170,+236 $\sigma_{\varepsilon\delta}=46.87$ $\rho=6.98 \rho'=8.94 \rho'/\rho=1.28 \rho_{min}=4.00 \rho_{max}=16.10$

κ4Φ20 π4Φ16 λ0Φ0

ΠΔ2,6 45/40 l=4.70 qm=36.5 qk=18.3 b=3.86 dπλ=0.40

Msd=-96 72 As,req=7.20,7.20 As,tot=8.04,8.04

Mrd=-112,+119 lbnet=0.41 lbmin=0.17

 $\rho'=4.47 \rho=4.47 \rho'/\rho=1.00 \rho_{min}=4.00 \rho_{max}=16.10$

Vsa=284 Vsb=-437 Ve=7 Vrd1=86 Vrd2=768 Vwl=0 Tsd=0.5

AKPOA: Vo=207 ΔVcd=0 $\zeta=0.97$ Vsd=190 V ζ =0 Vw=470 Vrd3=496,556AKPOB: Vo=349 ΔVcd=7 $\zeta=0.96$ Vsd=337 V ζ =0 Vw=470 Vrd3=496,556

κ4Φ16 π2+2Φ16 λ0Φ0 φ12/13 φ12/13 φ12/13 4/τμητοι

qs=71.39 Lπρ=-0.23 Msd=1.81 As=6.00 φ12/15 = 7.54cm²/m ($\rho=1.88\%$)

K 5 45/40

Msd=-319 +0 As,req= 27.83,27.83 As,tot=28.27,28.40

Mrd=-367,+413 $\sigma_{\varepsilon\delta}=76.60$ $\rho=15.71 \rho'=15.78 \rho'/\rho=1.00 \rho_{min}=4.00 \rho_{max}=16.10$

κ9Φ20 π8Φ18 λ0Φ0

ΠΔ3,7 45/40 l=4.85 qm=36.5 qk=18.3 b=3.88 dπλ=0.40

Msd=-95 71 As,req=7.20,7.20 As,tot=8.04,8.04

Mrd=-112,+119 lbnet=0.41 lbmin=0.17

 $\rho'=4.47 \rho=4.47 \rho'/\rho=1.00 \rho_{min}=4.00 \rho_{max}=16.10$

Vsa=438 Vsb=-284 Ve=2 Vrd1=86 Vrd2=768 Vwl=0 Tsd=1.0

AKPOA: Vo=349 ΔVcd=0 $\zeta=0.94$ Vsd=340 V ζ =0 Vw=470 Vrd3=496,556AKPOB: Vo=207 ΔVcd=10 $\zeta=0.91$ Vsd=197 V ζ =0 Vw=470 Vrd3=496,556Trd1=86 Trd2=34 Trd3=0 $(Tsd/Trd1)^2+(Vsd/Vrd2)^2=0.467$

κ4Φ16 π2+2Φ16 λ0Φ0 φ12/13 φ12/13 φ12/13 4/τμητοι

qs=45.86 Lπρ=-0.23 Msd=1.16 As=6.00 φ12/15 = 7.54cm²/m ($\rho=1.88\%$)

K 7 45/40

Msd=-171 +0 As,req= 11.97,11.97 As,tot=12.57,16.08

Mrd=-170,+236 $\sigma_{\varepsilon\delta}=46.92$ $\rho=6.98 \rho'=8.94 \rho'/\rho=1.28 \rho_{min}=4.00 \rho_{max}=16.10$

κ4Φ20 π4Φ16 λ0Φ0

ΠΔ4,8 45/40 l=4.50 qm=36.5 qk=18.3 b=4.01 dπλ=0.40

Msd=-48 67 As,req=7.20,7.20 As,tot=8.04,8.04
Mrd=-112,+119 lbnet=0.41 lbmin=0.17
 $\rho'=4.47$ $\rho=4.47$ $\rho'/\rho=1.00$ $\rho_{min}=4.00$ $\rho_{max}=16.10$
Vsa=263 Vsb=-168 Ve=3 Vrd1=86 Vrd2=768 Vwl=0 Tsd=0.5
AKPOA: Vo=191 $\Delta Vcd=0$ $\zeta=0.99$ Vsd=171 $V\zeta=0$ Vw=353 Vrd3=379,440
AKPOB: Vo=136 $\Delta Vcd=3$ $\zeta=0.96$ Vsd=120 $V\zeta=0$ Vw=353 Vrd3=379,440
 $\kappa 4\Phi 16 \pi 2+2\Phi 16 \lambda 0\Phi 0$ $\Phi 10/12 \Phi 10/12 \Phi 10/12 4/\tau \mu \eta \tau o\iota$
 $q_s=49.05$ $L\pi\rho=-0.23$ Msd=1.24 As=6.00 $\Phi 12/15 = 7.54 \text{cm}^2/\text{m}$ ($\rho=1.88\%$)
K 4 45/40
Msd=-0 +0 As,req= 7.20,7.20 As,tot=8.04,12.06

Mrd=-112,+178 σ_εδ=52.97
 $\rho=4.47 \rho'=6.70 \rho'/\rho=1.50 \rho_{min}=4.00 \rho_{max}=16.10$
 κ4Φ16 π4Φ16 λ0Φ0

ΔΙΑΣΤΑΣΙΟΛΟΓΗΣΗ ΔΟΚΩΝ ΣΤΑΘΜΗΣ 2 (ΟΡΟΦΗ Α' ΥΠΟΓΕΙΟΥ z=4.00m)

ΥΛΙΚΑ: C30/37 B500C συνδ.B500C
 ΕΠΙΚΑΛΥΨΗ ΟΠΛΙΣΜΩΝ: πάνω d1 = 0.055m, κάτω d2 = 0.055m

ΠΑΡΑΔΟΧΕΣ ΔΟΚΩΝ:

Συνδετήρες δοκών πλάτους $b_0>=0.40$ 4τμητοι, $b_0>=0.70$ 6τμητοι

- Θλιβόμενος οπλισμός ανοίγματος (montaz) δεν αγκυρώνεται.

- Εφελκυόμενος οπλισμός ανοίγματος: αγκυρώνονται τα μισά.

- ΟΧΙ λοξός οπλισμός στις δοκούς

Συνεχόμενη Δοκός 1

Κ 3 150/30

Msd=-137 +0 As,req=14.99,7.49 As,tot=15.27,10.05

Mrd=-154,+105

$\rho=3.39 \rho'=2.23 \rho'/\rho=0.66 \rho_{min}=3.33 \rho_{max}=16.10$

π6Φ18 κ0Φ0 λ0Φ0

Δ1 150/30 l=4.60 qm=46.4 qk=22.1 b=5.08 dπλ=0.30

Msd=-0 163 As,req=3.91,15.64 As,tot=9.05,20.11

Mrd=-93,+209 lbnet=0.41 lbmin=0.17

$\rho'=2.01 \rho=4.47 \rho'/\rho=0.45 \rho_{min}=3.33 \rho_{max}=16.10$

Vsa=223 Vsb=-218 Ve=0 Vrd1=222 Vrd2=1819 Vwl=0 Tsd=0.1

AKPOA: Vo=134 ΔVcd=1 $\zeta=0.98$ Vsd=116 V ζ =0 Vw=289 Vrd3=356,511

AKPOB: Vo=130 ΔVcd=1 $\zeta=0.98$ Vsd=111 V ζ =0 Vw=289 Vrd3=356,511

π8Φ12 κ5+5Φ16 λ0Φ0 φ8/10 φ8/10 φ8/10 6/τμητοι

-D1: l=4.60 f1=16.8,10.7 f2=18.3,11.4 tx=0.0 qd=11.3 ->qm=46.4 qk=22.1

βέλος κάμψης: w_ελαστ.βραχ. = 0.58 mm, w_ελαστ.μακροχ. = 0.49 mm

Ελεγχος: 0.49 mm<= L/250 = 18.40 mm OK

Κ 6 150/30

Msd=-118 +0 As,req= 14.99,7.49 As,tot=15.27,17.75

Mrd=-154,+185

$\rho=3.39 \rho'=3.94 \rho'/\rho=1.16 \rho_{min}=3.33 \rho_{max}=16.10$

π6Φ18 κ0Φ0 λ0Φ0

Δ2 150/30 l=4.70 qm=46.4 qk=22.1 b=4.91 dπλ=0.30

Msd=-0 131 As,req=3.75,14.99 As,tot=9.05,15.39

Mrd=-93,+160 lbnet=0.36 lbmin=0.15

$\rho'=2.01 \rho=3.42 \rho'/\rho=0.59 \rho_{min}=3.33 \rho_{max}=16.10$

Vsa=220 Vsb=-230 Ve=0 Vrd1=217 Vrd2=1819 Vwl=0 Tsd=0.1

AKPOA: Vo=132 ΔVcd=1 $\zeta=0.98$ Vsd=113 V ζ =0 Vw=289 Vrd3=354,506

AKPOB: Vo=138 ΔVcd=1 $\zeta=0.98$ Vsd=120 V ζ =0 Vw=289 Vrd3=354,506

π8Φ12 κ5+5Φ14 λ0Φ0 φ8/10 φ8/10 φ8/10 6/τμητοι

-D2: l=4.70 f1=16.8,10.7 f2=18.3,11.4 tx=0.0 qd=11.3 ->qm=46.4 qk=22.1

βέλος κάμψης: w_ελαστ.βραχ. = 0.65 mm, w_ελαστ.μακροχ. = 0.54 mm

Ελεγχος: 0.54 mm<= L/250 = 18.80 mm OK

Κ 5 150/30

Msd=-161 +0 As,req= 15.61,7.81 As,tot=15.71,15.39

Mrd=-158,+160

$\rho=3.49 \rho'=3.42 \rho'/\rho=0.98 \rho_{min}=3.33 \rho_{max}=16.10$

π5Φ20 κ0Φ0 λ0Φ0

Δ3 150/30 l=4.85 qm=46.5 qk=22.1 b=4.93 dπλ=0.30

Msd=-0 140 As,req=3.90,14.99 As,tot=9.05,15.39

Mrd=-93,+160 lbnet=0.36 lbmin=0.15

$\rho'=2.01 \rho=3.42 \rho'/\rho=0.59 \rho_{min}=3.33 \rho_{max}=16.10$

Vsa=239 Vsb=-226 Ve=0 Vrd1=217 Vrd2=1819 Vwl=0 Tsd=0.1

AKPOA: Vo=143 ΔVcd=0 $\zeta=0.99$ Vsd=125 V ζ =0 Vw=289 Vrd3=354,506

AKPOB: Vo=136 ΔVcd=0 $\zeta=0.99$ Vsd=116 V ζ =0 Vw=289 Vrd3=354,506

π8Φ12 κ5+5Φ14 λ0Φ0 φ8/10 φ8/10 φ8/10 6/τμητοι

-D3: l=4.85 f3=16.9,10.7 f4=18.4,11.4 tx=0.0 qd=11.3 ->qm=46.5 qk=22.1

βέλος κάμψης: w_ελαστ.βραχ. = 0.75 mm, w_ελαστ.μακροχ. = 0.63 mm

Ελεγχος: 0.63 mm<= L/250 = 19.40 mm OK

K 7 150/30
Msd=-122 +0 As,req= 14.99,7.49 As,tot=15.27,15.39
Mrd=-154,+160
 $\rho=3.39$ $\rho'=3.42$ $\rho'/\rho=1.01$ $\rho_{min}=3.33$ $\rho_{max}=16.10$
 $\pi_6\Phi_{18}$ $\kappa_0\Phi_0$ $\lambda_0\Phi_0$
 Δ_4 150/30 $l=4.50$ $qm=46.5$ $qk=22.1$ $b=5.06$ $d\pi\lambda=0.30$
Msd=-0 157 As,req=3.75,14.99 As,tot=9.05,15.39
Mrd=-93,+160 lbnet=0.36 lbmin=0.15
 $\rho'=2.01$ $\rho=3.42$ $\rho'/\rho=0.59$ $\rho_{min}=3.33$ $\rho_{max}=16.10$
Vsa=215 Vsb=-217 Ve=0 Vrd1=217 Vrd2=1819 Vwl=0 Tsds=0.1

AKPOA: $V_o=129$ $\Delta V_{cd}=0$ $\zeta=0.99$ $V_{sd}=109$ $V\zeta=0$ $V_w=289$ $V_{rd3}=354,506$
AKPOB: $V_o=130$ $\Delta V_{cd}=0$ $\zeta=0.99$ $V_{sd}=111$ $V\zeta=0$ $V_w=289$ $V_{rd3}=354,506$
 $\pi 8\phi 12 \ k5+5\phi 14 \ \lambda 0\phi 0 \ \Phi 8/10 \ \Phi 8/10 \ \Phi 8/10 \ 6/\tau\mu\eta\tau\tau\iota$
-D4: $l=4.50$ $f_3=16.9, 10.7$ $f_4=18.4, 11.4$ $t_x=0.0$ $q_d=11.3 \rightarrow q_m=46.5$ $q_k=22.1$
βέλος κάμψης: $w_{\text{ελαστ.βραχ.}} = 0.51 \text{ mm}$, $w_{\text{ελαστ.μακροχ.}} = 0.43 \text{ mm}$
Έλεγχος: $0.43 \text{ mm} \leq L/250 = 18.00 \text{ mm}$ OK
K 4 150/30
 $M_{sd}=-129 +0 \text{ As,req}= 14.99, 7.49 \text{ As,tot}=15.27, 7.70$
 $M_{rd}=-154, +81$
 $\rho=3.39 \ \rho'=1.71 \ \rho'/\rho=0.50 \ \rho_{min}=3.33 \ \rho_{max}=16.10$
 $\pi 6\phi 18 \ k0\phi 0 \ \lambda 0\phi 0$

ΕΛΕΓΧΟΣ ΛΕΙΠΟΥΡΓΙΚΟΤΗΤΑΣ ΔΟΚΩΝ**ΣΤΑΘΜΗ 2**

Δ	L	$qDqL\Sigma\Phi$	w1 m KN/m	w2 KN/m	wmax mm	w L/250 mmmmmmmmmm	k				
1	4.60	26.10	17.67	1	0.02	0.20	0.70	0.59	18.40	0.032	
	2	4.70	15.46	17.67	1	0.20	0.04	0.77	0.65	18.80	0.035
	3	4.85	15.49	17.71	1	0.03	0.21	0.88	0.76	19.40	0.039
	4	4.50	26.15	17.71	1	0.20	0.02	0.63	0.52	18.00	0.029

ΕΠΕΞΗΓΗΣΗ ΣΥΜΒΟΛΩΝ

w1, w2 : οι κατακόρυφες μετακινήσεις των δύο άκρων της δοκού

wMax : η μέγιστη κατακόρυφη μετακίνηση στο άνοιγμα

w = wMax - (w1+w2)/2 : Βέλος κάμψης

k = w/(L/250) < 1: Έλεγχος Οριακής Κατάστασης Λειτουργικότητας (ΟΚΛ)

Συνδυασμός φόρτισης 1: G + Q + Χιόνι

ΔΙΑΣΤΑΣΙΟΛΟΓΗΣΗ ΥΠΟΣΤΥΛΩΜΑΤΩΝ

 ΣΤ ΥΠ ΤΑ dxdy h ΝστAsκ.οπλπ.οπλε.οπλ συνδ. 2x#Tx ΔΣΦ
 2 1 11900 35 4.00 1406 126.7 112Φ12 46Φ12 4Φ12 φ10/10 φ12/20
 9

 ΣΤ ΥΠ ΤΑ dxdy h ΝστAsκ.οπλπ.οπλε.οπλ συνδ. 2x#Tx ΔΣΦ
 2 2 21900 35 4.00 1439 126.7 112Φ12 46Φ12 4Φ12 φ10/10 φ12/20
 6

 ΣΤ ΥΠ ΤΑ dxdy h ΝστAsκ.οπλπ.οπλε.οπλ συνδ. 2x#Tx ΔΣΦ
 2 3 3 35 965 4.00 816 58.8 52Φ12 22Φ12 4Φ12 φ10/10 φ12/20
 -7

 ΣΤ ΥΠ ΤΑ dxdy h ΝστAsκ.οπλπ.οπλε.οπλ συνδ. 2x#Tx ΔΣΦ
 2 4 4 35 965 4.00 811 58.8 52Φ12 22Φ12 4Φ12 φ10/10 φ12/20
 15

 ΣΤ ΥΠ ΤΑ dxdy h ΝστAsκ.οπλπ.οπλε.οπλ συνδ. 2x#Tx ΔΣΦ
 2 5 5 35 965 4.00 1459 58.8 52Φ12 22Φ12 4Φ12 φ10/10 φ12/20
 16

 ΣΤ ΥΠ ΤΑ dxdy h ΝστAsκ.οπλπ.οπλε.οπλ συνδ. 2x#Tx ΔΣΦ
 2 6 6 45 45 4.00 465 18.1 16Φ12 4Φ12 --- φ10/10 ---
 -3

 ΣΤ ΥΠ ΤΑ dxdy h ΝστAsκ.οπλπ.οπλε.οπλ συνδ. 2x#Tx ΔΣΦ
 2 7 7 45 45 4.00 469 18.1 16Φ12 4Φ12 --- φ10/10 ---
 1

Συνδυασμοί φορτίσεων

- 1 1.35*G + 1.50*Q
- 2 G + 0.30*Q + Σx1 + 0.30*Σy1
- 3 G + 0.30*Q + Σx1 - 0.30*Σy1
- 4 G + 0.30*Q - Σx1 - 0.30*Σy1
- 5 G + 0.30*Q - Σx1 + 0.30*Σy1
- 6 G + 0.30*Q + 0.30*Σx1 + Σy1
- 7 G + 0.30*Q - 0.30*Σx1 + Σy1
- 8 G + 0.30*Q - 0.30*Σx1 - Σy1
- 9 G + 0.30*Q + 0.30*Σx1 - Σy1
- 10 G + 0.30*Q + Σx2 + 0.30*Σy2
- 11 G + 0.30*Q + Σx2 - 0.30*Σy2
- 12 G + 0.30*Q - Σx2 - 0.30*Σy2
- 13 G + 0.30*Q - Σx2 + 0.30*Σy2
- 14 G + 0.30*Q + 0.30*Σx2 + Σy2
- 15 G + 0.30*Q - 0.30*Σx2 + Σy2
- 16 G + 0.30*Q - 0.30*Σx2 - Σy2
- 17 G + 0.30*Q + 0.30*Σx2 - Σy2
- 18 G + 0.30*Q

ΔΙΑΣΤΑΣΙΟΛΟΓΗΣ ΥΠΟΣΤΥΛΩΜΑΤΩΝ ΣΤΑΘΜΗΣ 2 (ΟΡΟΦΗ Α' ΥΠΟΓΕΙΟΥ z=4.00m)

ΥΛΙΚΑ: C30/37 B500C συνδ. B500C
ΕΠΙΚΑΛΥΨΗ ΟΠΛΙΣΜΩΝ: d = 0.055m

ΤΟΙΧΩΜΑ 1

TΦ	N1	N2	Mx1	Mx2	My1	My2	VxVyΣτρέψη
G	-237	-902	-8.0	3.9	2.4	0.9	3.0 -0.4 -0.0
Q	-125	-125	-3.9	1.9	1.2	0.4	1.5 -0.2 -0.0
Σx1	1	1	0.1	0.1	2.1	1163.0	-0.0 290.2 0.4
Σy1	15	15	23.8	-24.8	3.4	-99.9	-12.1 -25.8 0.0
Σx2	-1	-1	-0.1	-0.1	-9.4	1084.6	0.0 273.5 -0.3
Σy2	15	15	23.8	-24.8	-3.5	100.1	-12.1 25.9 -0.0

Ελεγχος οσε θλίψη

$Nrd = 0.85 * Ac * fcd = 0.85 * 6.65 * 20000 = 113050.0 \text{ KN}$, $Nsd_{min}(1) = -956.7 \text{ KN}$
 $\Rightarrow Nsd/Nrd = 0.008$
 $Ns = -1405.6 \quad vds = 0.011 < 1.00$
x-x: $Ns = -964.8 \quad Nex = 5.4 \quad Nox = -970.2 \quad vd_ex = 0.007 < 0.65$
y-y: $Ns = -964.8 \quad Ney = 15.6 \quad Noy = -980.4 \quad vd_ey = 0.007 < 0.65$

Ελεγχος σε λυγισμό

$\lambda_{max} = \max(25, 15/\sqrt{vd}) = 145.9$
 $\alpha \xi \omega \alpha \zeta \beta * lcol = 10 \quad Ic \quad Ac \quad i\lambda$
x-x $0.00 * 0.00 = 0.00 \quad 0.06789 \quad 6.650 \quad 0.101 \quad 0.0 \text{ OK}$
y-y $0.00 * 0.00 = 0.00133.36944 \quad 6.650 \quad 4.478 \quad 0.0 \text{ OK}$

Ελεγχος σε κάμψη

$\Sigma \Phi \quad Nd \quad MdxMdyMrdxMrdyMsd/Mrd \quad Me \quad acdMrwo$

Pmin	-1:	-1405.6	8.2	1.9	18547.5	4207.8	0.00
Pmax	15:	-259.2	14.7	2.1	11077.3	1619.1	0.00
Mxmin	17:	-290.5	-33.0	3.4	-8287.4	863.7	0.00
Mxmax	-16:	-955.0	29.3	-424.4	5565.9-80621.1	0.01	
Mymin	-5:	-936.0	-3.0	-1192.0	-201.9-80796.6	0.01	
Mymax	-3:	-943.7	12.0	1194.0	812.3 80860.8	0.01	
	9:	-290.0	-33.0	-0.0	-1421.7	-1.2	0.02
+x	:	-959.4			81152.7		1194.1
3.50	--						
-x	:	-970.2			81248.3		1191.9
3.50	--						

Ελεγχος σε διάταξη

	Vmax	Vs	VeNmaxMrlclV _k				
x-x	298.4	0.4	298.0	-970.2	81248.3	0.00	1043.0
y-y	15.6	3.4	12.2	-980.4	1523.0	0.00	46.0

T1 O1 1900/35 H=4.00m 4x28Φ12 + 4x1Φ12 + 46Φ12 Σ Φ10/10
acd: xk=0.00,0.00 xp=0.00,0.00 yk=0.00,0.00 yp=0.00,0.00
N=-290 Mx=-33 My=-0 Vx=6 Vy=1 (9) Mrdx=-1422 Mrdy=-1
ρ=5.0% As_tot=332.5 Κύριος οπλ./γωνία: 28Φ12 = 31.67cm² >Asmin=31.67cm²
Ns=1406 vds=0.01 No=965 Nex=5 Ney=16 vdx=0.01 vdy=0.01
x-x: σκέλησυνδ.=3 Vrd1=3042 Vrd2=32822 Vw=17467 Vrd3=20205 Vsd=1043
ΑΚΡΑ: 35/285 N=216 vd=0.010 As=91.6 cm² ρ=9.18%
ΚΟΡΜΟΣ: 2x# Φ12/20
Mrwo=0 Vcwo=1043 Mew=1193 acd=3.50 Mcdw=1
Ελεγχος 18.4.4: wd_απ=0.10 >wd_υπ=0.28 **
e_cu = 0.01357 μ_φ = 344.48

ΤΟΙΧΩΜΑ 2

TΦ	N1	N2	Mx1	Mx2	My1	My2	VxVyΣτρέψη
G	-253	-918	7.9	-3.9	2.4	0.9	-2.9 -0.4 0.0
Q	-133	-133	3.8	-1.9	1.2	0.4	-1.4 -0.2 0.0
Σx1	1	1	-0.3	0.1	2.7	1111.6	0.1 277.2 -0.4
Σy1	-15	-15	23.9	-24.8	-3.4	99.9	-12.2 25.8 0.0
Σx2	-1	-1	0.3	-0.1	-10.1	1141.2	-0.1 287.8 0.3
Σy2	-15	-15	23.9	-24.8	3.5	-100.1	-12.2 -25.9 -0.0

Ελεγχος σε θλίψη

Nrd = 0.85*Ac*fcd = 0.85*6.65*20000 = 113050.0 KN, Nsd_min(1) = -990.0 KN
=>Nsd/Nrd = 0.009
Ns = -1438.9 vds = 0.011 < 1.00
x-x: Ns = -984.8 Nex = 5.5 Nox = -990.3 vd_ex = 0.007 < 0.65
y-y: Ns = -984.8 Ney = -15.1 Noy = -999.9 vd_ey = 0.008 < 0.65

Ελεγχος σε λυγισμό

λmax = max(25,15/√vd) = 144.2
άξονας β*1col = 1o Ic Ac iλ
x-x 0.00*0.00 = 0.00 0.06789 6.650 0.101 0.0 OK
y-y 0.00*0.00 = 0.00133.36944 6.650 4.478 0.0 OK

Ελεγχος σε κάμψη

ΣΦ	Nd	MdxMdyMrdxMrdyMsd/Mrd	Me	acdMrwo
Pmin	-1:	-1438.9 -8.1 1.9 -19715.2 4757.9	0.00	
Pmax	16:	-277.6 -14.9 2.4 -11979.8 1895.3	0.00	
Mxmin	-14:	-973.9 -29.3 243.4 -9646.8 80041.2	0.00	
Mxmax	14:	-308.9 33.0 3.2 7796.0 761.3	0.00	
Mymin	-13:	-962.0 -11.8 -1170.1 -814.9-81021.1	0.01	
Mymax	-11:	-954.5 2.9 1172.3 198.8 80958.9	0.01	
	6:	-308.4 32.9 0.2 1585.7 7.8 0.02		
+x	:	-979.3	81327.9	1172.3
3.50	--			
-x	:	-990.3	81424.6	1170.0
3.50	--			

Ελεγχος σε διάτμηση

Vmax	Vs	VeNmaxMr1clVk
x-x	296.0	0.4 295.6 -990.3 81424.6
y-y	15.6	3.4 12.2 -999.9 1525.9

T2 O2 1900/35 H=4.00m 4x28Φ12 + 4x1Φ12 + 46Φ12 Σ Φ10/10
acd: xk=0.00,0.00 xp=0.00,0.00 yk=0.00,0.00 yp=0.00,0.00

N=-308 Mx=33 My=0 Vx=6 Vy=1 (6) Mrdx=1586 Mrdy=8
ρ=5.0% As_tot=332.5 Κύριος οπλ./γωνία: 28Φ12 = 31.67cm² >= Asmin=31.67cm²
Ns=1439 vds=0.01 No=985 Nex=5 Ney=-15 vdx=0.01 vdy=0.01

x-x: σκέλησυνδ.=3 Vrd1=3045 Vrd2=32822 Vw=17467 Vrd3=20208 Vsd=1035
ΑΚΡΑ: 35/285 N=222 vd=0.011 As=91.6 cm² ρ=9.18%

ΚΟΡΜΟΣ: 2x# Φ12/20

Mrwo=0 Vcwo=1035 Mew=1171 acd=3.50 Mcdw=1

Ελεγχος 18.4.4: wd_απ=0.10 >wd_υπ=0.28 **

$e_{cu} = 0.01357 \mu_\phi = 339.29$

ΤΟΙΧΩΜΑ 3

TΦ	N1	N2	Mx1	Mx2	My1	My2	VxVyΣτρέψη
G	-170	-508	-0.2	-0.3	11.9	-5.8	-0.0 -4.4 -0.0
Q	-87	-87	-0.1	-0.1	5.7	-2.8	-0.0 -2.1 -0.0
Σx_1	-0	-0	-0.1	1.9	8.4	-9.3	0.5 -4.4 -0.0
Σy_1	0	0	14.3	-769.4	-0.0	0.0	-195.9 0.0 -0.0
Σx_2	4	4	0.1	-3.2	-23.4	25.2	-0.8 12.2 0.0
Σy_2	0	0	6.2	-411.3	-0.0	0.0	-104.4 0.0 -0.0

Ελεγχος σε θλίψη

$Nrd = 0.85 * Ac * fcd = 0.85 * 3.38 * 20000 = 57417.5 \text{ KN}$, $Nsd_{min}(1) = -588.2 \text{ KN}$
 $\Rightarrow Nsd/Nrd = 0.010$

$Ns = -816.2 \quad vds = 0.012 < 1.00$
 $x-x: \quad Ns = -551.4 \quad N_{ex} = -3.8 \quad N_{ox} = -555.2 \quad v_{d_ex} = 0.008 < 0.65$
 $y-y: \quad Ns = -551.4 \quad N_{ey} = 1.1 \quad N_{oy} = -552.5 \quad v_{d_ey} = 0.008 < 0.65$

Ελεγχος σε λυγισμό

$\lambda_{max} = \max(25, 15/\sqrt{vd}) = 136.5$

$\alpha_{ξονας} \beta * l_{col} = 10 \quad I_c \quad A_c \quad i_{\lambda}$
 $x-x \quad 0.83 * 4.00 = 3.32 \quad 17.47340 \quad 3.377 \quad 2.275 \quad 1.5 \quad OK$
 $y-y \quad 0.78 * 3.70 = 2.90 \quad 0.03448 \quad 3.377 \quad 0.101 \quad 28.7 \quad OK$

Ελεγχος σε κάμψη

SΦ	Nd	Mdx	Mdy	Mrdx	Mrdy	Msd/Mrd	Me	acd	Mrwo
Pmin -1:	-816.2	-0.6	-12.0	-71.1	-1464.1	0.01			
Pmax 10:	-192.5	1.7	-23.4	127.6	-1719.4	0.01			
Mxmin -7:	-533.9	-1039.4	-3.9	-20051.2	-74.4	0.05			
Mxmax -9:	-534.2	1039.4	-9.4	20053.1	-181.7	0.05			
Mymin -12:	-537.8	126.3	-34.0	18731.2	-5043.2	0.01			
Mymax 12:	-200.0	-2.2	37.0	-86.6	1468.5	0.03			
+y :	-550.3			20166.1				769.6	
3.50 --									
-y :	-552.5			20176.2				770.3	
3.50 --									

Ελεγχος σε διάτημση

Vmax	Vs	Ve	Nmax	Mrl	clV	k
x-x	17.2	5.0	12.2	-555.2	697.3	3.70
y-y	196.1	0.0	196.1	-552.5	20176.2	4.00

T3 O3 35/965 H=4.00m 4x13φ12 + 4x1φ12 + 22φ12 Σ φ10/10
 $N=-534 \quad Mx=-1039 \quad My=-4 \quad Vx=0 \quad Vy=9 \quad (-7) \quad Mrdx=-20051 \quad Mrdy=-74$
 $\rho=4.8\% \quad As_{tot}=162.9 \quad \text{Κύριος οπλ./γωνία: } 13\phi12 = 14.70 \text{cm}^2 \geq As_{min}=14.70 \text{cm}^2$
 $Ns=816 \quad vds=0.01 \quad No=551 \quad N_{ex}=-4 \quad N_{ey}=1 \quad v_{dx}=0.01 \quad v_{dy}=0.01$
 $y-y: \quad \text{σκέλησυνδ.=3} \quad Vrd1=1543 \quad Vrd2=16623 \quad Vw=8846 \quad Vrd3=10236 \quad Vsd=686$
AKPA: 35/145 N=128 vd=0.012 As=44.1 cm² ρ=8.69%
ΚΟΡΜΟΣ: 2x# φ12/20
Mrwo=0 Vcwo=686 Mew=770 acd=3.50 Mcdw=1
Ελεγχος 18.4.4: wd_απ=0.10 > wd_υπ=0.34 **
 $e_{cu} = 0.01506 \mu_\phi = 345.06$

ΤΟΙΧΩΜΑ 4

TΦ	N1	N2	Mx1	Mx2	My1	My2	VxVyΣτρέψη
G	-168	-505	-0.2	-0.3	-11.2	5.5	-0.0 4.2 0.0
Q	-86	-86	-0.1	-0.1	-5.3	2.6	-0.0 2.0 0.0
Σx_1	-2	-2	0.1	-4.4	-7.9	8.4	-1.1 4.1 -0.0
Σy_1	0	0	6.2	-412.5	0.0	-0.0	-104.7 -0.0 0.0
Σx_2	-1	-1	-0.2	5.9	-6.0	6.3	1.5 3.1 0.0
Σy_2	0	0	14.3	-770.6	0.0	-0.0	-196.2 -0.0 0.0

Ελεγχος σε θλίψη

$Nrd = 0.85 * Ac * fcd = 0.85 * 3.38 * 20000 = 57417.5 \text{ KN}$, $Nsd_{min}(1) = -583.1 \text{ KN}$
 $\Rightarrow Nsd/Nrd = 0.010$

Ns = -811.0 vds = 0.012 < 1.00
x-x: Ns = -548.3 Nex = -1.4 Nox = -549.7 vd_ex = 0.008 < 0.65
y-y: Ns = -548.3 Ney = 0.5 Noy = -548.9 vd_ey = 0.008 < 0.65

Ελεγχος σε λυγισμό

λmax = max(25,15/√vd) = 136.9

άξονας β*1col = lo Ic Ac iλ
x-x 0.83*4.00 = 3.32 17.47340 3.378 2.275 1.5 OK
y-y 0.78*3.70 = 2.90 0.03448 3.378 0.101 28.7 OK

Ελεγχος σε κάμψη

	ΣΦ	Nd	MdxMdyMrdxMrdyMsd/Mrd	Me	acdMrwo
Pmin -1:	-811.0	-0.6	11.3	-74.9	1492.7
					0.01

Statics 2017

70

Pmax	5:	-191.7	1.5	7.9	677.6	3589.6	0.00
Mxmin	-15:	-530.7	-1042.6	4.4	-20037.6	83.9	0.05
Mxmax	-17:	-531.6	1042.6	8.2	20041.7	157.0	0.05
Mymin	1:	-355.1	-0.4	-23.2	-14.4	-833.1	0.03
Mymax	-3:	-532.9	119.1	14.6	19767.7	2429.0	0.01
	+y	:	-547.8		20155.1		772.0
3.50	--						
	-y	:	-548.9		20159.6		772.7
3.50	--						

Ελεγχος σε διάταξη

	Vmax	Vs	VeNmaxMrlclV _k				
x-x	8.8	4.8	4.1	-549.7	696.5	3.70	19.0
y-y	196.7	0.0	196.7	-548.9	20159.6	4.00	688.4

T4 O4 35/965 H=4.00m 4x13Φ12 + 4x1Φ12 + 22Φ12 Σ Φ10/10
 N=-531 Mx=-1043 My=4 Vx=0 Vy=9 (-15) Mrdx=-20038 Mrdy=84
 $\rho=4.8\%$ As_tot=162.9 Κύριος οπλ./γωνία: 13Φ12 = 14.70cm² >= Asmin=14.70cm²
 Ns=811 vds=0.01 No=548 Nex=-1 Ney=1 vdx=0.01 vdy=0.01
 y-y: σκέλησυνδ.=3 Vrd1=1543 Vrd2=16623 Vw=8846 Vrd3=10235 Vsd=688
 AKPA: 35/145 N=126 vd=0.012 As=44.1 cm² ρ=8.69%
 KOPMOΣ: 2x# Φ12/20
 Mrwo=0 Vcwo=688 Mew=772 acd=3.50 Mcdw=1
 Ελεγχος 18.4.4: wd_απ=0.10 >wd_υπ=0.34 **
 e_cu = 0.01506 μ_φ = 346.51

ΤΟΙΧΩΜΑ 5

TΦ	N1	N2	Mx1	Mx2	My1	My2	VxVyΣτρέψη
G	-478	-815	-0.6	-0.6	0.3	-0.1	-0.0 -0.1 0.0
Q	-239	-239	-0.3	-0.3	0.1	-0.1	-0.0 -0.0 0.0
Σx1	1	1	-0.2	2.1	-13.6	14.1	0.6 6.9 -0.0
Σy1	0	0	74.7	-928.1	0.0	-0.0	-250.7 -0.0 0.0
Σx2	-1	-1	0.2	-2.2	-0.5	0.8	-0.6 0.3 0.0
Σy2	0	0	74.7	-928.1	-0.0	0.0	-250.7 0.0 -0.0

Ελεγχος σε θλίψη

Nrd = 0.85*Ac*fcd = 0.85*3.38*20000 = 57417.5 KN, Nsd_min(1) = -1231.0 KN
 =>Nsd/Nrd = 0.021
 Ns = -1459.0 vds = 0.022 < 1.00
 x-x: Ns = -934.8 Nex = 0.6Nox = -935.4 vd_ex = 0.014 < 0.65
 y-y: Ns = -934.8 Ney = 0.2 Noy = -935.0 vd_ey = 0.014 < 0.65

Ελεγχος σε λυγισμό

λmax = max(25, 15/√vd) = 102.1
 αξοναςβ*1col = lo Ic Ac iλ
 x-x 0.83*4.00 = 3.32 17.47340 3.377 2.275 1.5 OK
 y-y 0.76*3.70 = 2.80 0.03448 3.377 0.101 27.7 OK

Ελεγχος σε κάμψη

SΦ	Nd	MdxMdyMrdxMrdyMsd/Mrd	Me	acdMrwo
Pmin	-1: -1459.0	-1.3 -0.3 -23035.5 -5062.2	0.00	
Pmax	13: -548.7	21.5 0.8 20102.4 718.6	0.00	
Mxmin	-14: -887.2	-1253.9 0.1 -21611.9 1.3	0.06	
Mxmax	-16: -886.9	1253.9 -0.4 21610.5 -6.7	0.06	
Mymin	-5: -887.6	-281.2 -19.1 -21538.2 -1461.9	0.01	
Mymax	-3: -886.5	279.8 19.1 21532.3 1469.0	0.01	
	+y : -934.6		21872.0	928.0
3.50	--			
	-y : -935.0		21873.8	929.6
3.50	--			

Ελεγχος σε διάταξη

	Vmax	Vs	VeNmaxMrlclV _k				
x-x	7.1	0.1	6.9	-935.4	751.9	3.70	24.4
y-y	250.9	0.0	250.9	-935.0	21873.8	4.00	878.1

T5 O5 35/965 H=4.00m 4x13Φ12 + 4x1Φ12 + 22Φ12 Σ Φ10/10
 N=-887 Mx=1254 My=-0 Vx=0 Vy=0 (-16) Mrdx=21610 Mrdy=-7
 $\rho=4.8\%$ As_tot=162.9 Κύριος οπλ./γωνία: 13Φ12 = 14.70cm² >= Asmin=14.70cm²
 Ns=1459 vds=0.03 No=935 Nex=1 Ney=0 vdx=0.02 vdy=0.02
 γ-γ: σκέλησυνδ.=3 Vrd1=1596 Vrd2=16623 Vw=8846 Vrd3=10283 Vsd=878
 AKPA: 35/145 N=245 vd=0.022 As=44.1 cm² ρ=8.69%
 ΚΟΡΜΟΣ: 2x# Φ12/20
 Mrwo=0 Vcwo=878 Mew=929 acd=3.50 Mcdw=1
 Ελεγχος 18.4.4: wd_απ=0.10 > wd_υπ=0.34 **
 e_cu = 0.01506 μ_φ = 225.24

ΥΠΟΣΤΥΛΩΜΑ 6

TΦ	N1	N2	Mx1	Mx2	My1	My2	VxVyΣτρέψη
G	-212	-232	-0.0	-0.0	1.1	-0.5	-0.0 -0.4 -0.0

Q	-101	-101	-0.0	-0.0	0.5	-0.3	-0.0	-0.2	-0.0
Σx_1	0	0	0.0	-0.0	-2.8	3.5	-0.0	1.6	-0.0
Σy_1	0	0	0.2	-0.8	-0.0	0.0	-0.2	0.0	-0.0
Σx_2	-0	-0	-0.0	0.0	1.8	-2.2	0.0	-1.0	0.0
Σy_2	-0	-0	0.1	-0.7	-0.0	0.0	-0.2	0.0	-0.0

Ελεγχος σε θλίψη

$N_{rd} = 0.85 * A_c * f_{cd} = 0.85 * 0.20 * 20000 = 3442.5 \text{ KN}$, $N_{sd_min}(1) = -451.7 \text{ KN}$
 $\Rightarrow N_{sd}/N_{rd} = 0.131$
 $N_s = -465.4 \quad v_{ds} = 0.115 < 1.00$
 $x-x: \quad N_s = -283.0 \quad N_{ex} = 0.1 \quad N_{ox} = -283.1 \quad v_{d_ex} = 0.070 < 0.65$
 $y-y: \quad N_s = -283.0 \quad N_{ey} = 0.0 \quad N_{oy} = -283.0 \quad v_{d_ey} = 0.070 < 0.65$

Ελεγχος σε λυγισμό

$\lambda_{max} = \max(25, 15/\sqrt{v_{ds}}) = 44.2$
 $\alpha \xi \omega \alpha \beta * l_{col} = 1.0 \quad I_c \quad A_c \quad i_\lambda$
 $x-x: 0.83 * 4.00 = 3.32 \quad 0.00342 \quad 0.203 \quad 0.130 \quad 25.6 \text{ OK}$
 $y-y: 0.66 * 3.70 = 2.44 \quad 0.00342 \quad 0.203 \quad 0.130 \quad 18.8 \text{ OK}$

Ελεγχος σε κάμψη

	$\Sigma \Phi$	Nd	Mdx	Mdy	Mrdx	Mrdy	Msd/Mrd
Pmin	-1:	-465.4	-0.0	-1.1	-0.1	-240.1	0.00
Pmax	12:	-242.4	-0.0	-1.8	-4.9	-209.9	0.01
Mx_min	-6:	-262.7	-1.1	0.4	-194.5	77.7	0.01
Mx_max	-8:	-262.8	1.1	-1.7	115.0	-174.2	0.01
My_min	-4:	-262.8	0.3	-4.7	11.7	-213.0	0.02
My_max	-2:	-262.7	-0.3	4.7	-11.7	212.9	0.02
	-3:	-262.7	0.2	4.7	10.1	212.1	0.02

Ελεγχος σε διάταξη

	Vmax	Vs	Ve	Nmax	Mrl	clV	k
x-x	2.0	0.5	1.6	-283.1	217.5	3.70	6.0
y-y	0.2	0.0	0.2	-283.0	217.5	4.00	0.9

Ελεγχος κοντού υποστυλώματος (as<= 2.50)

x-x: as = $M/(V*h) = 0.2/(0.1*0.45) = 7.30$ ($\Sigma \Phi=11$) OK
y-y: as = $M/(V*h) = 3.0/(1.5*0.45) = 4.59$ ($\Sigma \Phi=11$) OK

Y6 O6 45/45 H=4.00m 4x4Φ12 + 4Φ12 ΣΦ10/10

$N=-263 \quad Mx=0 \quad My=5 \quad Vx=0 \quad Vy=1 \quad (-3) \quad Mrdx=10 \quad Mrdy=212$
 $\rho=11.2\% \quad As_{tot}=22.6 \quad \text{Κύριος οπλ./γωνία: } 4\Phi 12 = 4.52 \text{ cm}^2 \geq As_{min}=4.52 \text{ cm}^2$
 $Ns=465 \quad vds=0.14 \quad No=283 \quad Nex=0 \quad Ney=0 \quad vdx=0.08 \quad vdy=0.08$
x-x: σκέλησηνδ.=3 Vrd1=153 Vrd2=880 Vw=364 Vrd3=502 Vsd=6
y-y: σκέλησηνδ.=3 Vrd1=153 Vrd2=880 Vw=364 Vrd3=502 Vsd=1
Ελεγχος 18.4.4: wd_απ=0.12 > wd_υπ=0.35 **
e_cu = 0.01750 $\mu_\phi = 39.34$

ΥΠΟΣΤΥΛΩΜΑ 7

TΦ	N1	N2	Mx1	Mx2	My1	My2	Vx	Vy	Στρέψη
G	-214	-234	-0.0	-0.0	-4.1	2.0	-0.0	1.5	0.0
Q	-102	-102	-0.0	-0.0	-1.9	0.9	-0.0	0.7	0.0
Σx_1	0	0	-0.0	0.0	-0.8	1.0	0.0	0.5	-0.0
Σy_1	-0	-0	0.1	-0.7	0.0	-0.0	-0.2	-0.0	0.0
Σx_2	0	0	-0.0	0.0	-0.4	0.4	0.0	0.2	0.0
Σy_2	0	0	0.2	-0.8	0.0	-0.0	-0.2	-0.0	0.0

Ελεγχος σε θλίψη

$N_{rd} = 0.85 * A_c * f_{cd} = 0.85 * 0.20 * 20000 = 3442.5 \text{ KN}$, $N_{sd_min}(1) = -455.3 \text{ KN}$
 $\Rightarrow N_{sd}/N_{rd} = 0.132$
 $N_s = -469.0 \quad v_{ds} = 0.116 < 1.00$
x-x: $N_s = -285.1 \quad N_{ex} = 0.0 \quad N_{ox} = -285.2 \quad v_{d_ex} = 0.070 < 0.65$
y-y: $N_s = -285.1 \quad N_{ey} = -0.0 \quad N_{oy} = -285.1 \quad v_{d_ey} = 0.070 < 0.65$

Ελεγχος σε λυγισμό

$\lambda_{max} = \max(25, 15/\sqrt{v_{ds}}) = 44.1$

$\alpha \xi \omega \alpha \zeta \beta * 1 \text{col} = 10$ I_c A_c i_λ
 $x-x \ 0.83*4.00 = 3.32 \quad 0.00342 \quad 0.202 \quad 0.130 \quad 25.6 \text{ OK}$
 $y-y \ 0.66*3.70 = 2.44 \quad 0.00342 \quad 0.202 \quad 0.130 \quad 18.8 \text{ OK}$

Ελεγχος σε κάμψη

	$\Sigma \Phi$	Nd	Mdx	Mdy	Mrdx	Mrdy	Msd	Mrd
Pmin -1:	-469.0	-0.0	4.1	-0.0	240.5	0.02		
Pmax 3:	-244.5	-0.0	-5.5	-1.7	-210.6	0.03		
Mxmin -15:	-264.8	-1.1	2.1	-95.7	187.6	0.01		
Mxmax -17:	-264.8	1.1	2.4	86.6	191.2	0.01		
Mymin 1:	-441.7	-0.0	-8.4	-0.0	-236.9	0.04		

Mymax	-1:	-469.0	-0.0	4.1	-0.0	240.5	0.02
-------	-----	--------	------	-----	------	-------	------

Ελεγχοςσεδιάτμηση

	Vmax	Vs	VeNmaxMrlclVk				
x-x	3.1	1.7	0.5	-285.2	217.8	3.70	3.3
y-y	0.2	0.0	0.2	-285.1	217.8	4.00	0.9

Ελεγχος κοντού υποστυλώματος (as<= 2.50)

x-x: as = M/(V*h) = 0.2/(0.1*0.45) = 7.32 (ΣΦ= 3) OK

y-y: as = M/(V*h) = 5.5/(2.2*0.45) = 5.57 (ΣΦ= 3) OK

Y7 O7 45/45 H=4.00m 4x4Φ12 + 4Φ12 ΣΦ10/10

N=-442 Mx=-0 My=-8 Vx=0 Vy=3 (1) Mrdx=-0 Mrdy=-237

ρ=11.2% As_tot=22.6 Κύριος οπλ./γωνία: 4Φ12 = 4.52cm² >= Asmin=4.52cm²

Ns=469 vds=0.14 No=285 Nex=0 Ney=-0 vdx=0.08 vdy=0.08

x-x: σκέλησυνδ.=3 Vrd1=153 Vrd2=880 Vw=364 Vrd3=502 Vsd=3

y-y: σκέλησυνδ.=3 Vrd1=153 Vrd2=880 Vw=364 Vrd3=502 Vsd=1

Ελεγχος 18.4.4: wd_απ=0.12 >wd_υπ=0.35 **

e_cu = 0.01750 μ_φ = 39.07

ΕΛΕΓΧΟΣ ΕΠΑΡΚΕΙΑΣ ΤΟΙΧΩΜΑΤΩΝ ΚΑΤΑ ΕΑΚ 2003

Στ	Vt	Von	r	Δtx	L/3	Δp	
2	x-x	564	576	.98	4.33	6.28	18.65
	y-y	551	576	.96	8.07		9.30

Έλεγχοι κατά ΕΑΚ 2000:

- 4.1.4.2_β [2]: $n_v > 0.60$
- " [3]: $\Delta t_x > L/3$ ή $\rho_m > r$ ή $\Delta p > r$

όπου ρ_m = ακτίνα δυστρεψίας

Δt_x = απόσταση 2 ακραίων τοιχείων

Δp = απόσταση πόλου στροφής από κέντρο μάζας

r = ακτίνα αδράνειας

ΕΛΕΓΧΟΙ X: ΕΑΚ 4.1.4.2_β [2]: ΕΠΙΤΥΧΗΣ
 " [3]: ΕΠΙΤΥΧΗΣ. !! ΔΕΝ ΑΠΑΙΤΕΙΤΑΙ ΙΚΑΝΟΤΙΚΟΣ ΕΛΕΓΧΟΣ ΚΟΜΒΩΝ.

ΕΛΕΓΧΟΙ Y: ΕΑΚ 4.1.4.2_β [2]: ΕΠΙΤΥΧΗΣ
 " [3]: ΕΠΙΤΥΧΗΣ. !! ΔΕΝ ΑΠΑΙΤΕΙΤΑΙ ΙΚΑΝΟΤΙΚΟΣ ΕΛΕΓΧΟΣ ΚΟΜΒΩΝ.

ΓΙΑ ΑΡΙΘΜΟ ΟΡΟΦΩΝ < 2 ΔΕΝ ΓΙΝΕΤΑΙ ΕΛΕΓΧΟΣ ΚΟΜΒΩΝ.

ΑΝΑΛΥΤΙΚΗ ΠΑΡΟΥΣΙΑΣΗ ΚΑΤΑΝΟΜΗΣ ΤΕΜΝΟΥΣΑΣ ΟΡΟΦΩΝ ΜΕΤΑΞΥ ΤΩΝ ΥΠΟΣΤΥΛΩΜΑΤΩΝ

Στ.	Υπ.	διαστ.	γων.	Tx	Vox	Vtx	Voy	Vty
2	1	1900/35	0.0	x-	282.15	282.15		12.15
	2	2	1900/35	0.0	x-	282.34	282.34	12.18
	2	3	35/965	0.0	-y	3.59		150.15
	2	4	35/965	0.0	-y	3.59		150.43
	2	5	35/965	0.0	-y	3.73		250.70
	2	6	45/45	0.0	--	0.33		0.23
	2	7	45/45	0.0	--	0.33		0.23
<hr/>								
				576.07	564.49	576.07	551.28	
				$n_{vx} =$	0.98	$n_{vy} =$	0.96	

ΕΛΕΓΧΟΣ ΘΗΤΑ ΚΑΤΑ ΕΑΚ 2000

Οροφος 2 dh=4.00m q=3.50 Δx=0.01mm Δy=0.02mm Vx=576 Vy=576 W=3360
Ελεγχος Θήτα ΕΠΙΤΥΧΗΣ: θx=0.000 < 0.10 θy=0.000 < 0.10

ΙΚΑΝΟΤΙΚΟΣ ΕΛΕΓΧΟΣ ΚΟΜΒΩΝ

Υπολογισμός των συντελεστών ικανοτικής μεγέθυνσης κόμβων $acd = \gamma_{rd} * \Sigma Mrd / \Sigma M_{eb}$
 $acd = 1$ σημαίνει ότι δεν απαιτείται ικανοτικός έλεγχος

Στάθμη = 2 ---- Ισόγειο ----

Υπ.	Δ1	Δ2	ΣM_{eb}	ΣMrd	Mr/M_{eb}	ΣMrd	Mr/M_{eb}	$acd+$
-----	----	----	-----------------	--------------	-------------	--------------	-------------	--------

acd-								
3 Xk:	0	1	0.47	153.68	329.99	105.26	226.02	
1.00	1.00							
3 Yk:	0	0	0.00	0.00	0.00	0.00	0.00	
1.00	1.00							
3 Xp:	0	0	0.00	0.00	-1.00	0.00	-1.00	
1.35	1.35							
3 Yp:	0	0	0.00	0.00	-1.00	0.00	-1.00	
1.35	1.35							

4 Xk:	4	0	0.27	80.79	153.68	579.27		
1.00	1.00							
4 Yk:	0	0	0.00	0.00	0.00	0.00		
1.00	1.00							
4 Xp:	0	0	0.00	0.00	-1.00	0.00	-1.00	
1.35	1.35							
4 Yp:	0	0	0.00	0.00	-1.00	0.00	-1.00	
1.35	1.35							

5 Xk:	2	3	0.99	318.16	320.00	318.17		
1.00	1.00							
5 Yk:	0	0	0.00	0.00	0.00	0.00		
1.00	1.00							
5 Xp:	0	0	0.00	0.00	-1.00	0.00	-1.00	
1.35	1.35							
5 Yp:	0	0	0.00	0.00	-1.00	0.00	-1.00	
1.35	1.35							

6 Xk:	1	2	2.63	338.21	128.77	338.11	128.74	
1.00	1.00							
6 Yk:	0	0	0.00	0.00	0.00	0.00		
1.00	1.00							
6 Xp:	0	0	0.00	0.00	-1.00	0.00	-1.00	
1.35	1.35							
6 Yp:	0	0	0.00	0.00	-1.00	0.00	-1.00	
1.35	1.35							

7 Xk:	3	4	0.76	313.98	413.15	314.05	413.23	
1.00	1.00							
7 Yk:	0	0	0.00	0.00	0.00	0.00	0.00	
1.00	1.00							
7 Xp:	0	0	0.00	0.00	-1.00	0.00	-1.00	
1.35	1.35							
7 Yp:	0	0	0.00	0.00	-1.00	0.00	-1.00	
1.35	1.35							

ΘΕΩΡΗΘΗΚΕ

Θεσσαλονίκη 16-7-2019
Ο ΔΙΕΥΘΥΝΤΗΣ ΤΗΣ
ΤΕΧΝΙΚΗΣ ΥΠΗΡΕΣΙΑΣ

Αστέριος Στεφάνου
Αρχιτέκτων - Αναστηλωτής
Με Α' β.



ΝΙΚΟΣ ΓΡΗΓ. ΕΞΑΡΧΟΣ
ΔΙΠΛ. ΠΟΛΙΤΙΚΟΣ ΜΗΧΑΝΙΚΟΣ Α.Π.Θ.
ΑΡΙΘ. ΜΗΤΡΩΟΥ Τ.Ε.Ε. 77822
ΑΥΓΕΝΤΙΟΥ 15, ΠΟΛΙΧΝΗ Τ.Κ. 565 33 ΘΕΣ/ΝΙΚΗ
ΤΗΛ. 2310.652.614 - KIN. 6977.093.047
Α.Φ.Μ. 073923874 - Δ.Ο.Υ. Ε' ΘΕΣ/ΝΙΚΗΣ

ΠΙΝΑΚΑΣ ΠΕΡΙΕΧΟΜΕΝΩΝ ΣΤΑΤΙΚΗΣ ΜΕΛΕΤΗΣ

<u>ΤΕΧΝΙΚΗ ΕΚΘΕΣΗ</u>	3
<u>ΜΗΤΡΩΟ ΚΟΜΒΩΝ</u>	9
<u>ΜΗΤΡΩΟ ΜΕΛΩΝ</u>	10
<u>ΜΗΤΡΩΟ ΦΟΡΤΙΩΝ</u>	12
<u>ΜΗΤΡΩΟ ΜΕΤΑΤΟΠΙΣΕΩΝ</u>	17
<u>ΜΗΤΡΩΟ ΑΝΤΙΔΡΑΣΕΩΝ</u>	22
<u>ΜΗΤΡΩΟ ΕΝΤΑΤΙΚΩΝ ΜΕΓΕΘΩΝ ΜΕΛΩΝ</u>	27
<u>ΑΝΤΙΣΕΙΣΜΙΚΑ ΣΤΟΙΧΕΙΑ ΣΤΑΘΜΩΝ</u>	45
<u>ΔΥΝΑΜΙΚΗ ΑΝΑΛΥΣΗ</u>	46
<u>ΔΙΑΓΡΑΜΜΑΤΑ ΔΟΚΩΝ</u>	46
Στάθμη 1	46
Στάθμη 2	48
<u>ΔΙΑΓΡΑΜΜΑΤΑ ΥΠΟΣΤΥΛΩΜΑΤΩΝ</u>	49
<u>ΔΙΑΣΤΑΣΙΟΛΟΓΗΣΗ ΠΛΑΚΩΝ</u>	51
Στάθμη 1	51
Στάθμη 2	52
<u>ΔΙΑΣΤΑΣΙΟΛΟΓΗΣΗ ΔΟΚΩΝ</u>	58
Στάθμη 1	58
Στάθμη 2	60
<u>ΔΙΑΣΤΑΣΙΟΛΟΓΗΣΗ ΥΠΟΣΤΥΛ/ΤΩΝ</u>	64
Στάθμη 2	65
<u>ΕΛΕΓΧΟΣ ΕΠΑΡΚΕΙΑΣ ΤΟΙΧΩΜΑΤΩΝ</u>	63
<u>ΕΛΕΓΧΟΣ Θητα</u>	76
<u>ΕΛΕΓΧΟΙ ΚΟΜΒΩΝ</u>	77
<u>ΠΕΡΙΒΑΛΟΥΣΕΣ ΤΟΙΧΩΜΑΤΩΝ</u>	78

